



Fig. 23. La poza Tía Tecla se encuentra en el Valle de Cuatro Ciénegas, en las coordenadas $26^{\circ} 46' 59''$ y $102^{\circ} 59' 23''$



Fig. 24. *Cyprinella xanthicara* UANL 15455 (1: 46.0) Poza Churince. Cuatro Ciénegas, Coahuila. Foto: Ma. de Lourdes Lozano-Vilano



Fig. 25. *Dionda* sp UANL 15292 (1: 37.6) Poza Juan Santos. Cuatro Ciénegas, Coahuila. Foto: Ma. de Lourdes Lozano-Vilano



Fig. 26. *Astyanax* cf *mexicanus* UANL 15401 (1: 70.6) Poza Churince, Cuatro Ciénegas. Coahuila. Foto: Ma. de Lourdes Lozano-Vilano

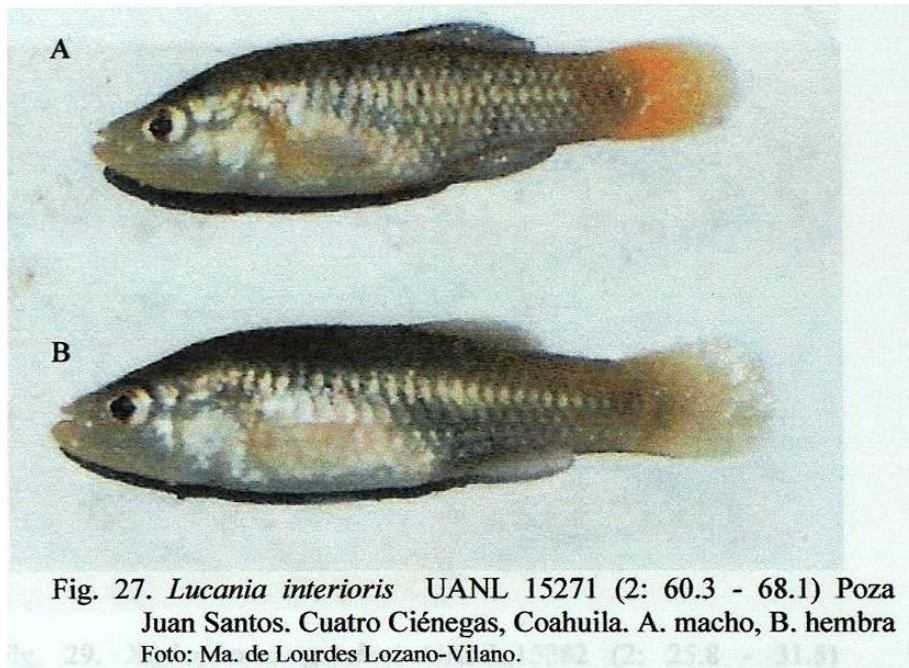




Fig. 29. *Xiphophorus gordonii* UANL.15282 (2: 25.8 - 31.5)
Poza Tía Tecla. Cuatro Ciénegas, Coahuila. A. macho, B.
hembra Foto: Ma. de Lourdes Lozano-Vilano.

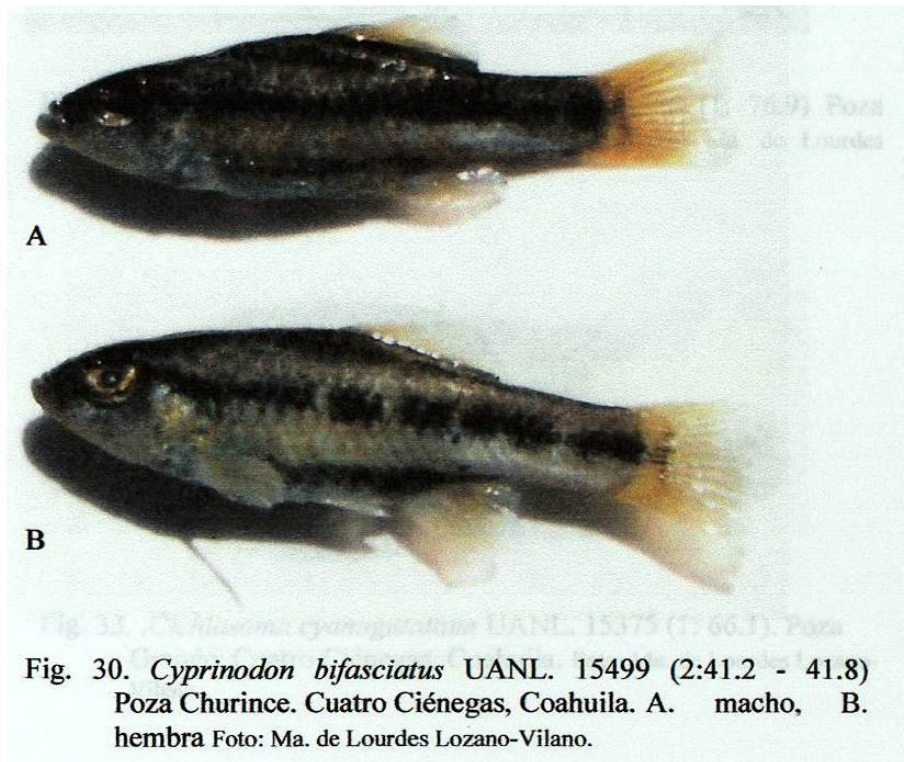


Fig. 30. *Cyprinodon bifasciatus* UANL. 15499 (2:41.2 - 41.8)
Poza Churince. Cuatro Ciénegas, Coahuila. A. macho, B.
hembra Foto: Ma. de Lourdes Lozano-Vilano.



Fig. 31. *Lepomis cf. megalotis* UANL 15364 (1: 73.4) Poza Grande. Cuatro Ciénegas, Coahuila. Foto: Ma. de Lourdes Lozano-

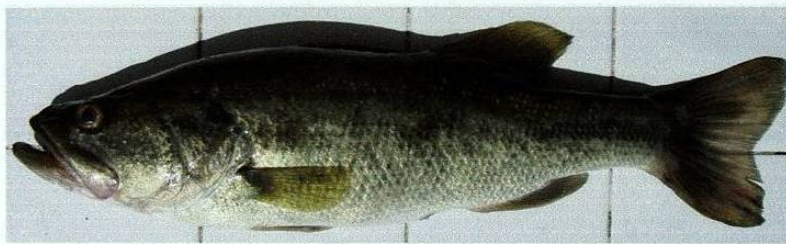


Fig. 32. *Micropterus cf. salmoides* UANL. 15466 (1: 76.9) Poza Churince. Cuatro Ciénegas, Coahuila. Foto: Ma. de Lourdes Lozano-Vilano.



Fig. 33. *Cichlasoma cyanoguttatum* UANL. 15375 (1: 66.1). Poza Grande. Cuatro Ciénegas, Coahuila. Foto: Ma. de Lourdes Lozano-Vilano



Fig. 34. *Cichlasoma minckleyi* UANL. 15605 (1: 60.4). Poza Churince. Cuatro Ciénegas, Coahuila. Foto: Ma. de Lourdes Lozano-Vilano



Fig. 35. *Hemichromis guttatus* UANL. 15354 (2: 57.0 - 67.0) Poza Churince. Cuatro Ciénegas, Coahuila. A. hembra, B. macho Foto: Ma. Elena García Ramírez.



Fig. 36. *Tilapia sp* UANL. 15412 (1: 80.5) Poza Tía Tecla. Cuatro Ciénegas. Coahuila. Foto: Ma. de Lourdes Lozano-Vilano.

Fig. 37. Representación gráfica entre las funciones canónicas discriminantes I y II de los parámetros fisicoquímicos obtenidos durante el año 2001 y 2002 de diez áreas selectas del Valle de Cuatro Ciénegas, Coahuila, México.

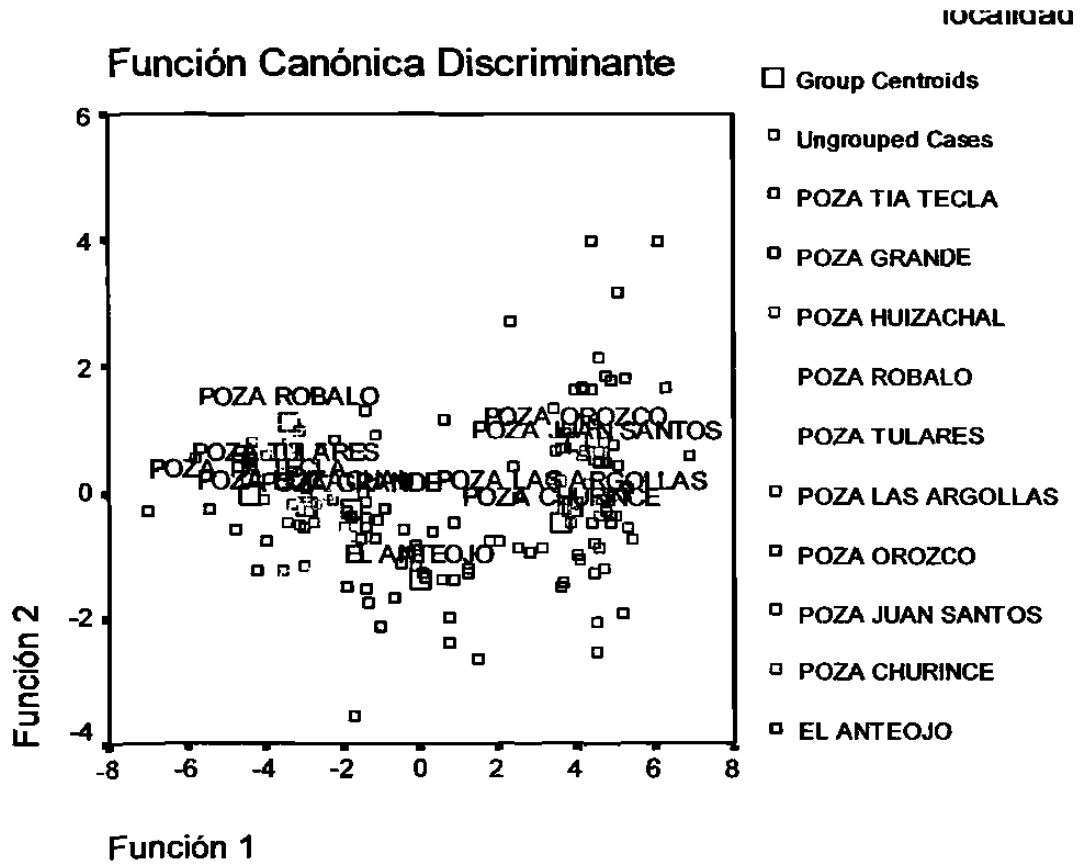
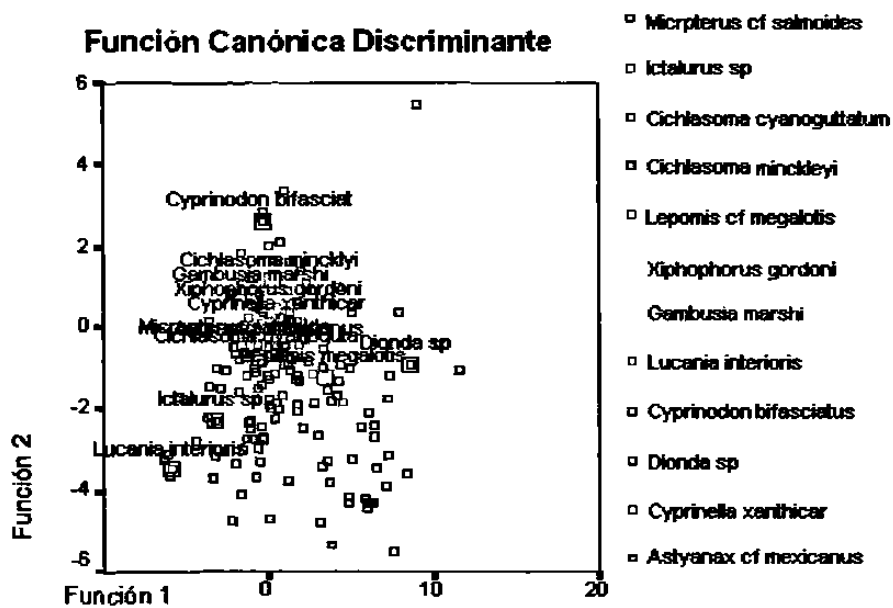


Fig. 38. Representación gráfica entre las funciones canónicas discriminante 1 y 2 de la distribución de los peces en diez áreas selectas en el Valle de Cuatro Ciénegas, Coahuila.



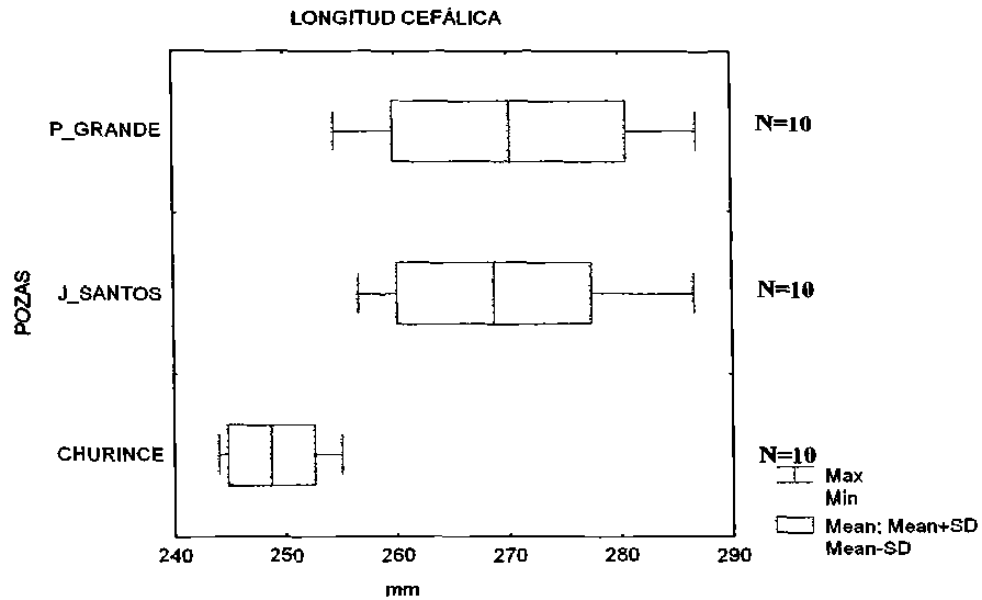


FIG. 39. Comparación de la longitud cefálica (LC) de la especie *Cyprinella xanthicara* en milésimas de la longitud patrón en tres pozas, la línea base indica el rango, la línea vertical la media y el área clara la desviación estándar.

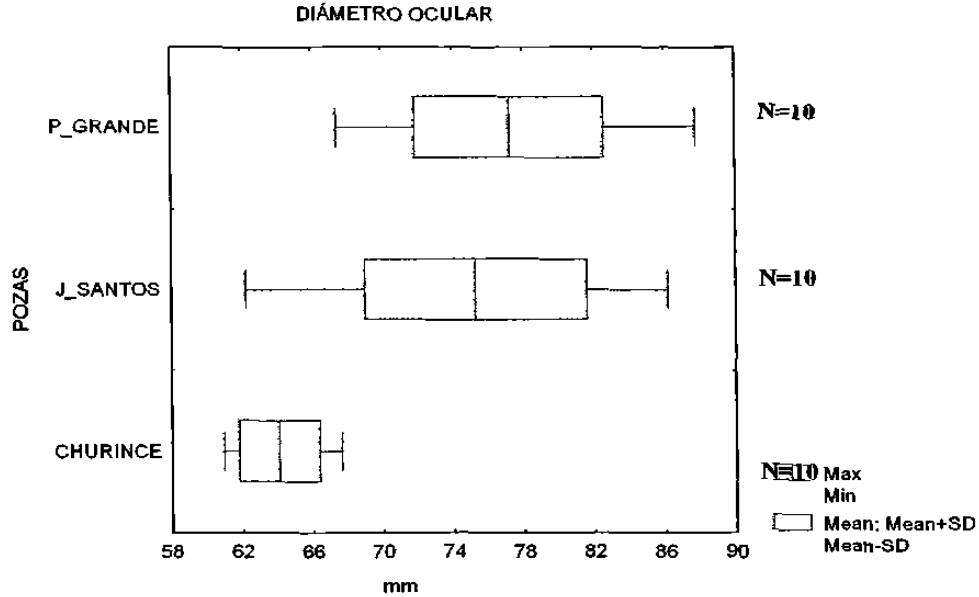


FIG. 40. Comparación del diámetro ocular (DO) de la especie *Cyprinella xanthicara* en milésimas de la longitud patrón en tres pozas, la línea base indica el rango, la línea vertical la media y el área clara la desviación estándar.

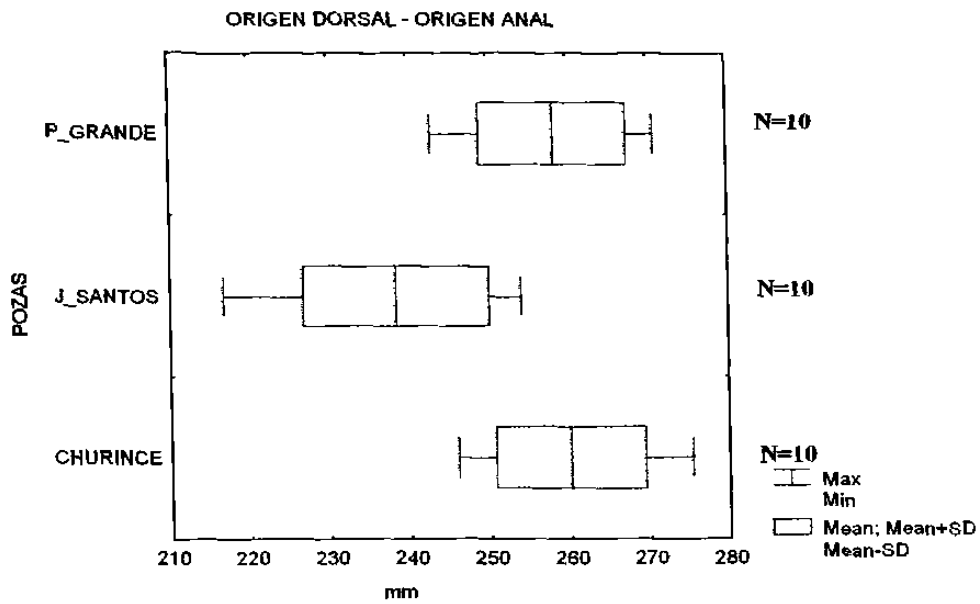


FIG. 41. Comparación del origen dorsal - origen anal (DA) de la especie *Cyprinella xanthicara* en milésimas de la longitud patrón en tres pozas, la línea base indica el rango, la línea vertical la media y el área clara la desviación estándar.

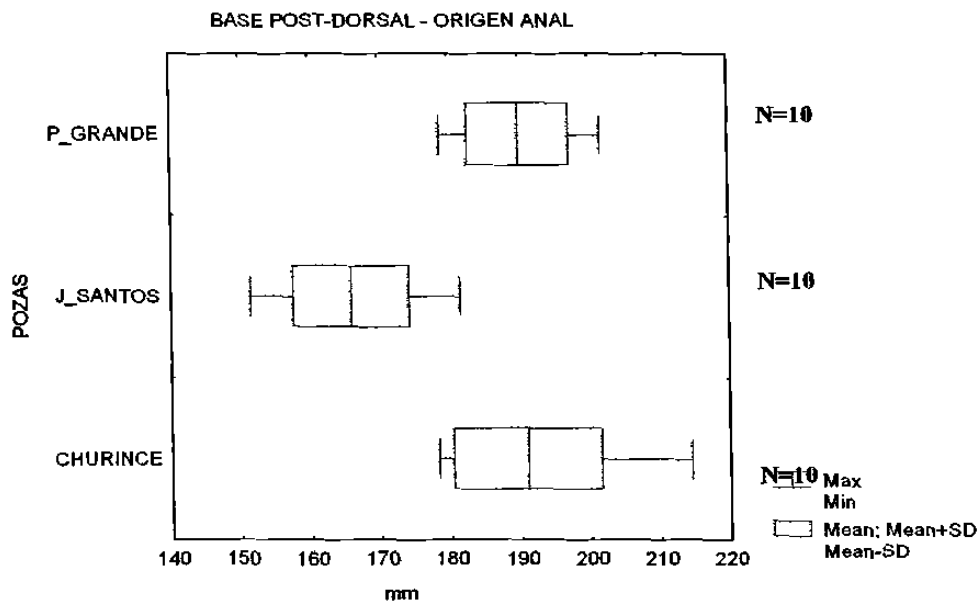


FIG. 42. Comparación de la base post-dorsal - origen anal (PDA) de la especie *Cyprinella xanthicara* en milésimas de la longitud patrón en tres pozas, la línea base indica el rango, la línea vertical la media y el área clara la desviación estándar.

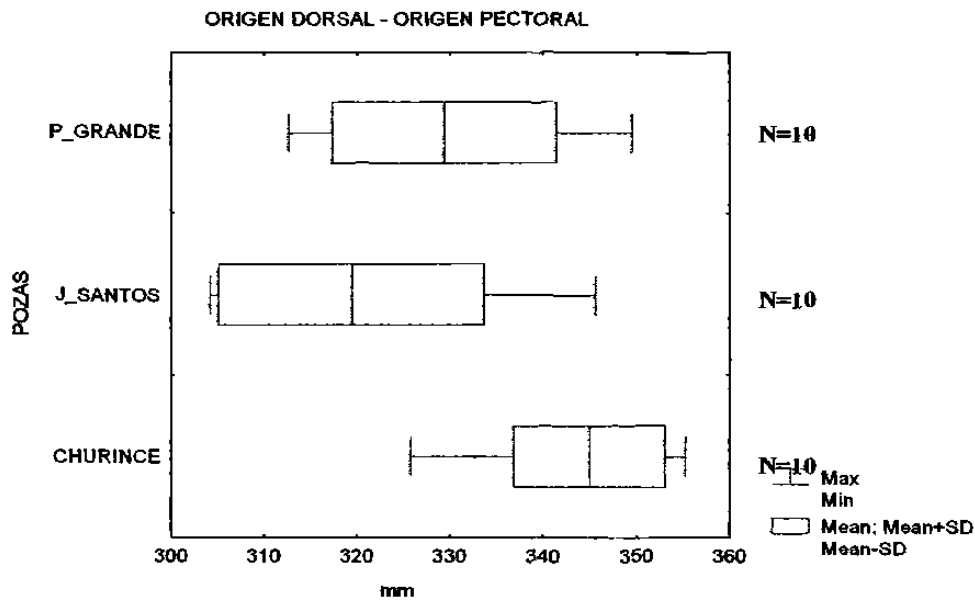


FIG. 43. Comparación del origen dorsal – origen pectoral (DOP) de la especie *Cyprinella xanthicara* en milésimas de la longitud patrón en tres pozas. la línea base indica el rango, la línea vertical la media y el área clara la desviación estándar.

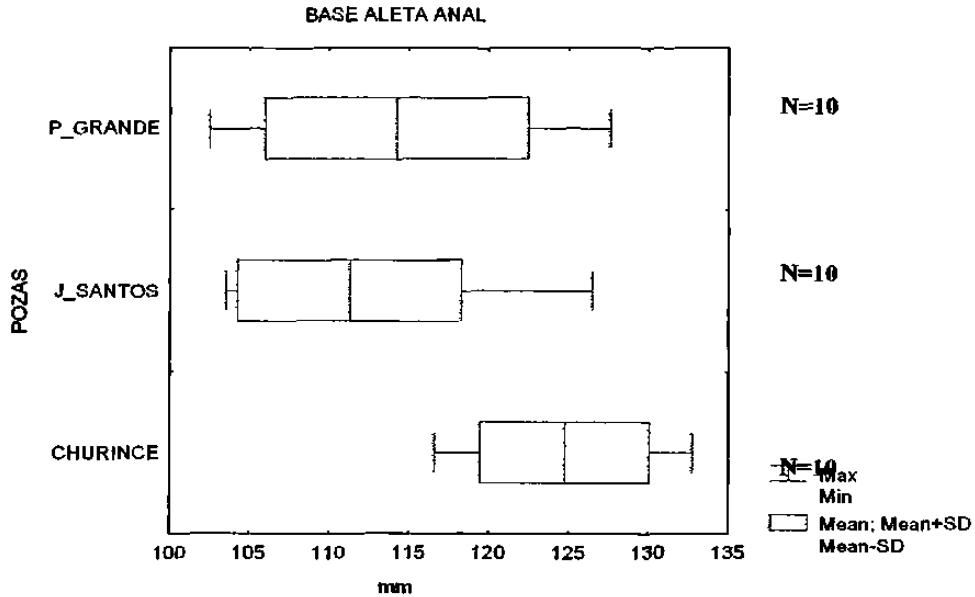


FIG. 44. Comparación de la base aleta anal (AA) de la especie *Cyprinella xanthicara* en milésimas de la longitud patrón en tres pozas. la línea base indica el rango, la línea vertical la media y el área clara la desviación estándar.

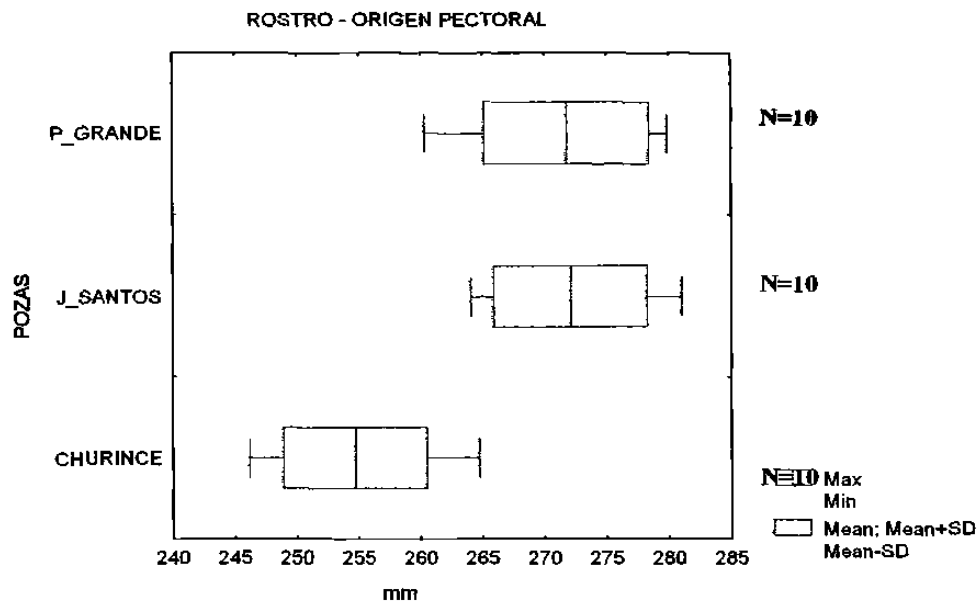


FIG. 45. Comparación del rostro – origen pectoral (BP1) de la especie *Cyprinella xanthicara* en milésimas de la longitud patrón en tres pozas. la línea base indica el rango. la línea vertical la media y el área clara la desviación estándar.

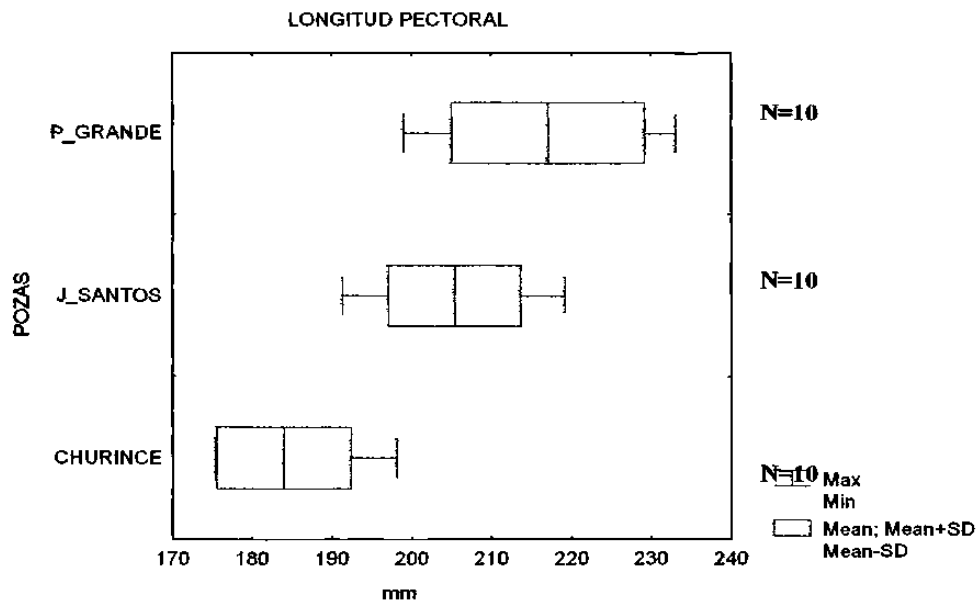


FIG. 46. Comparación de la longitud de la aleta pectoral (LP1) de la especie *Cyprinella xanthicara* en milésimas de la longitud patrón en tres pozas. la línea base indica el rango. la línea vertical la media y el área clara la desviación estándar.

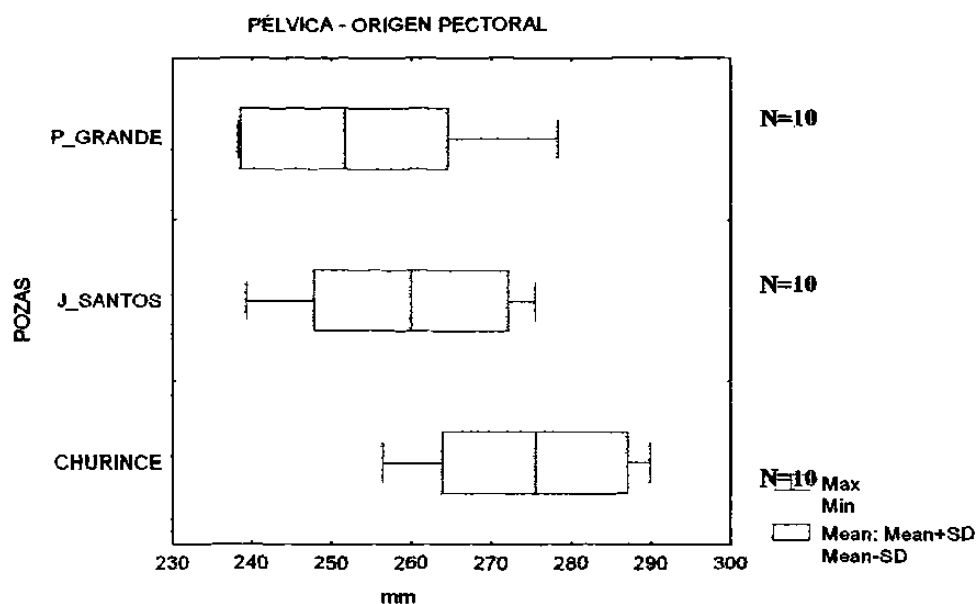


FIG. 47. Comparación del origen pélvica - origen pectoral (PIP2) de la especie *Cyprinella xanthicara* en milésimas de la longitud patrón en tres pozas. la línea base indica el rango, la línea vertical la media y el área clara la desviación estándar.

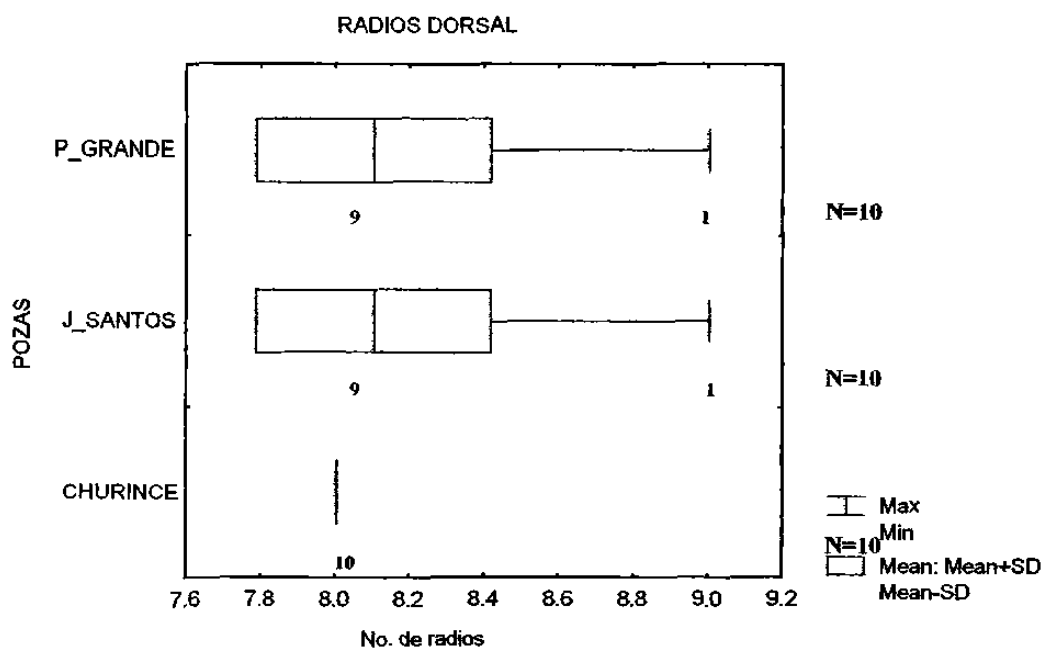


FIG. 48. Análisis gráfico del número de radios de la aleta dorsal de la especie *Cyprinella xanthicara* en tres pozas. la línea base indica el rango, la línea vertical la media y el área clara la desviación estándar. el número bajo el rango es la distribución de frecuencias.

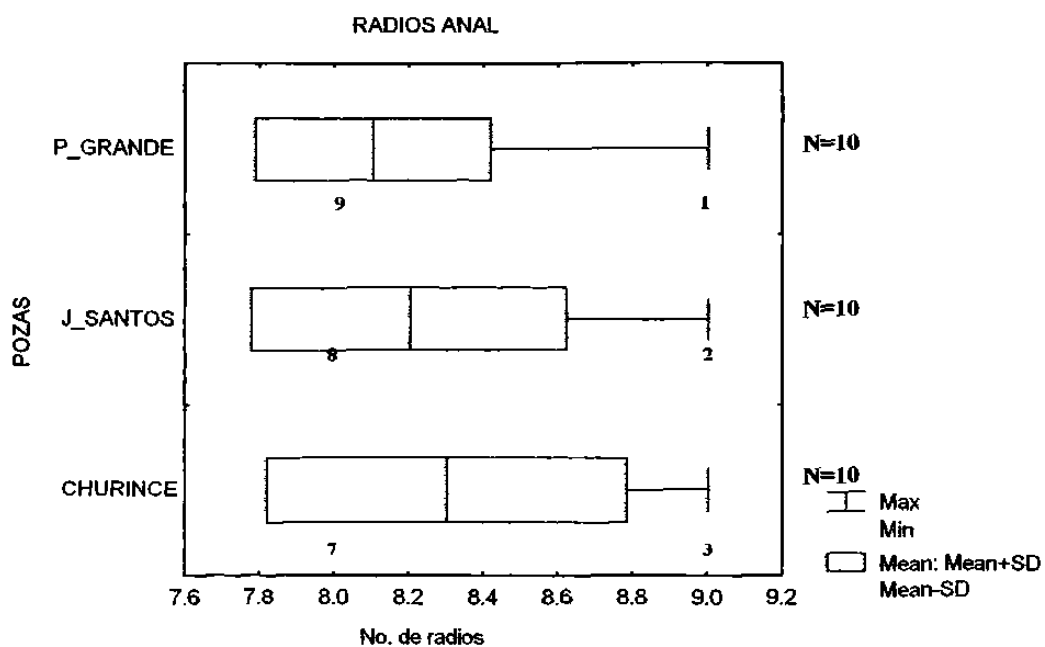


FIG. 49. Análisis gráfico del número de los radios anales de la especie *Cyprinella xanthicara* en tres pozas. la línea base indica el rango, la línea vertical la media y el área clara la desviación estándar. el número bajo el rango es la distribución de frecuencias.

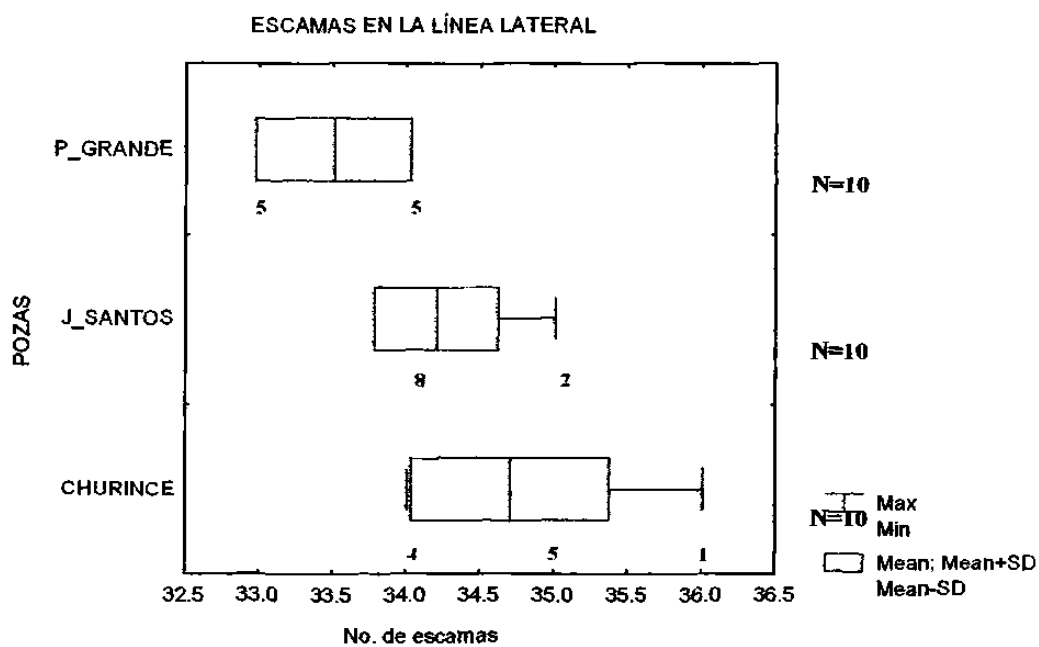


FIG. 50. Análisis gráfico del número de escamas en la línea lateral de la especie *Cyprinella xanthicara* en tres pozas. la línea base indica el rango, la línea vertical la media y el área clara la desviación estándar. el número bajo el rango es la distribución de frecuencias.

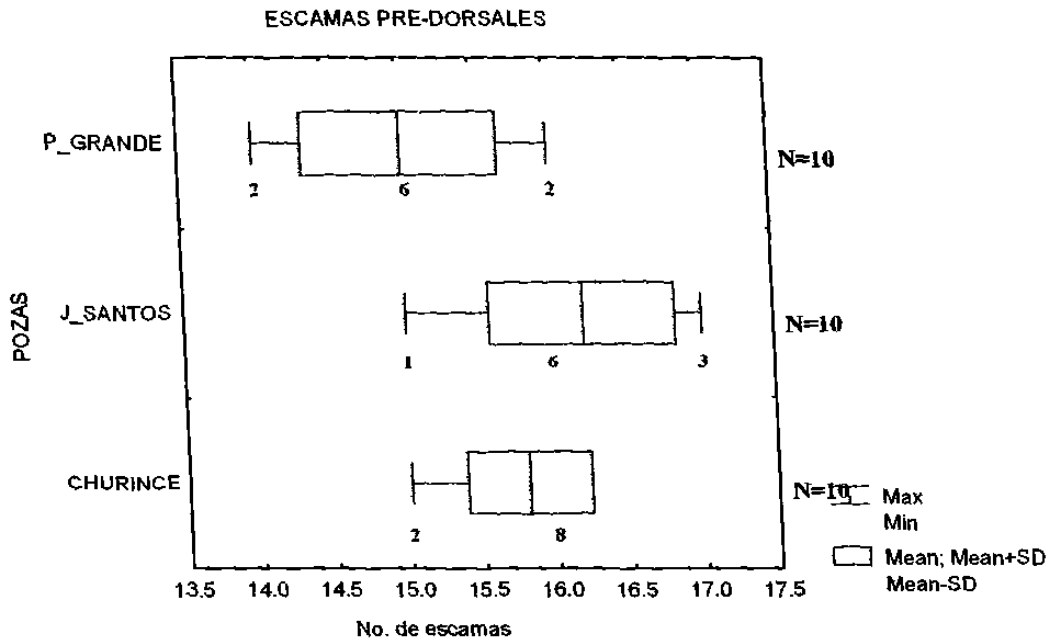


FIG. 51. Análisis gráfico del número de escamas pre-dorsales de la especie *Cyprinella xanthicara* en tres pozas, la línea base indica el rango, la línea vertical la media y el área clara la desviación estándar, el número bajo el rango es la distribución de frecuencias.

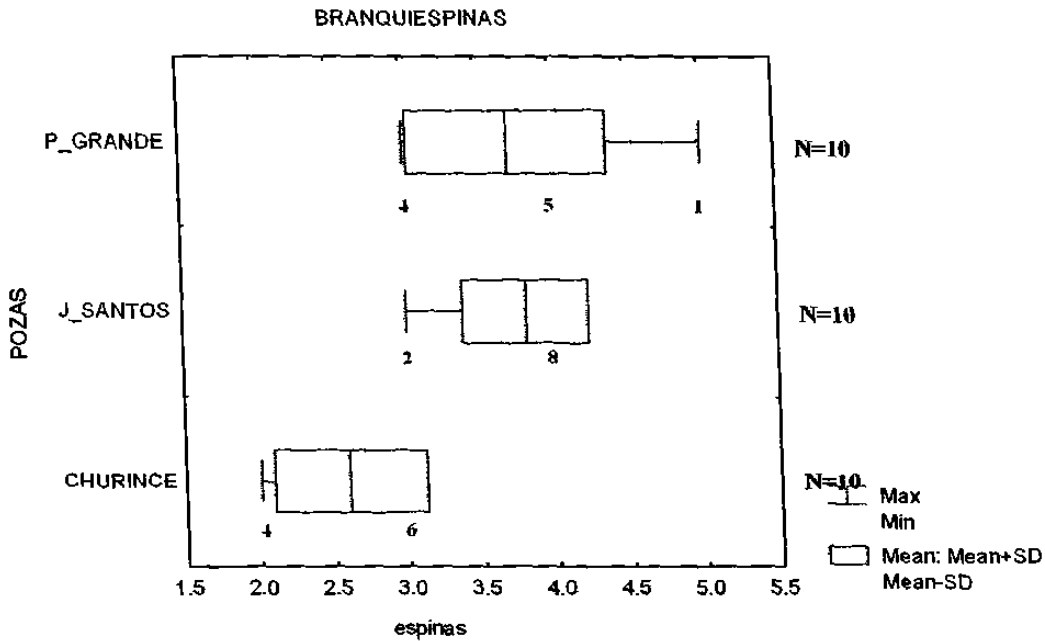


FIG. 52. Análisis gráfico del número de braquiespinas en el primer arco branquial de la especie *Cyprinella xanthica* en tres poza la línea base indica el rango, la línea vertical la media y el área clara la desviación estándar, el número bajo el rango es la distribución de frecuencias.

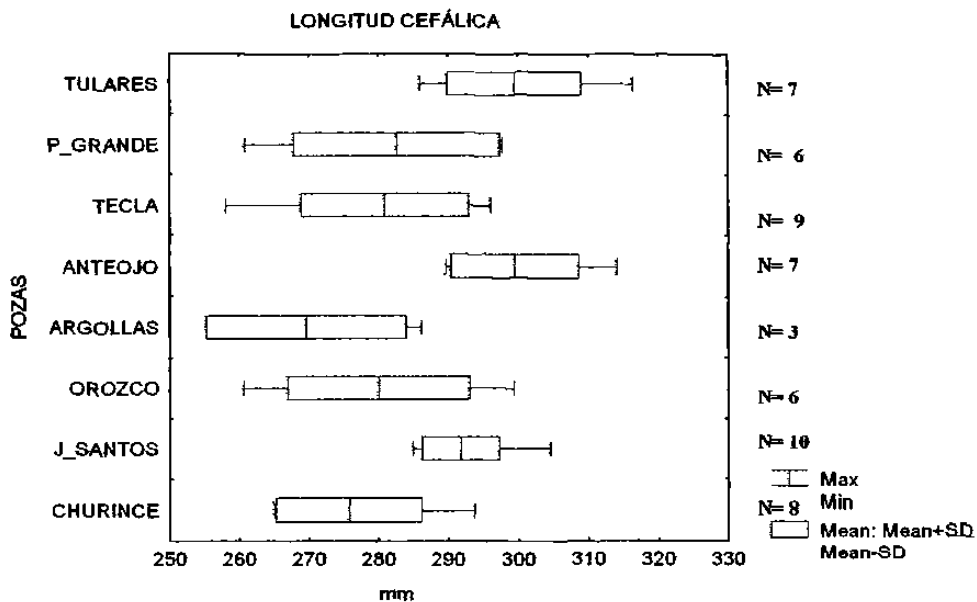


FIG. 53. Comparación de la longitud cefálica (LC) de los machos de la especie *Astyanax cf. mexicanus* en milésimas de la longitud patrón en ocho pozas. la línea base indica el rango. la línea vertical la media y el área clara la desviación estándar.

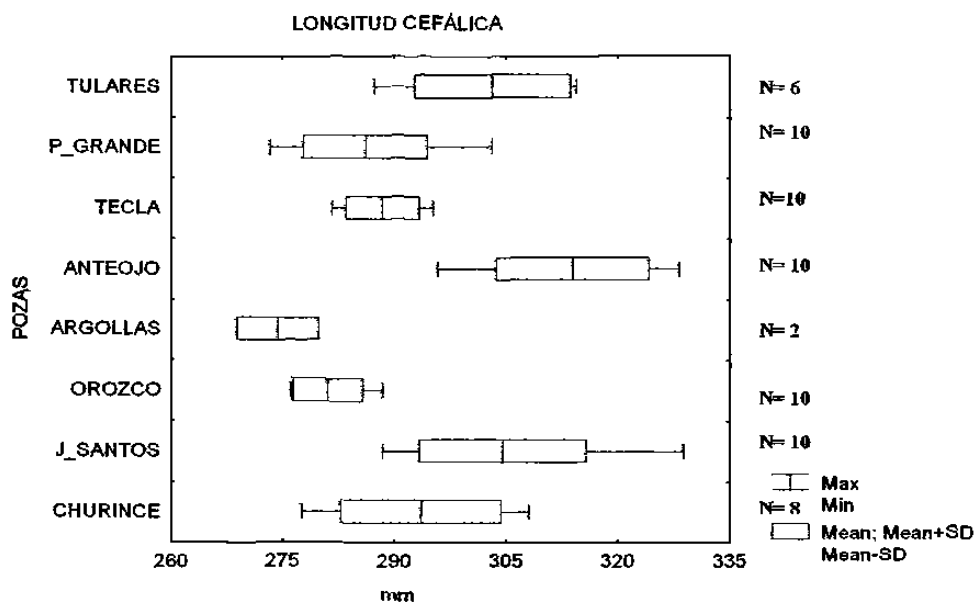


FIG. 54. Comparación de la longitud cefálica (LC) de las hembras de la especie *Astyanax cf. mexicanus* en milésimas de la longitud patrón en ocho pozas. la línea base indica el rango. la línea vertical la media y el área clara la desviación estándar.

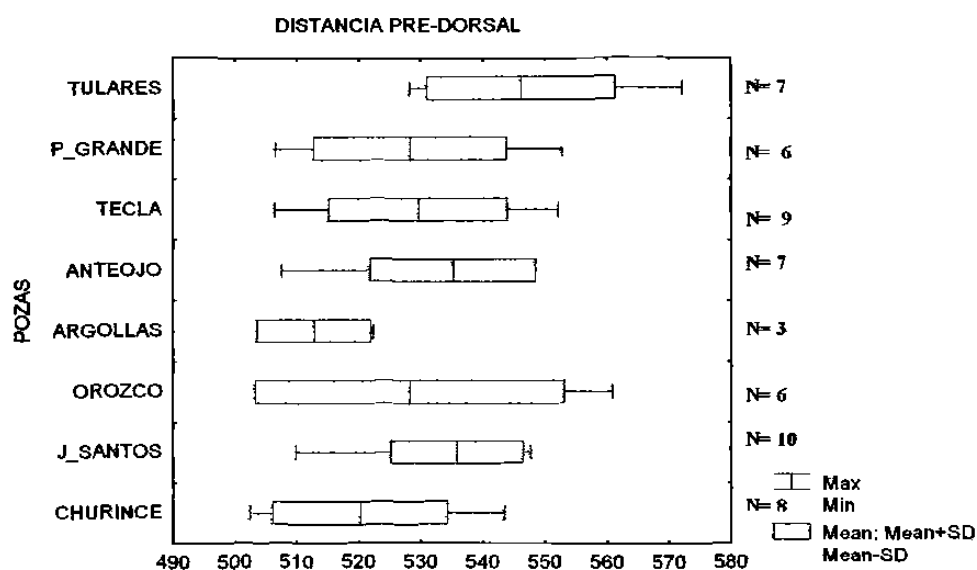


FIG. 55. Comparación de la distancia pre-dorsal (DPI) de los machos de la especie *Astyanax cf. mexicanus* en milésimas de la longitud patrón en ocho pozas. la línea base indica el rango, la línea vertical la media y el área clara la desviación estándar.

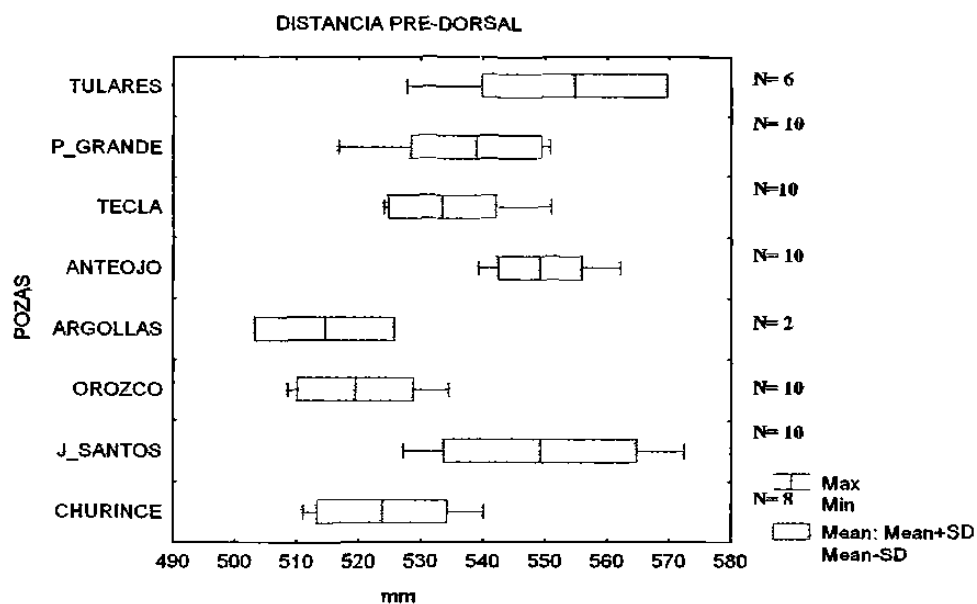


FIG. 56. Comparación de la distancia pre-dorsal (DPI) de las hembras de la especie *Astyanax cf. mexicanus* en milésimas de la longitud patrón en ocho pozas. la línea base indica el rango, la línea vertical la media y el área clara la desviación estándar.

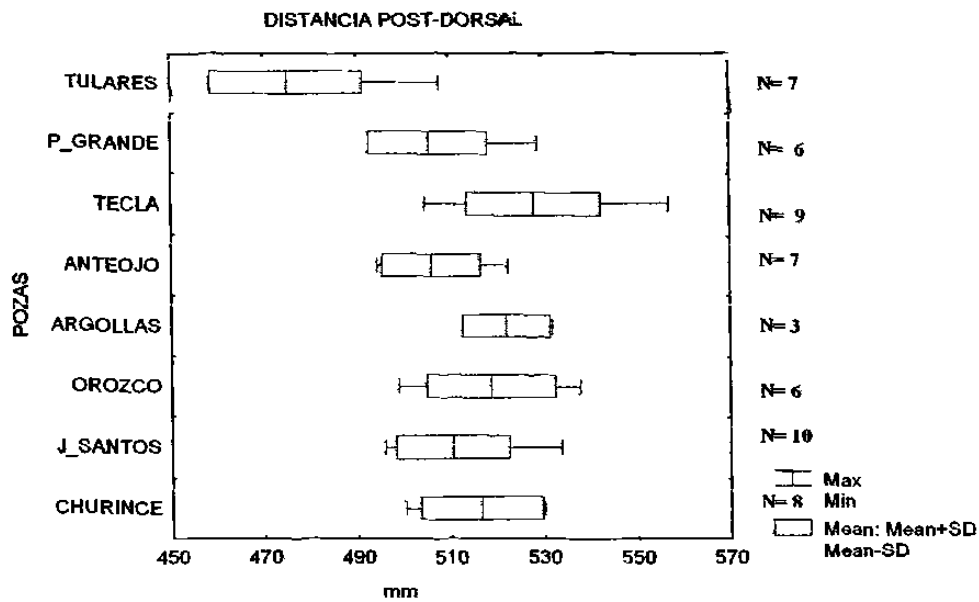


FIG. 57. Comparación de la distancia post-dorsal (DP2) de los machos de la especie *Astyanax cf. mexicanus* en milésimas de la longitud patrón en ocho pozas. la línea base indica el rango. la línea vertical la media y el área clara la desviación estándar.

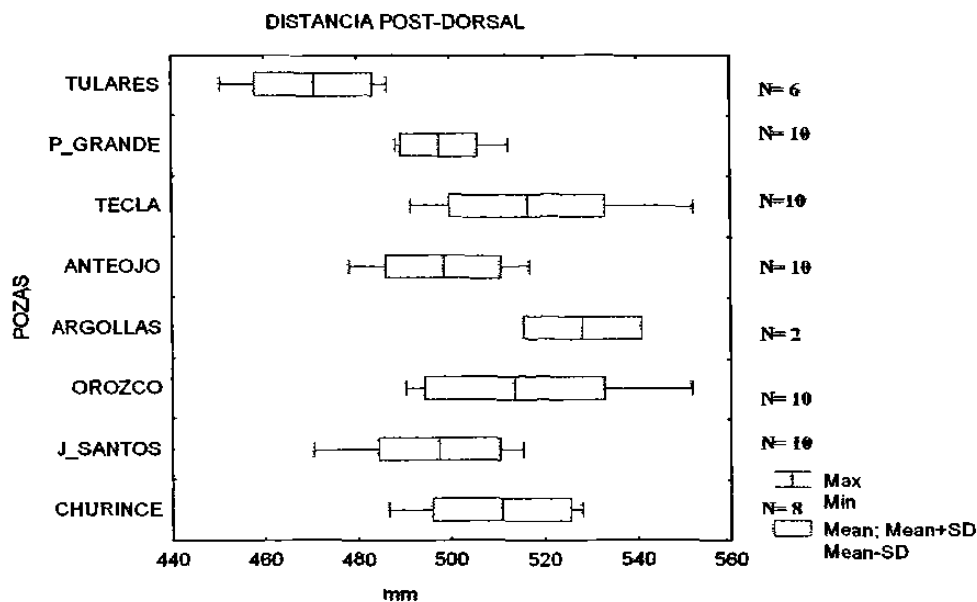


FIG. 58. Comparación de la distancia post-dorsal (DP2) de las hembras de la especie *Astyanax cf. mexicanus* en milésimas de la longitud patrón en ocho pozas. la línea base indica el rango. la línea vertical la media y el área clara la desviación estándar.

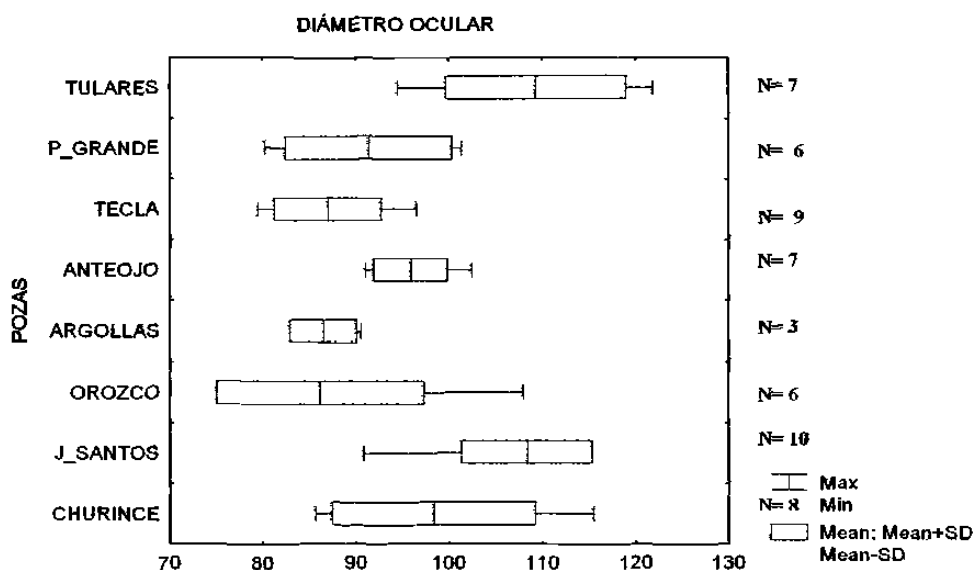


FIG. 59. Comparación del diámetro ocular (DO) de los machos de la especie *Astyanax cf. mexicanus* en milésimas de la longitud patrón en ocho pozas. la línea base indica el rango, la línea vertical la media y el área clara la desviación estándar.

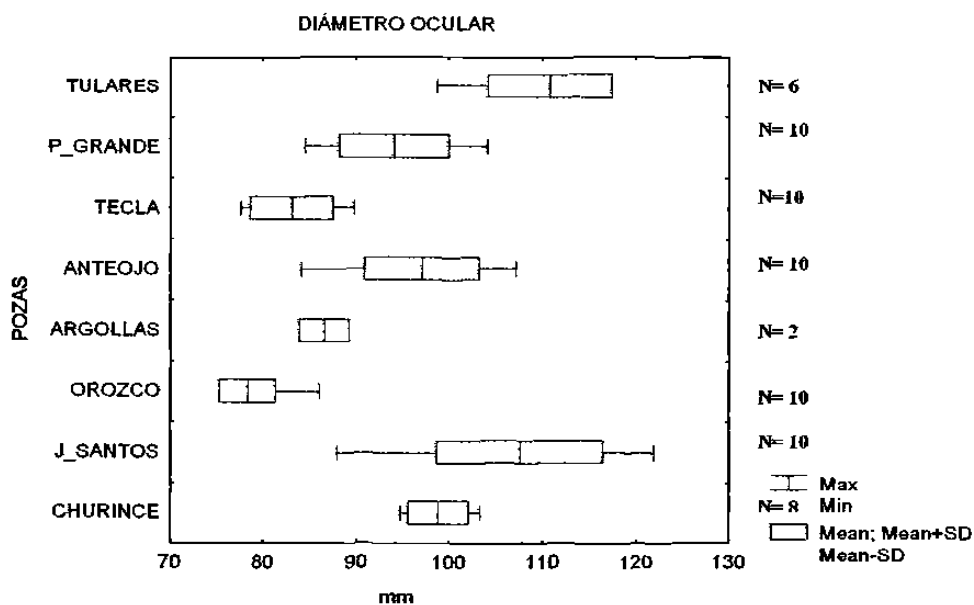


FIG. 60. Comparación del diámetro ocular (DO) de las hembras de la especie *Astyanax cf. mexicanus* en milésimas de la longitud patrón en ocho pozas, la línea base indica el rango, a línea vertical la media y el área clara la desviación estándar.

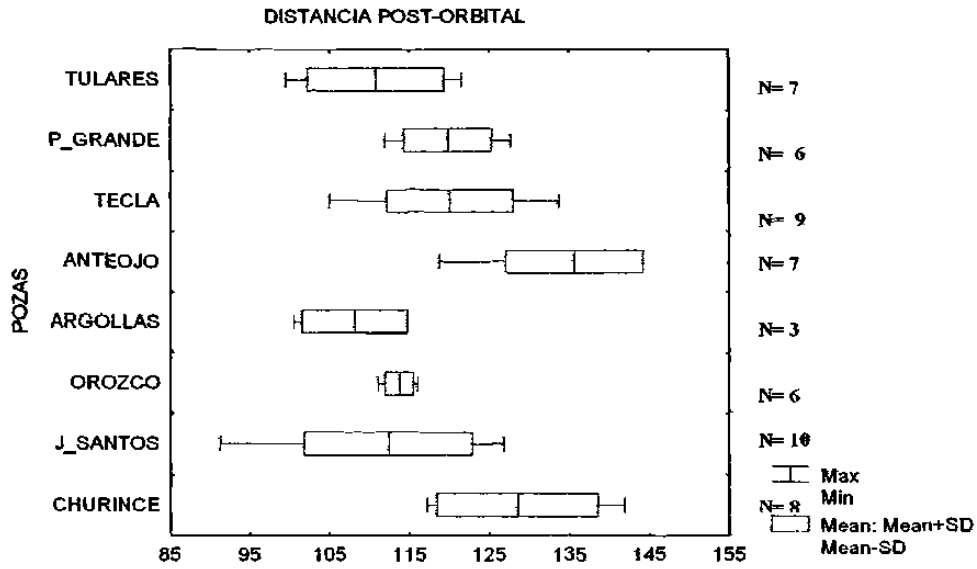


FIG. 61. Comparación de la distancia post-orbital (PO2) de los machos de la especie *Astyanax cf. mexicanus* en milésimas de la longitud patrón en ocho pozas. la línea base indica el rango la línea vertical la media y el área clara la desviación estándar.

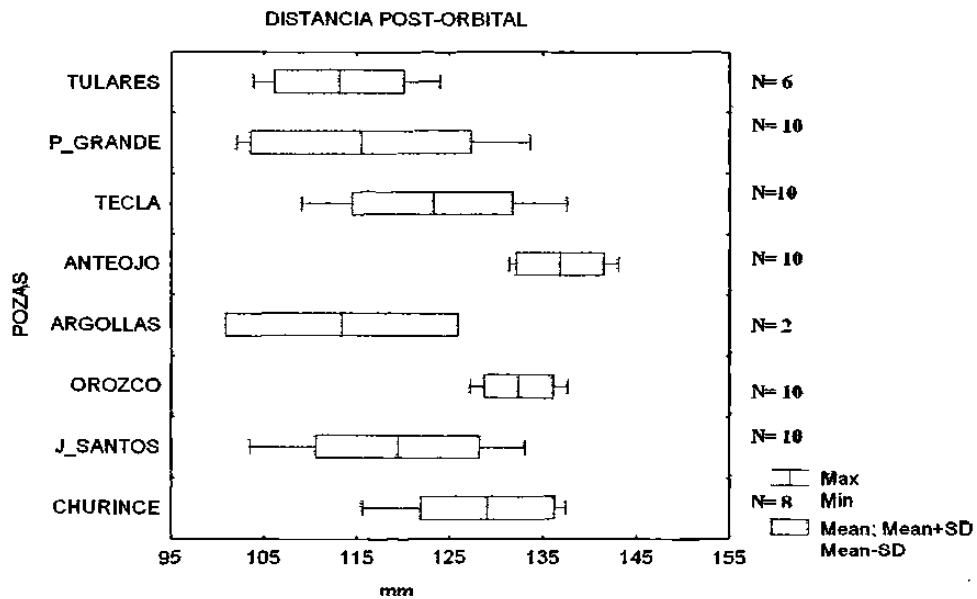


FIG. 62. Comparación de la distancia post-orbital (PO2) de las hembras de la especie *Astyanax cf. mexicanus* en milésimas de la longitud patrón en ocho pozas. la línea base indica el rango, la línea vertical la media y el área clara la desviación estándar.

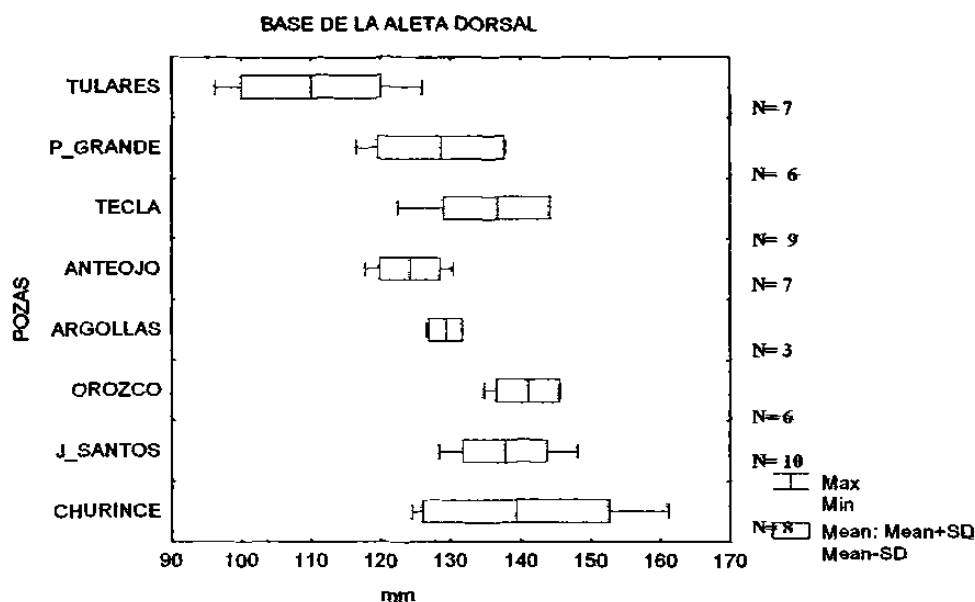


FIG. 63. Comparación de la base de la aleta dorsal (AD) de los machos de la especie *Astyanax cf. mexicanus* en milésimas de la longitud patrón en ocho pozas, la línea base indica el rango la línea vertical la media y el área clara la desviación estándar.

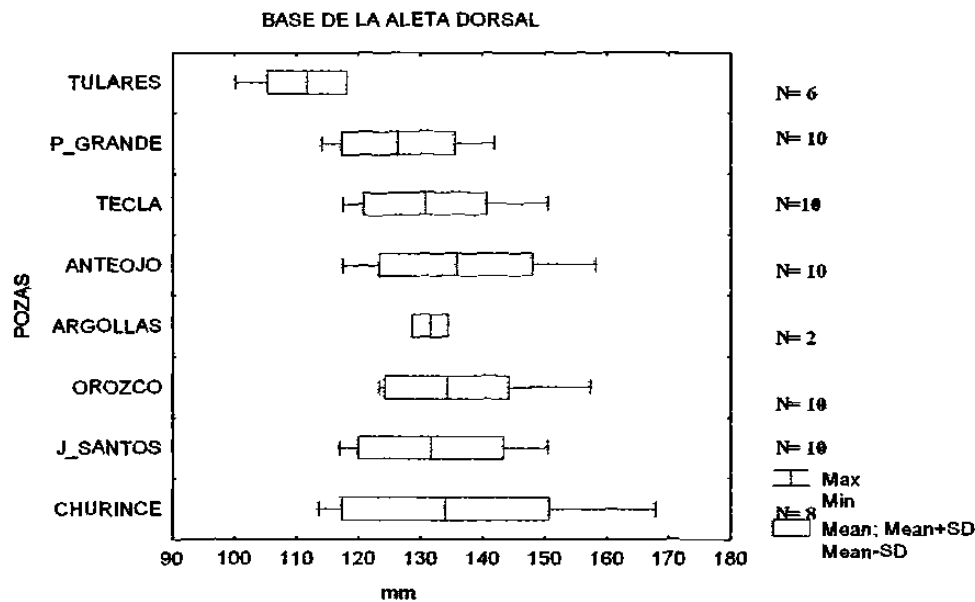


FIG. 64. Comparación de la base de la aleta dorsal (AD) de las hembras de la especie *Astyanax cf. mexicanus* en milésimas de la longitud patrón en ocho pozas, la línea base indica el rango, la línea vertical la media y el área clara la desviación estándar.

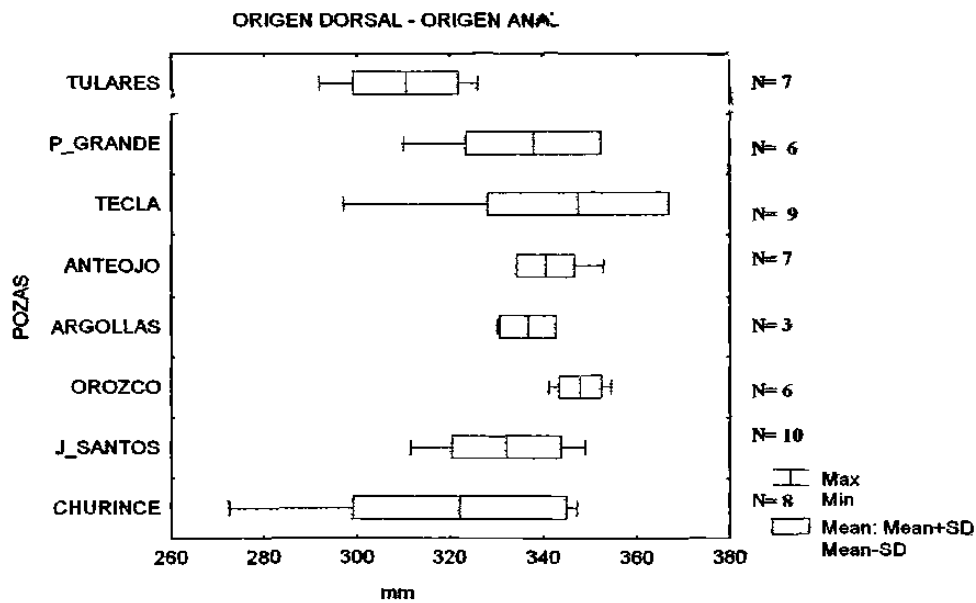


FIG. 65. Comparación del origen dorsal – origen anal (DA) de los machos de la especie *Astyanax cf. mexicanus* en milésimas de la longitud patrón en ocho pozas. la línea base indica el rango la línea vertical la media y el área clara la desviación estándar.

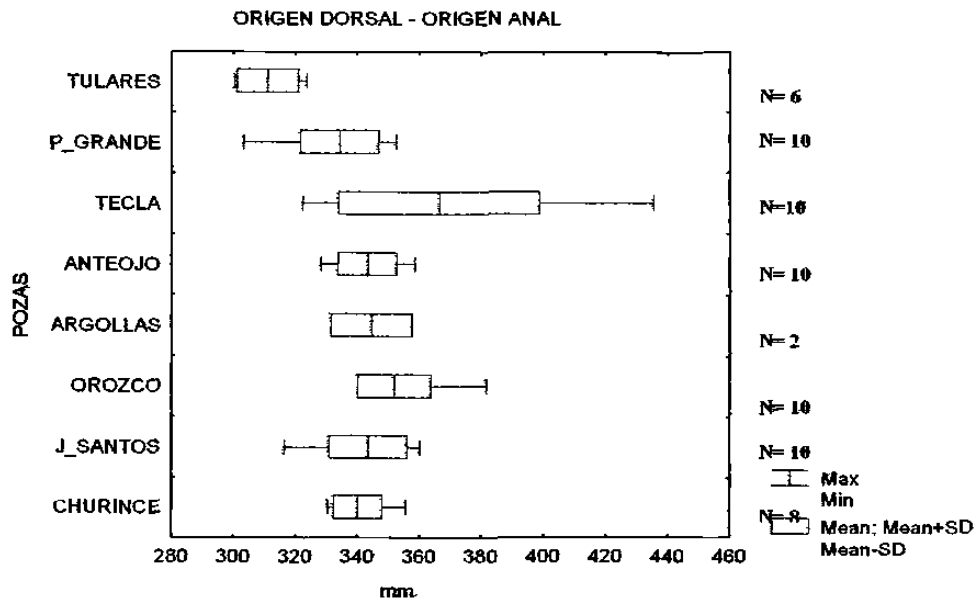


FIG. 66. Comparación de la distancia del origen de la aleta dorsal – origen anal (DA) de las hembras de la especie *Astyanax cf. mexicanus* en milésimas de la longitud patrón en ocho pozas. la línea base indica el rango. la línea vertical la media y el área clara la desviación estándar.

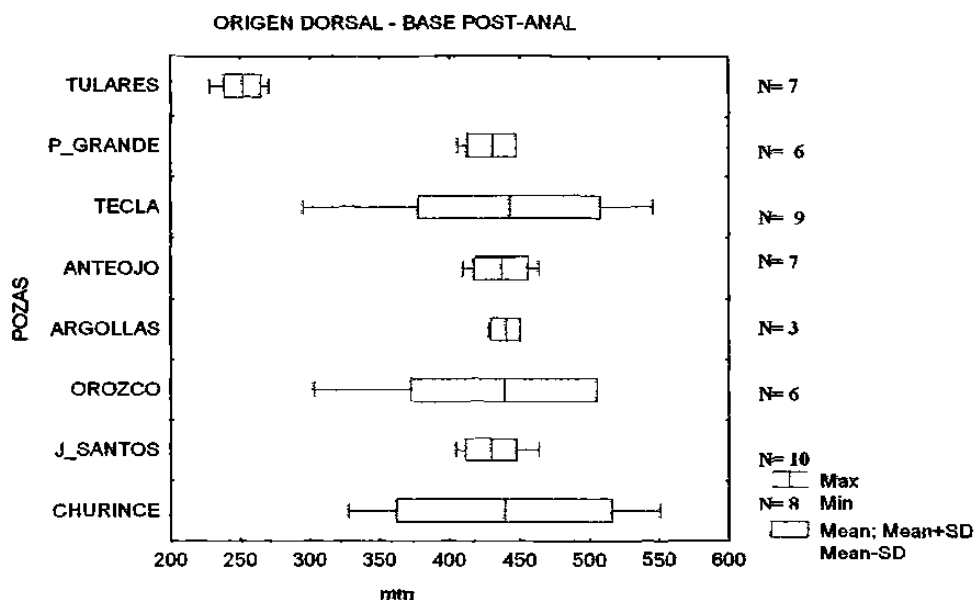


FIG. 67. Comparación de la distancia del origen de la aleta dorsal – base post-anal (DPA) de los machos de la especie *Astyanax cf. mexicanus* en milésimas de la longitud patrón en ocho pozas. la línea base indica el rango la línea vertical la media y el área clara la desviación estándar.

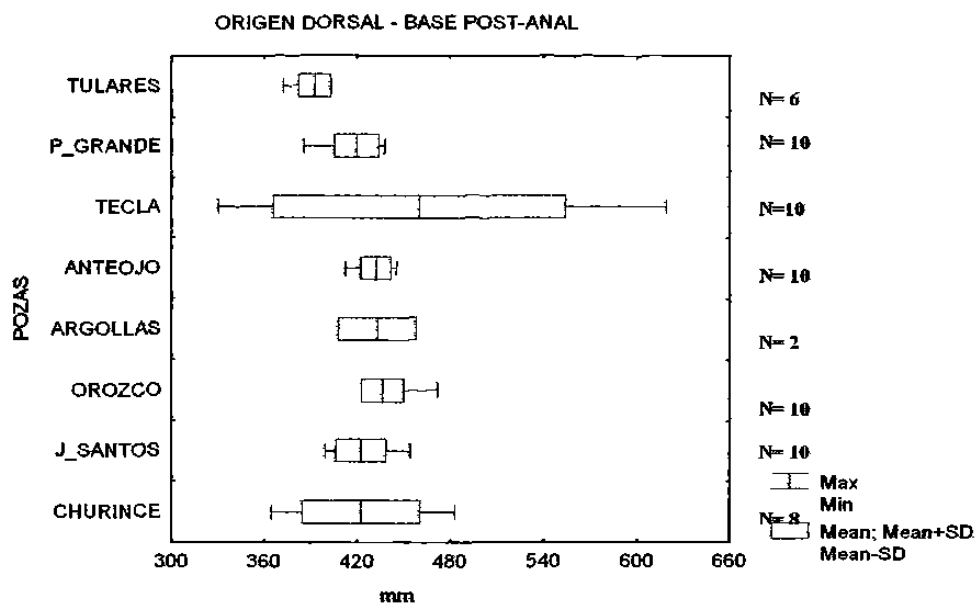


FIG. 68. Comparación del origen dorsal – base post-anal (DPA) de las hembras de la especie *Astyanax cf. mexicanus* en milésimas de la longitud patrón en ocho pozas. la línea base indica el rango la línea vertical la media y el área clara la desviación estándar.

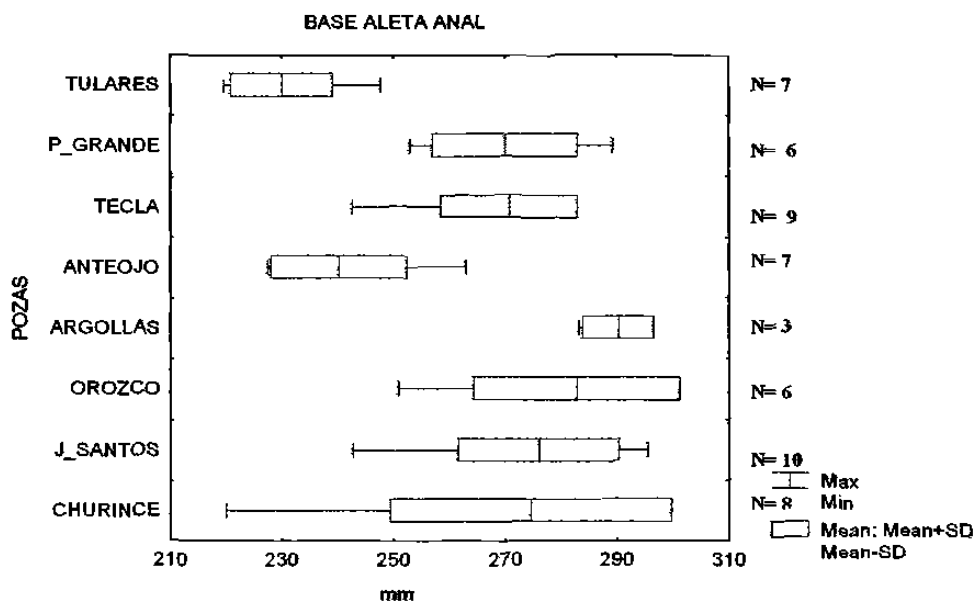


FIG. 69. Comparación de la base aleta anal (AA) de los machos de la especie *Astyanax cf. mexicanus* en milésimas de la longitud patrón en ocho pozas. la línea base indica el rango la línea vertical la media y el área clara la desviación estándar.

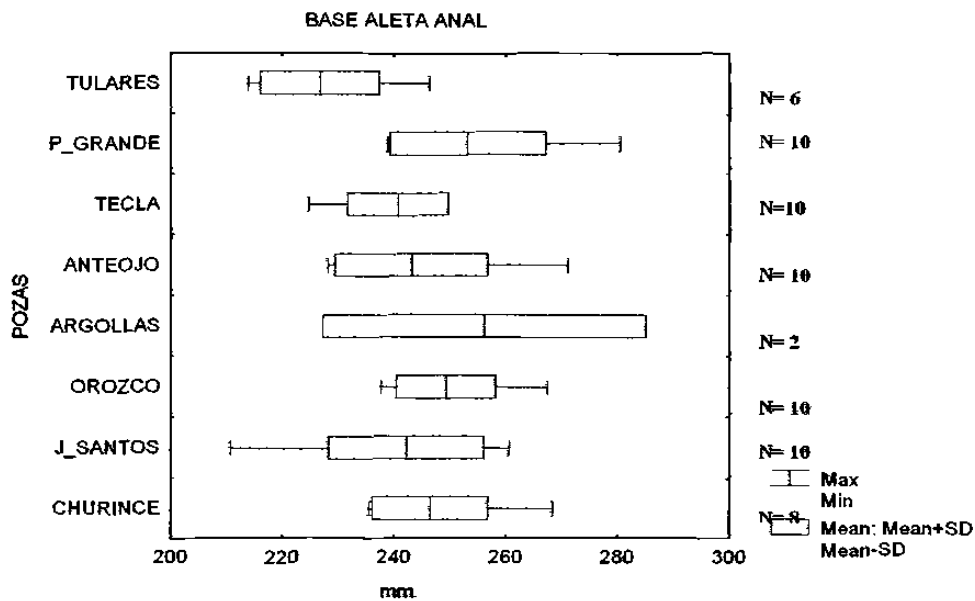


FIG. 70. Comparación de la base aleta anal (AA) de las hembras la especie *Astyanax cf. mexicanus* en milésimas de la longitud patrón en ocho pozas. la línea base indica el rango. la línea vertical la media y el área clara la desviación estándar.

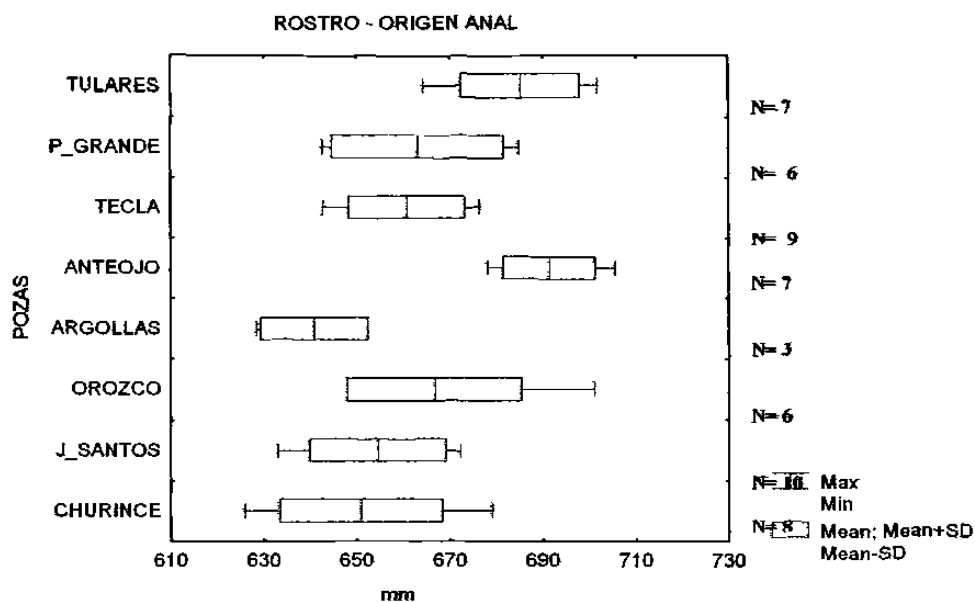


FIG. 71. Comparación de la distancia del rostro – origen anal (RA) de los machos de la especie *Astyanax cf. mexicanus* en milésimas de la longitud patrón en ocho pozas. la línea base indica el rango la línea vertical la media y el área clara la desviación estándar.

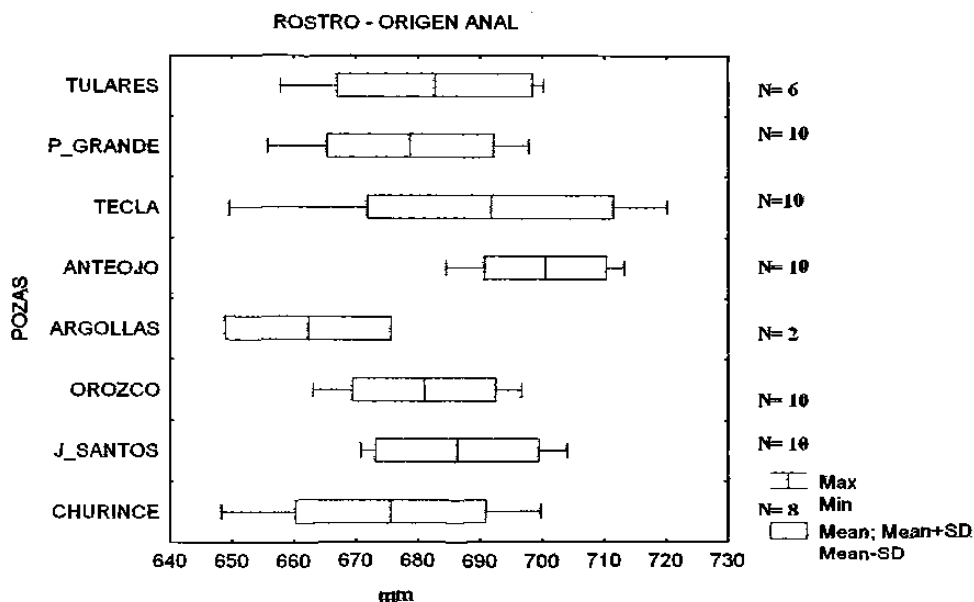


FIG. 72. Comparación de la distancia del rostro – origen anal (RA) de las hembras de la especie *Astyanax cf. mexicanus* en milésimas de la longitud patrón en ocho pozas. la línea base indica el rango. la línea vertical la media y el área clara la desviación estándar.

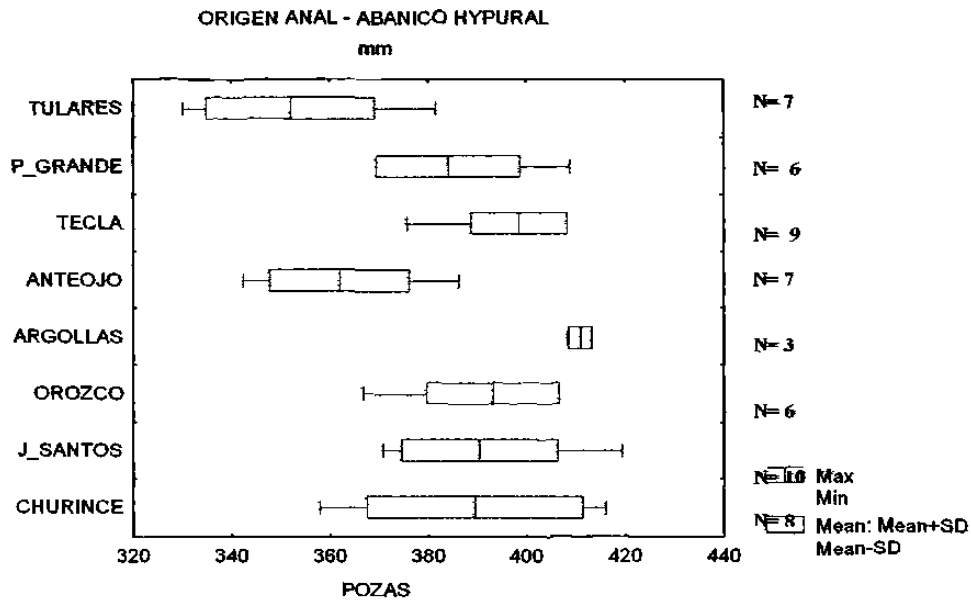


FIG. 73. Comparación de la distancia del origen anal – abanico hypural (AAH) de los machos de la especie *Astyanax cf. mexicanus* en milésimas de la longitud patrón en ocho pozas. la línea base indica el rango la línea vertical la media y el área clara la desviación estándar.

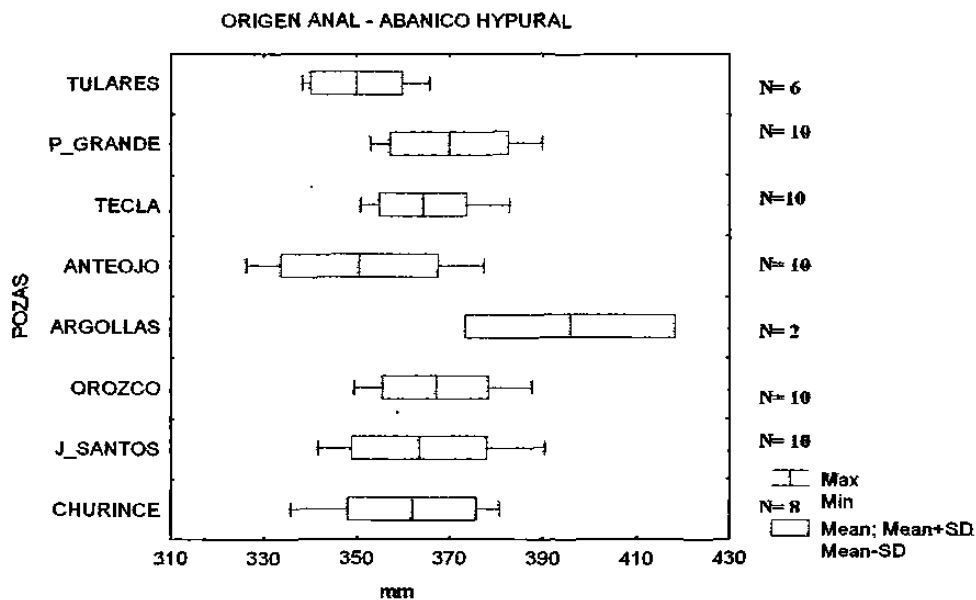


FIG. 74. Comparación de la distancia del origen anal – abanico hypural (AAH) de las hembras de la especie *Astyanax cf. mexicanus* en milésimas de la longitud patrón en ocho pozas. la línea base indica el rango. la línea vertical la media y el área clara la desviación estándar.

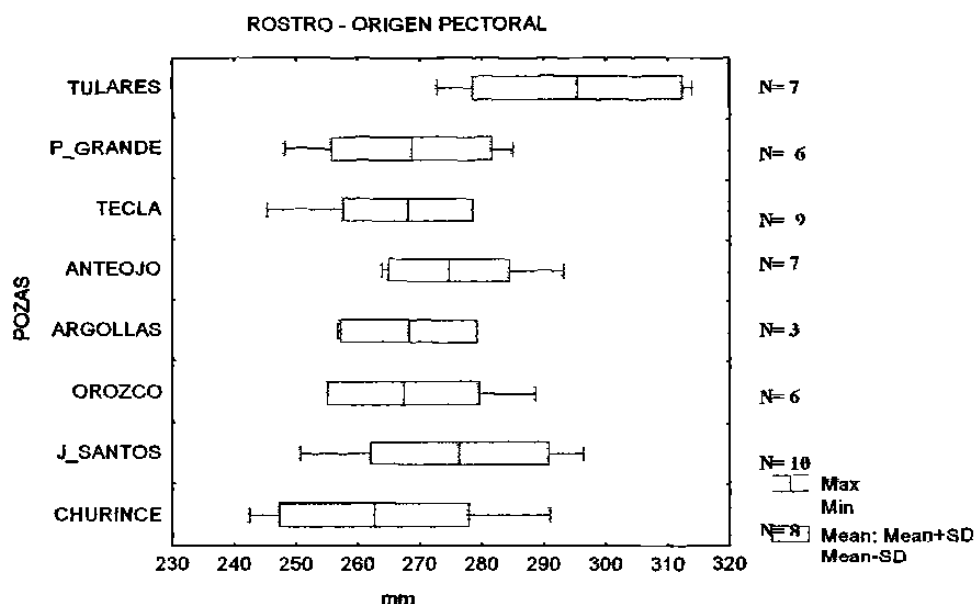


FIG. 75. Comparación de la distancia del rostro – origen pectoral (RPI) de los machos de la especie *Astyanax cf. mexicanus* en milésimas de la longitud patrón en ocho pozas, la línea base indica el rango la línea vertical la media y el área clara la desviación estándar.

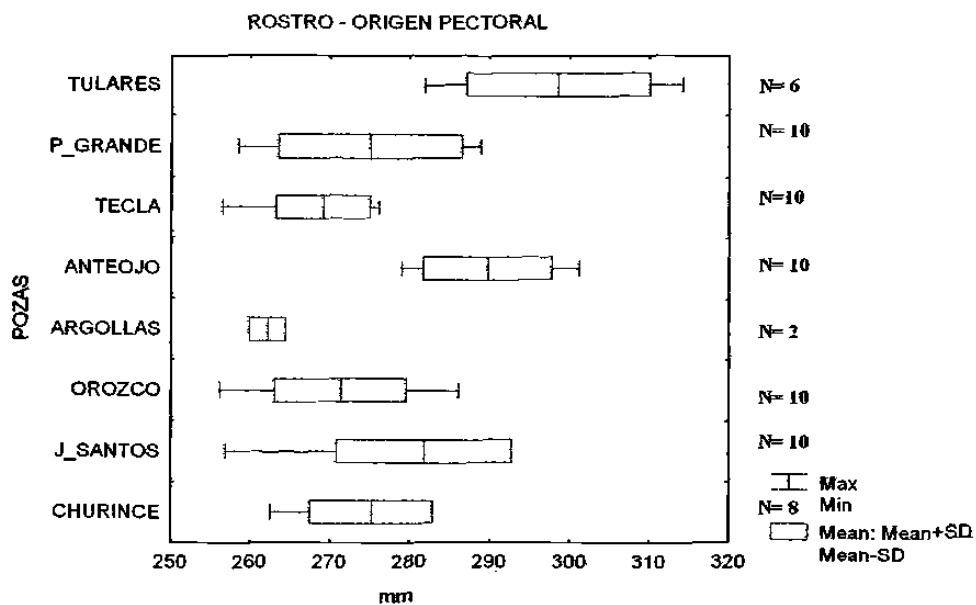


FIG. 76. Comparación de la distancia del rostro – origen pectoral (RPI) de las hembras de la especie *Astyanax cf. mexicanus* en milésimas de la longitud patrón en ocho pozas, la línea base indica el rango, la línea vertical la media y el área clara la desviación estándar.

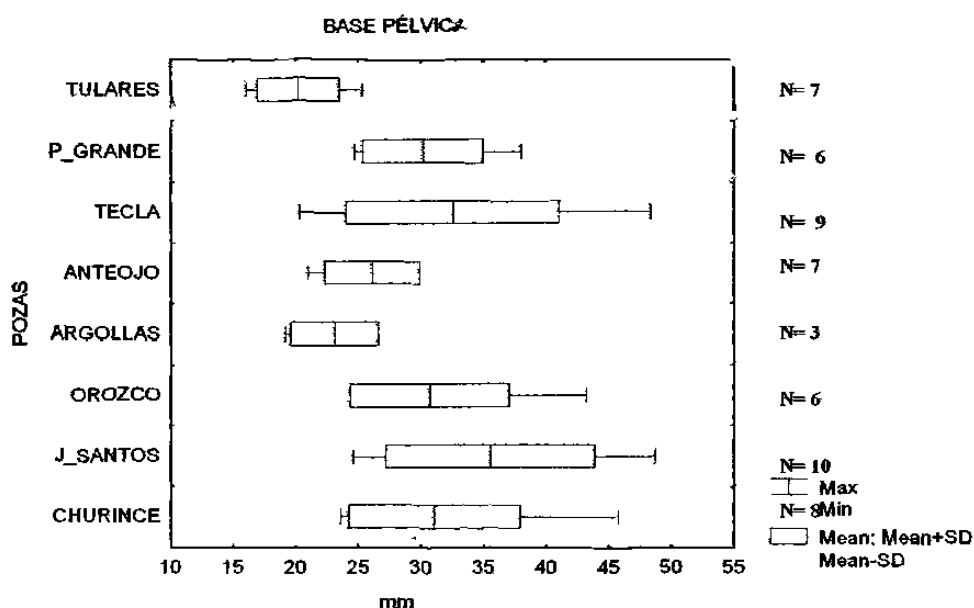


FIG. 77. Comparación de la base pélvica (BP2) de los machos de la especie *Astyanax cf. mexicanus* en milésimas de la longitud patrón en ocho pozas. la línea base indica el rango, la línea vertical la media y el área clara la desviación estándar.

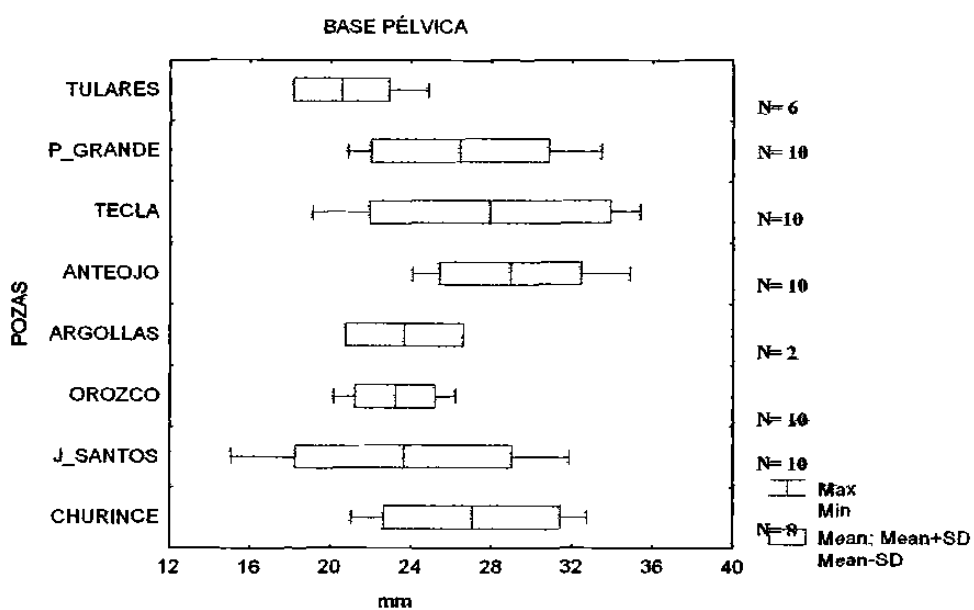


FIG. 78. Comparación de la base pélvica (BP2) de las hembras de la especie *Astyanax cf. mexicanus* en milésimas de la longitud patrón en ocho pozas. la línea base indica el rango, la línea vertical la media y el área clara la desviación estándar.

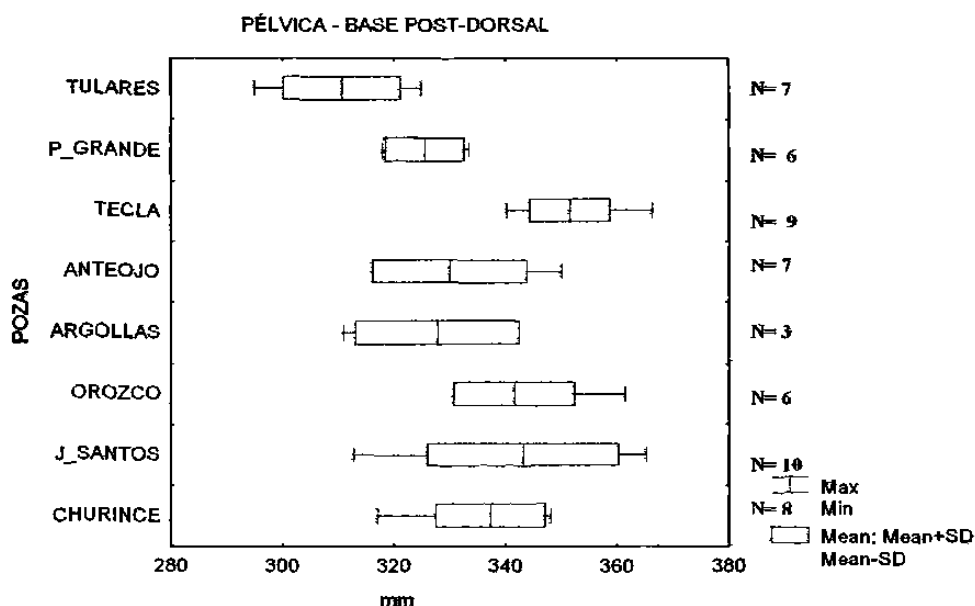


FIG. 79 Comparación del origen de la aleta pélvica – base post-dorsal (PPD) de los machos de la especie *Astyanax cf. mexicanus* en milésimas de la longitud patrón, en ocho pozas. la línea base indica el rango la línea vertical la media y el área clara la desviación estándar.

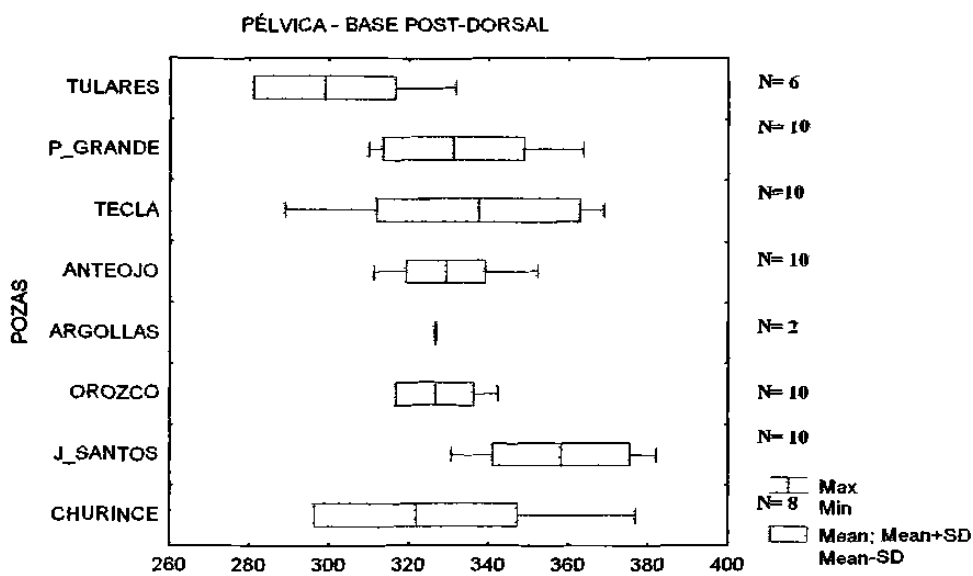


FIG. 80. Comparación del origen de la aleta pélvica – base post-dorsal (PPD) de las hembras de la especie *Astyanax cf. mexicanus* en milésimas de la longitud patrón en ocho pozas. la línea base indica el rango, la línea vertical la media y el área clara la desviación estándar.

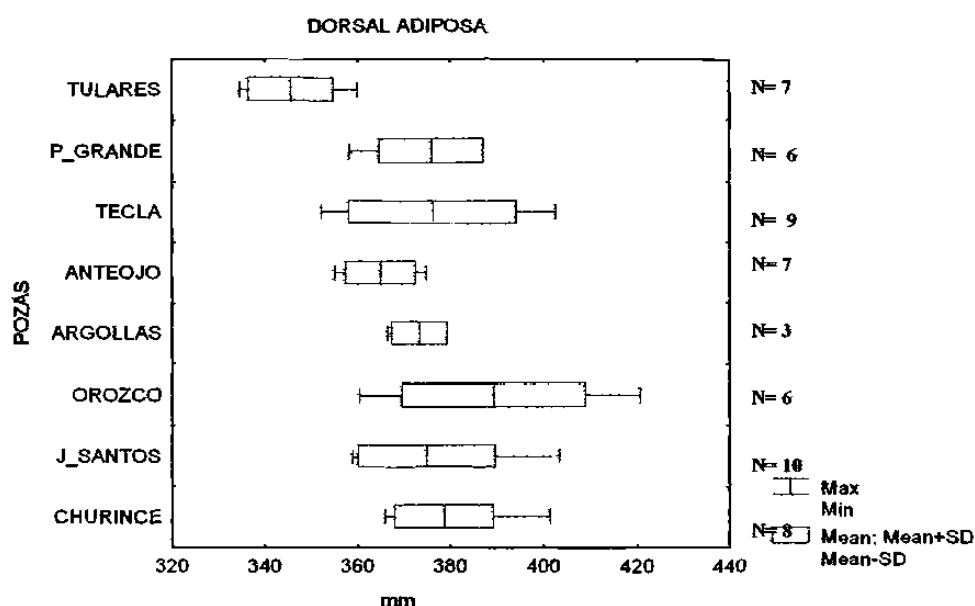


FIG. 81. Comparación del origen de la aleta dorsal a la adiposa de los machos de la especie *Astyanax cf. mexicanus* en milésimas de la longitud patrón en ocho pozas. la línea base indica el rango la línea vertical la media y el área clara la desviación estándar.

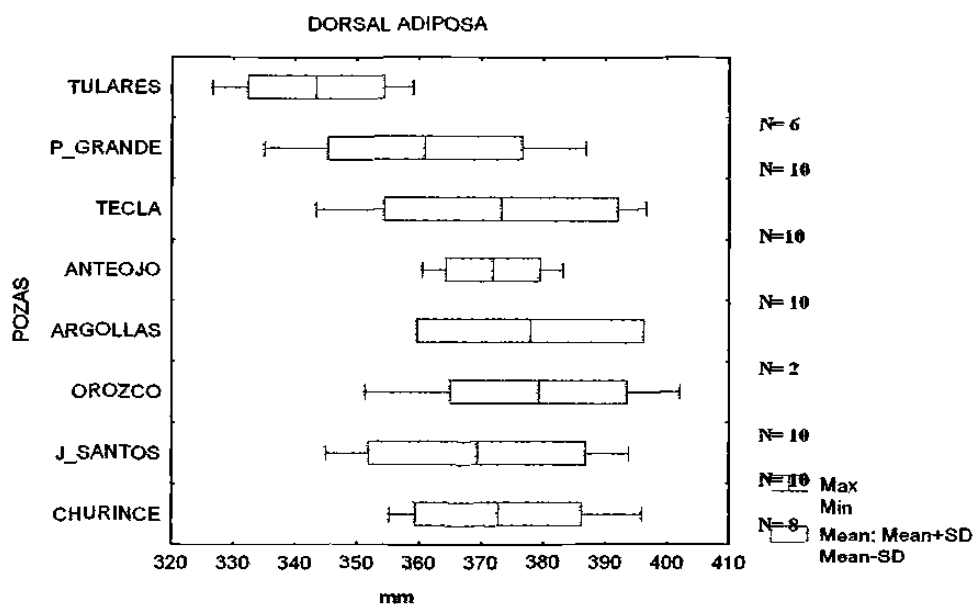


FIG. 82. Comparación del origen de la aleta dorsal a la adiposa de las hembras de la especie *Astyanax cf. mexicanus* en milésimas de la longitud patrón en ocho pozas. la línea base indica el rango. la línea vertical la media y el área clara la desviación estándar.

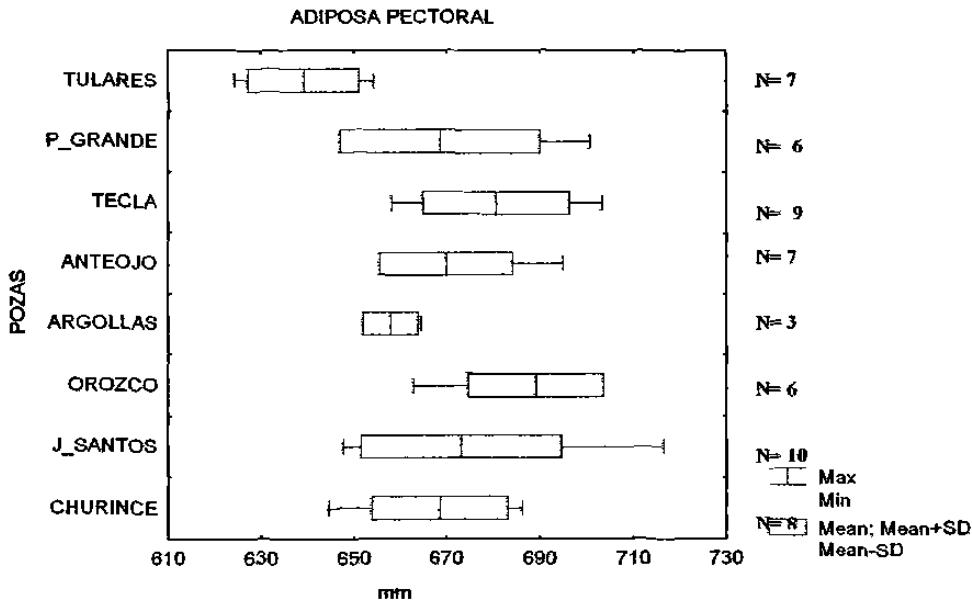


FIG. 83. Comparación del origen de la aleta adiposa a la pectoral de los machos de la especie *Astyanax cf. mexicanus* en milésimas de la longitud patrón en ocho pozas. la línea base indica el rango la línea vertical la media y el área clara la desviación estándar.

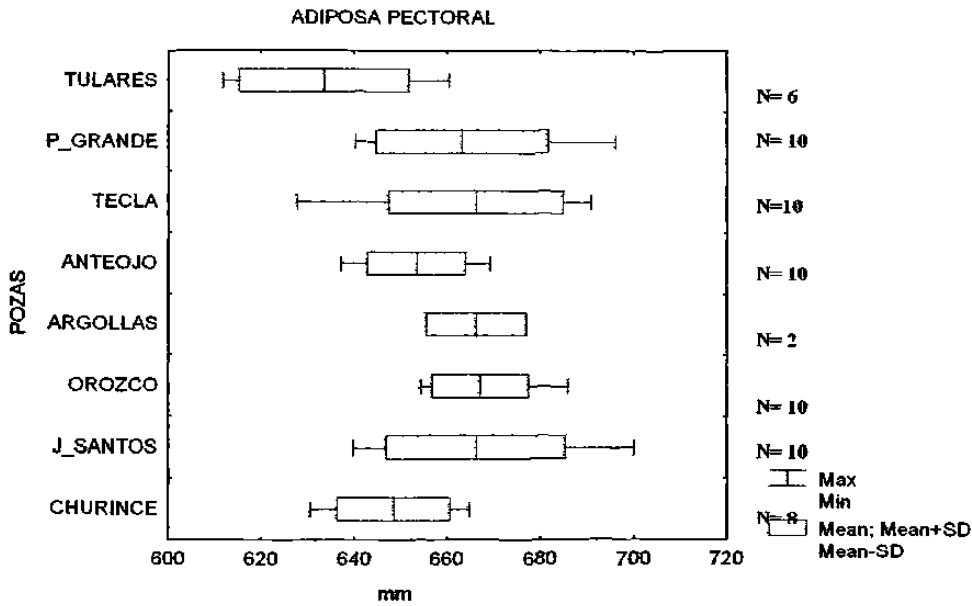


FIG. 84. Comparación del origen de la aleta adiposa a la pectoral de las hembras de la especie *Astyanax cf. mexicanus* en milésimas de la longitud patrón en ocho pozas. la línea base indica el rango. la línea vertical la media y el área clara la desviación estándar.

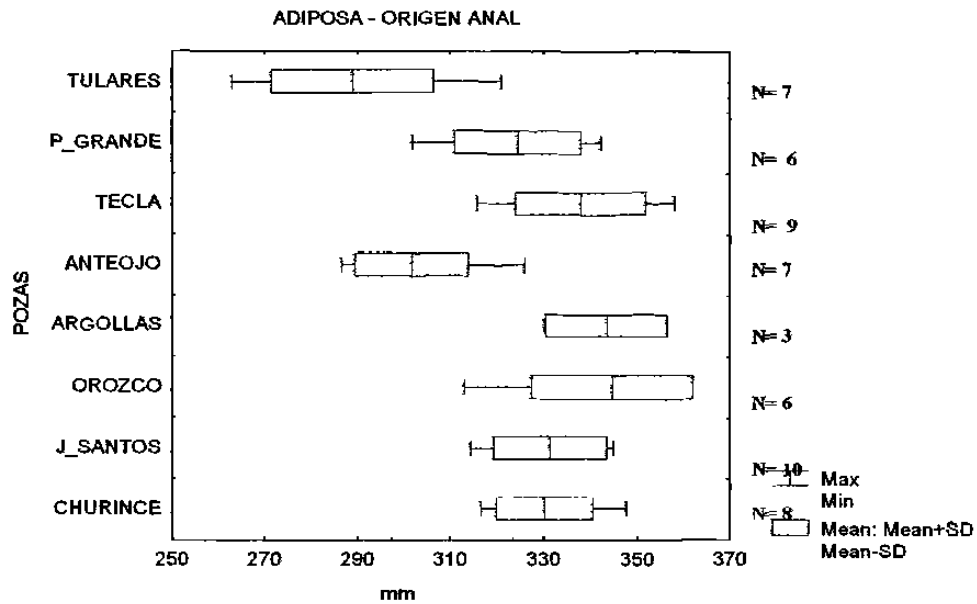


FIG. 85. Comparación del origen de la aleta adiposa – origen anal de los machos de la especie *Astyanax cf. mexicanus* en milésimas de la longitud patrón en ocho pozas. la línea base indica el rango la línea vertical la media y el área clara la desviación estándar.

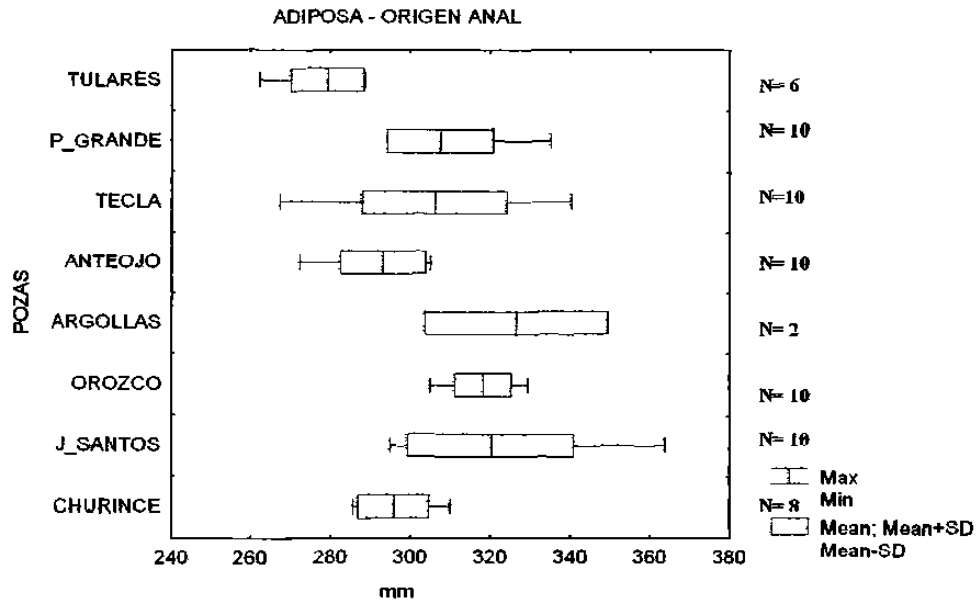


FIG. 86. Comparación del origen de la aleta adiposa – origen anal de las hembras de la especie *Astyanax cf. mexicanus* en milésimas de la longitud patrón en ocho pozas. la línea base indica el rango la línea vertical la media y el área clara la desviación estándar.

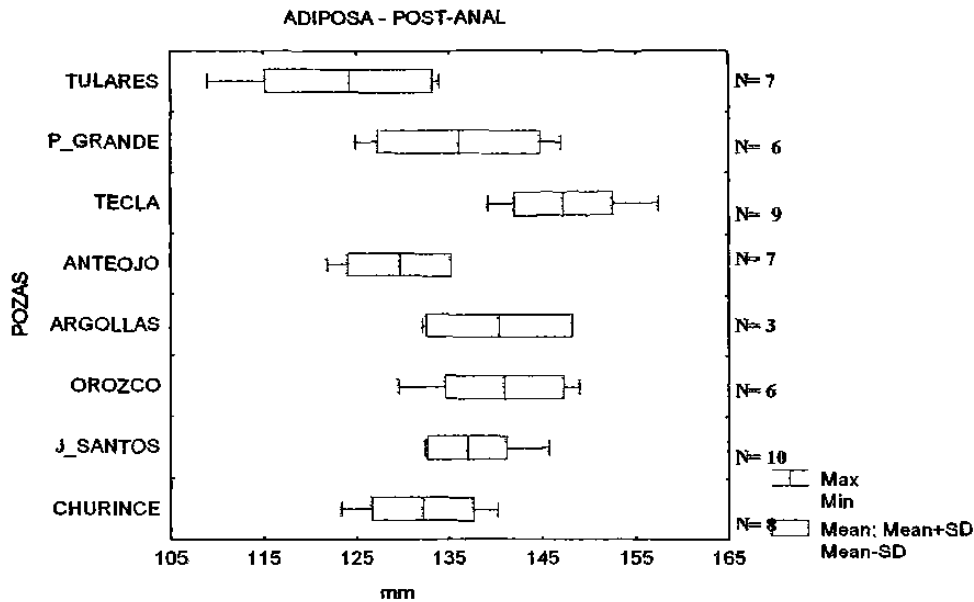


FIG. 87. Comparación del origen de la aleta adiposa – origen post-anal de los machos de la especie *Astyanax* en milésimas de la longitud patrón en ocho pozas. la línea base indica el rango la línea vertical la media y el área clara la desviación estándar.

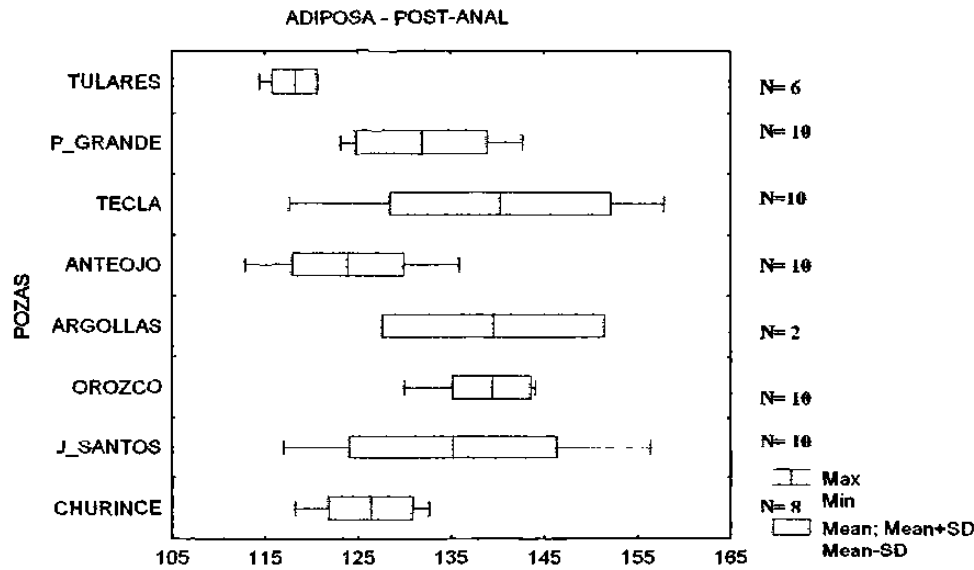


FIG. 88. Comparación del origen de la aleta adiposa – origen post-anal de las hembras de la especie *Astyanax cf. Mexicanus* en milésimas de la longitud patrón en ocho pozas. la línea base indica el rango. la línea vertical la media y el área clara la desviación estándar.

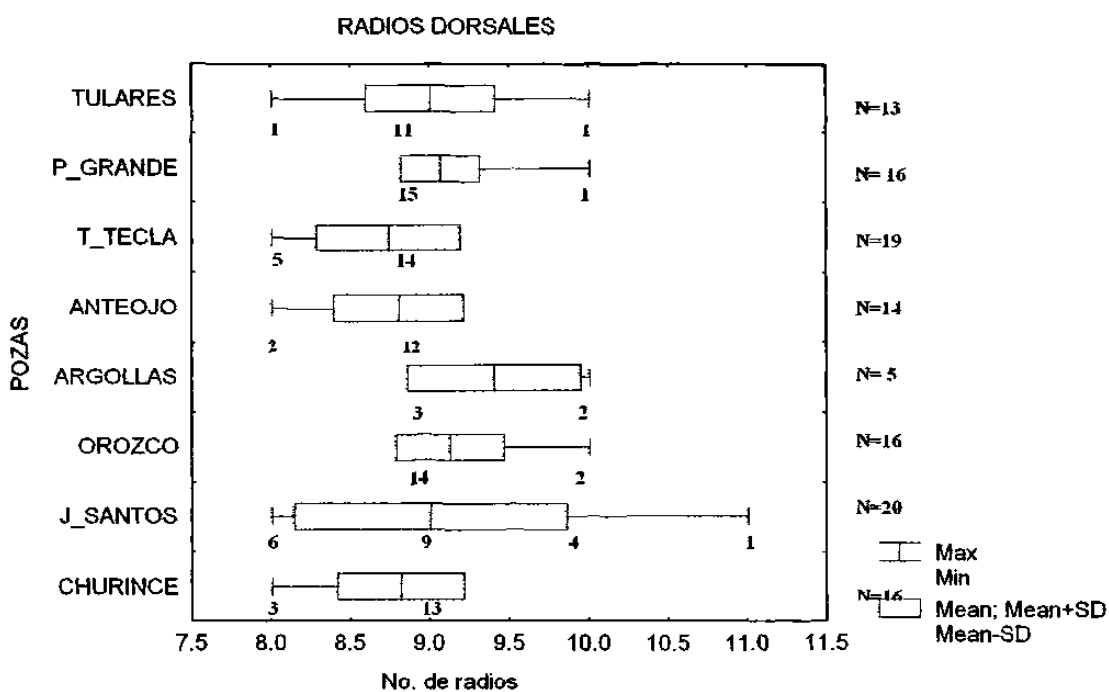
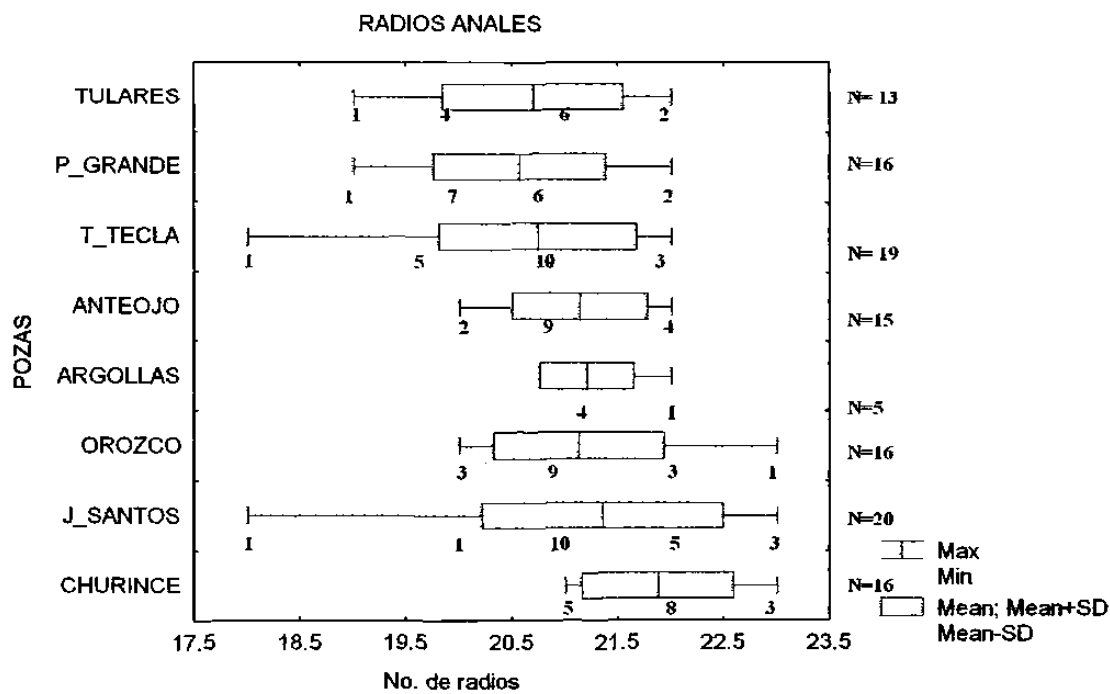


FIG. 89. Análisis gráfico del número de radios en la aleta dorsal de la especie *Astyanax cf. mexicanus* en ocho pozas. la línea base indica el rango, la línea vertical la media y el área clara la desviación estándar, el número bajo el rango es la distribución de frecuencias.



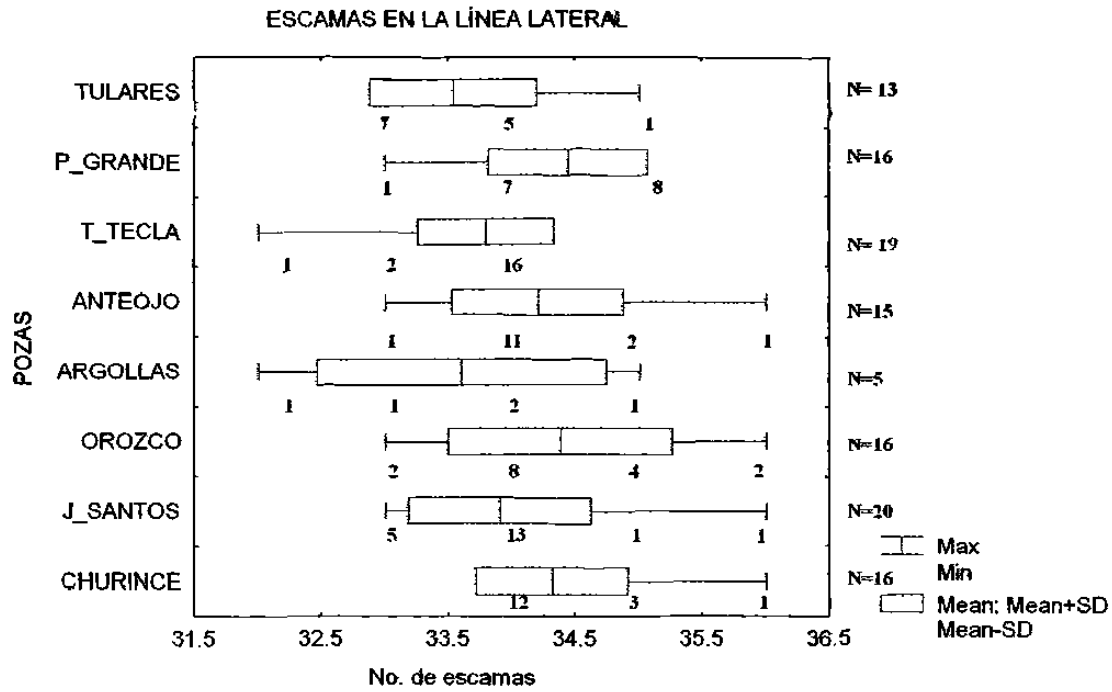


FIG. 91 Análisis gráfico del número de escamas en línea lateral de la especie *Astyanax cf. mexicanus* en ocho pozas. la línea base indica el rango, la línea vertical la media y el área clara la desviación estándar, el número bajo el rango es la distribución de frecuencias.

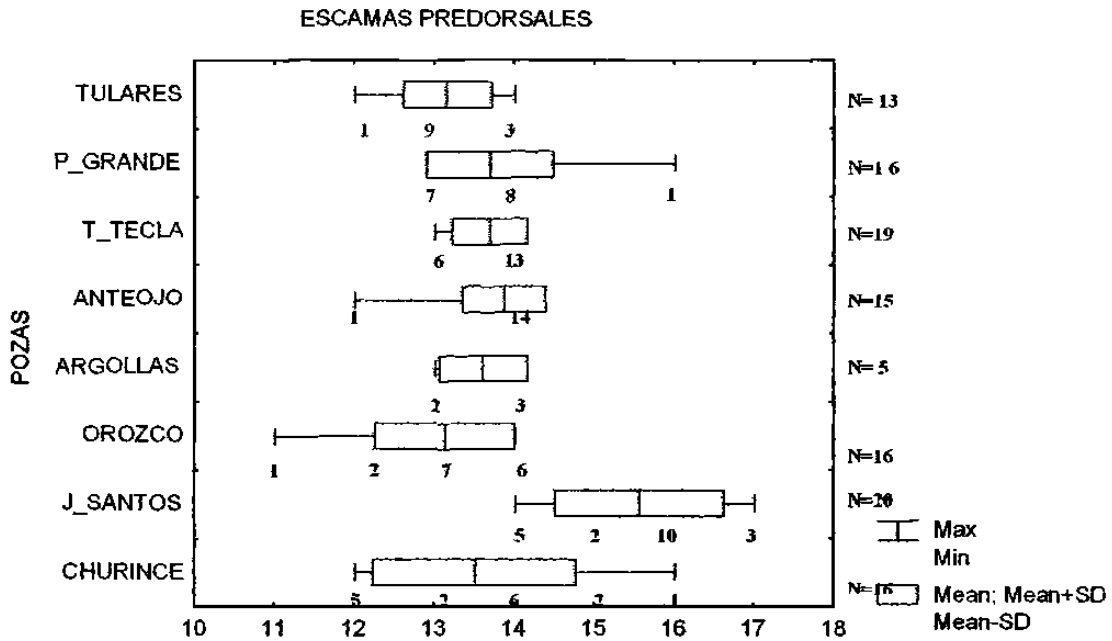


FIG. 92. Análisis gráfico del número de escamas pre-dorsales de la especie *Astyanax cf. mexicanus* en ocho pozas, donde la línea base indica el rango, la línea vertical la media y el área clara la desviación estándar, el número bajo el rango es la distribución de frecuencias.

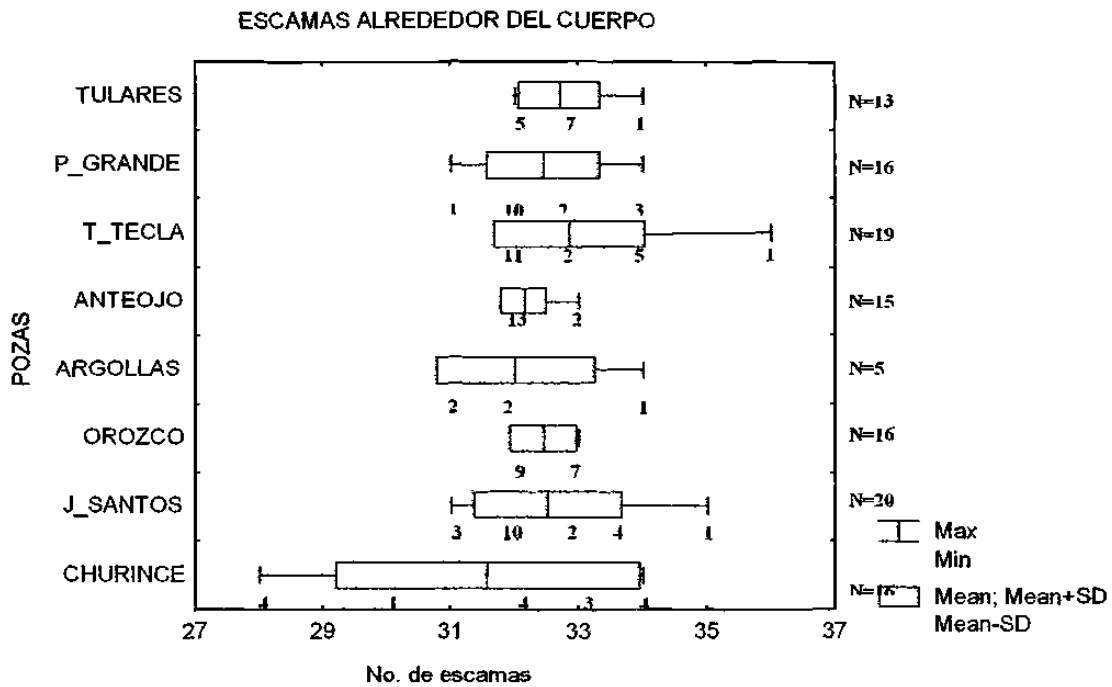


FIG. 93. Análisis gráfico del número de escamas alrededor del cuerpo de los machos de la especie *Astyanax cf. mexicanus* en ocho pozas. la línea base indica el rango. la línea vertical a media y el área clara la desviación estándar. el número bajo el rango es la distribución de frecuencias.

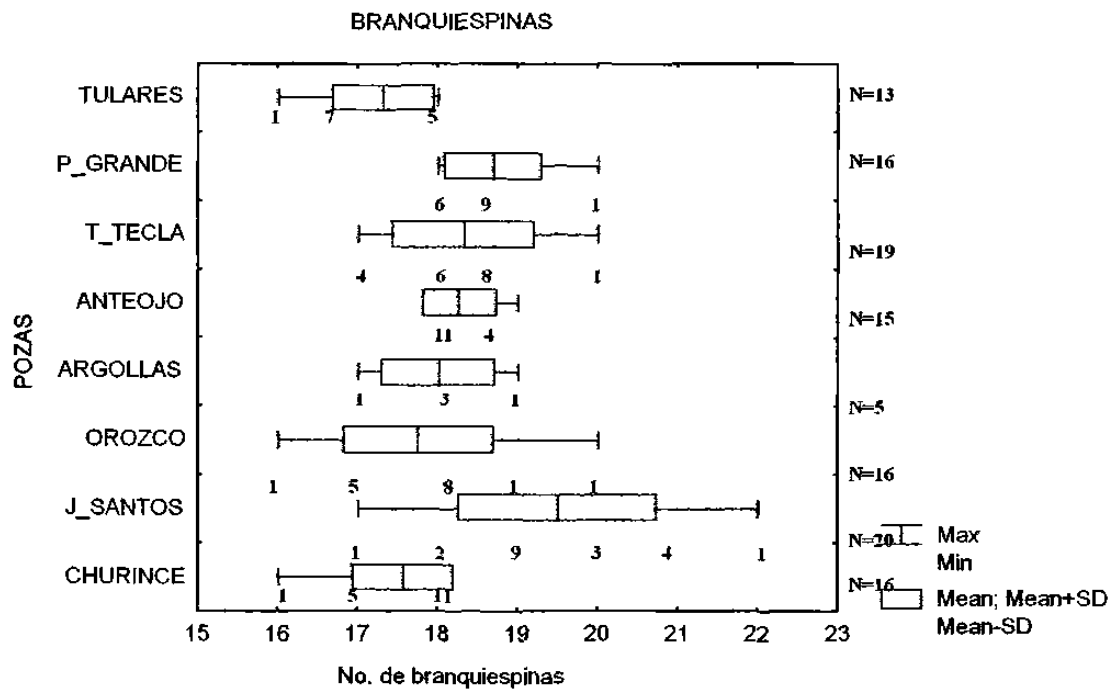


FIG. 94. Análisis gráfico de las branquiespinas en el primer arco branquial de los machos de la especie *Astyanax cf. mexicanus* en ocho pozas. donde la línea base indica el rango. la línea vertical la media y el área clara la desviación estándar. el número bajo el rango es la distribución de frecuencias.

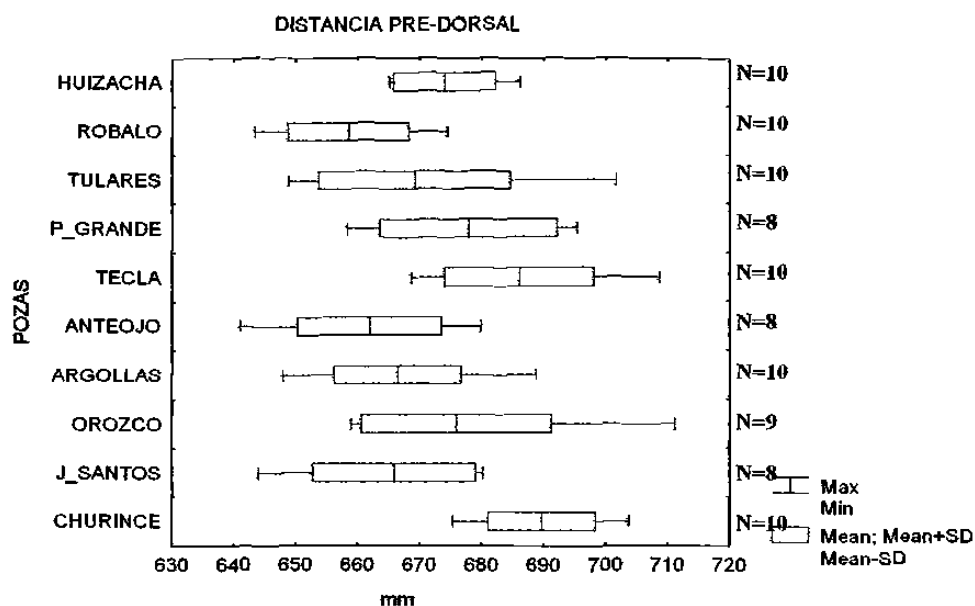


FIG. 95. Comparación de distancia pre-dorsal (DP1) de las hembras de la especie *Gambusia marshi* en milésimas de la longitud patrón en diez pozas. la línea base indica el rango, la línea vertical la media y el área clara la desviación estándar.

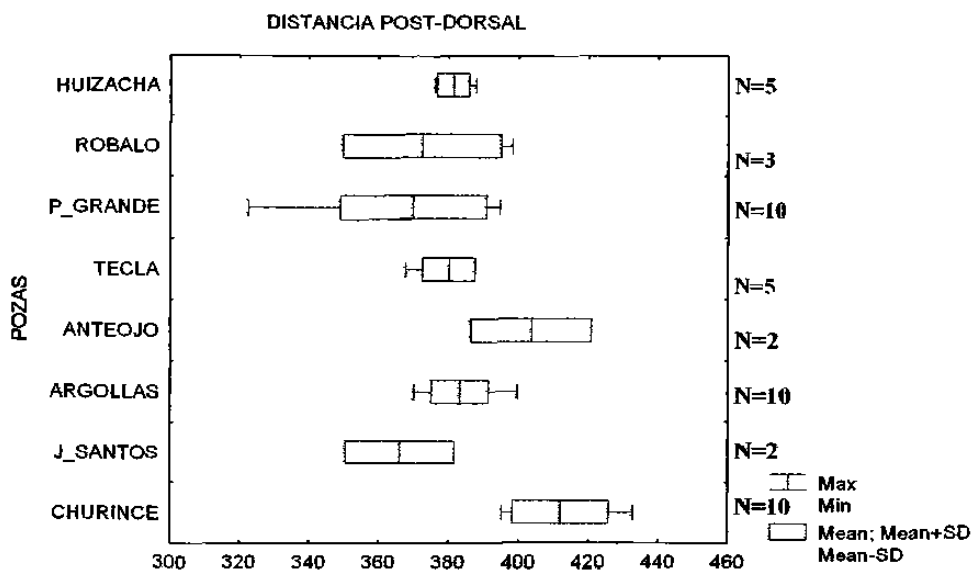


FIG. 96. Comparación de la distancia post-dorsal (DP2) de los machos de la especie *Gambusia marshi* en milésimas de la longitud patrón en ocho pozas. la línea base indica el rango, la línea vertical la media y el área clara la desviación estándar.

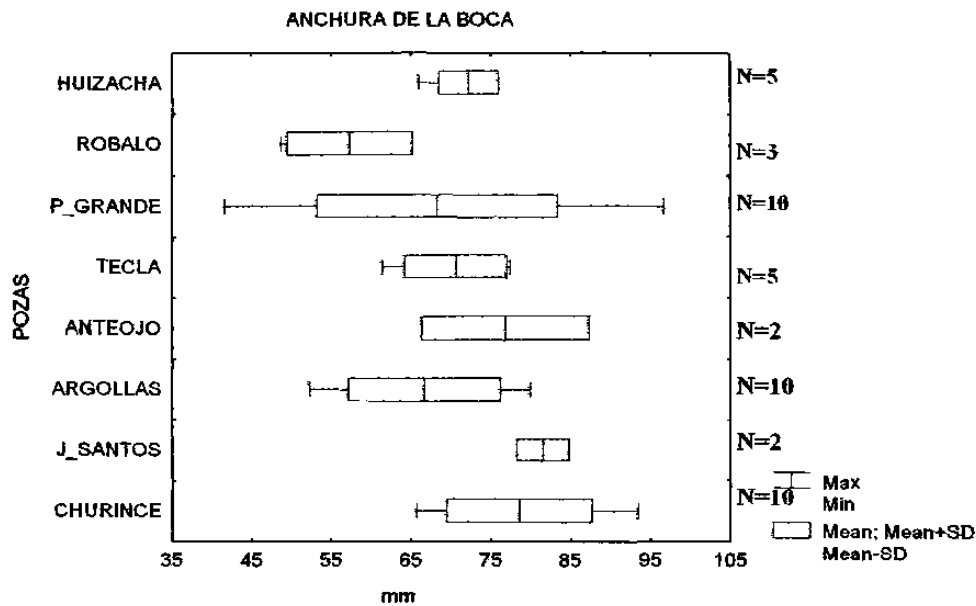


FIG. 97. Comparación de la anchura de la boca (AB) de los machos de la especie *Gambusia marshi* en milésimas de la longitud patrón en ocho pozas. la línea base indica el rango, la línea vertical la media y el área clara la desviación estándar.

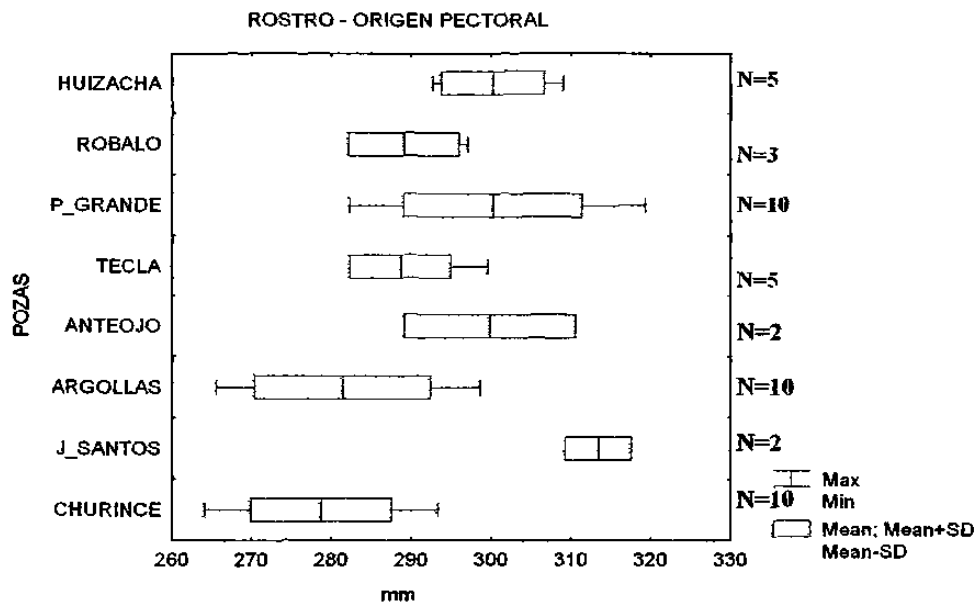


FIG. 98. Comparación del rostro - origen pectoral (RPI) de los machos de la especie *Gambusia marshi* en milésimas de la longitud patrón en ocho pozas. la línea base indica el rango, la línea vertical la media y el área clara la desviación estándar.

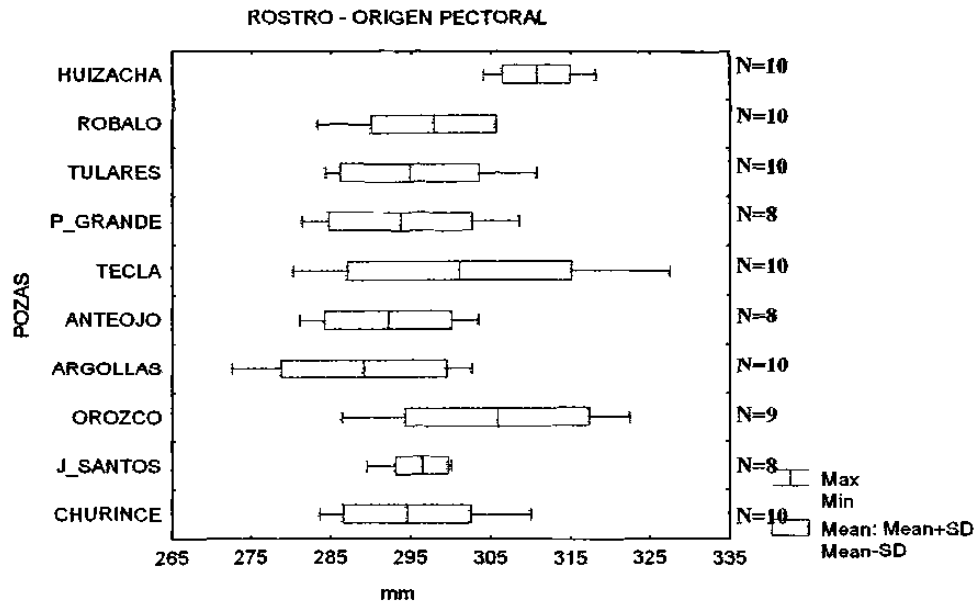


FIG. 99. Comparación del rostro – origen pectoral (RP1) de las hembras de la especie *Gambusia marshi* en milésimas de la longitud patrón en diez pozas. la línea base indica el rango, la línea vertical la media y el área clara la desviación estándar.

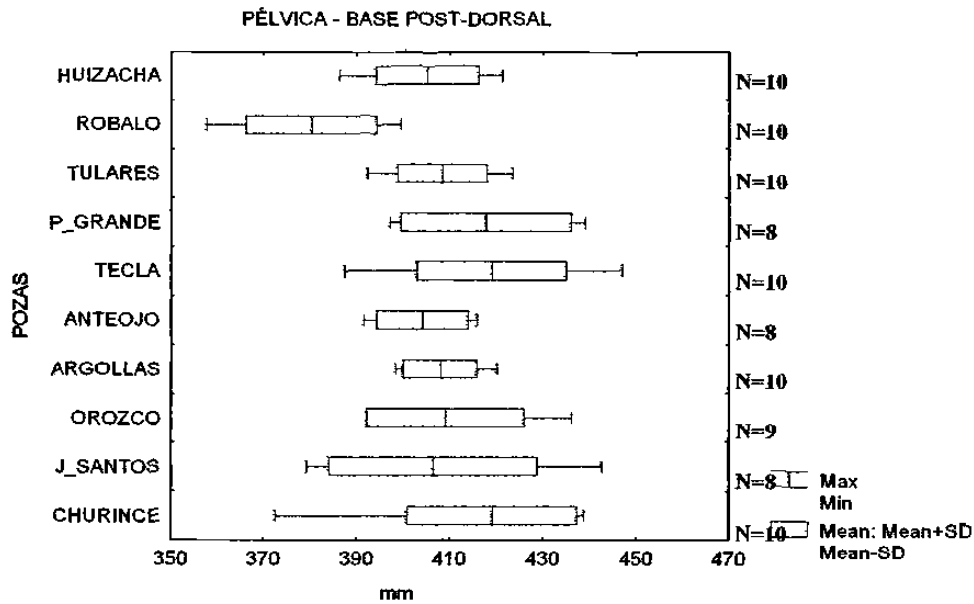


FIG. 100. Comparación pélvica – base post-dorsal (PPD) de las hembras de la especie *Gambusia marshi* en milésimas de la longitud patrón en diez pozas. la línea base indica el rango, la línea vertical la media y el área clara la desviación estándar.

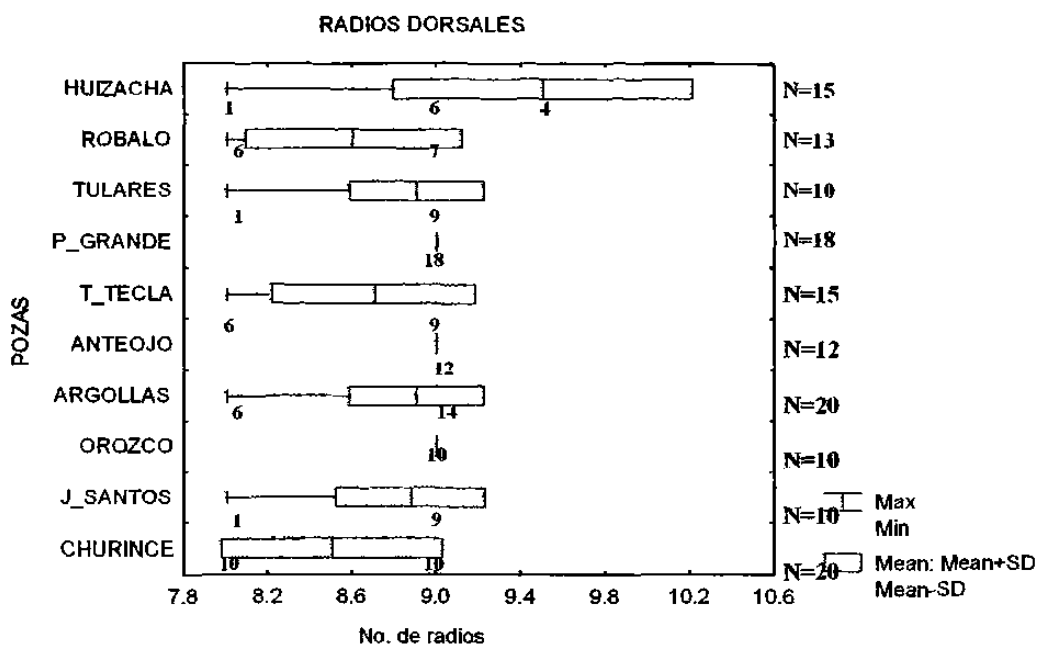


FIG. 101. Análisis gráfico del número de radios dorsales de la especie *Gambusia marshi* en ocho pozas, donde la línea base indica el rango, la línea vertical la media y el área clara la desviación estándar, el número bajo el rango es la distribución de frecuencias.

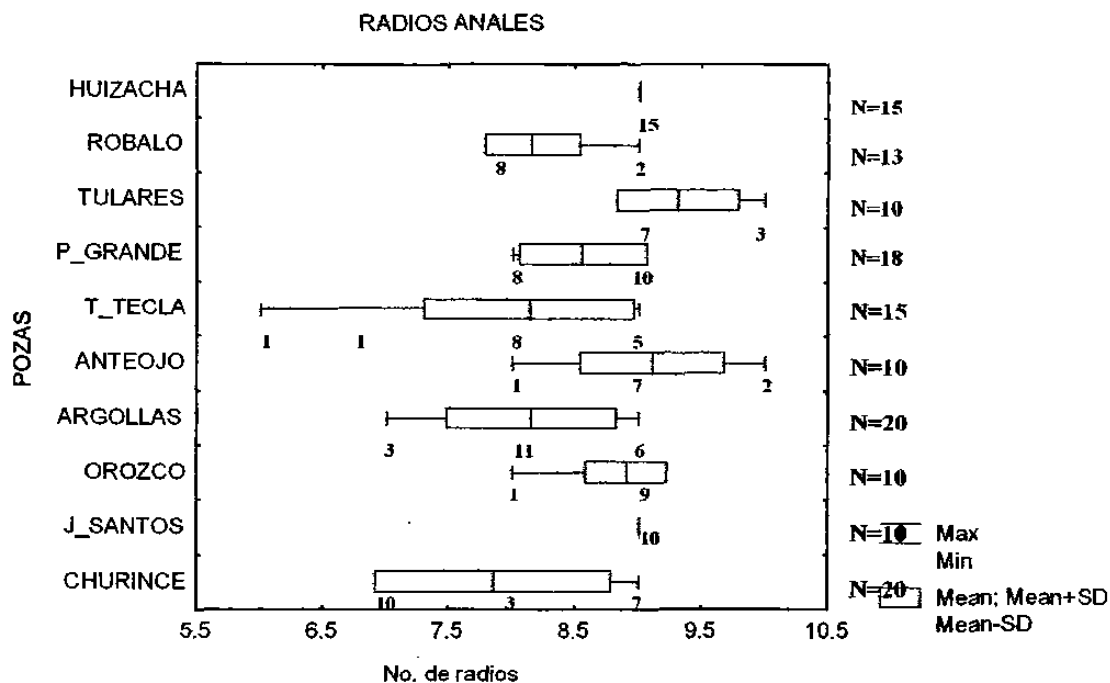


FIG. 102. Análisis gráfico del número de radios anales de la especie *Gambusia marshi* en ocho pozas, donde la línea base indica el rango, la línea vertical la media y el área clara la desviación estándar, el número bajo el rango es la distribución de frecuencias.

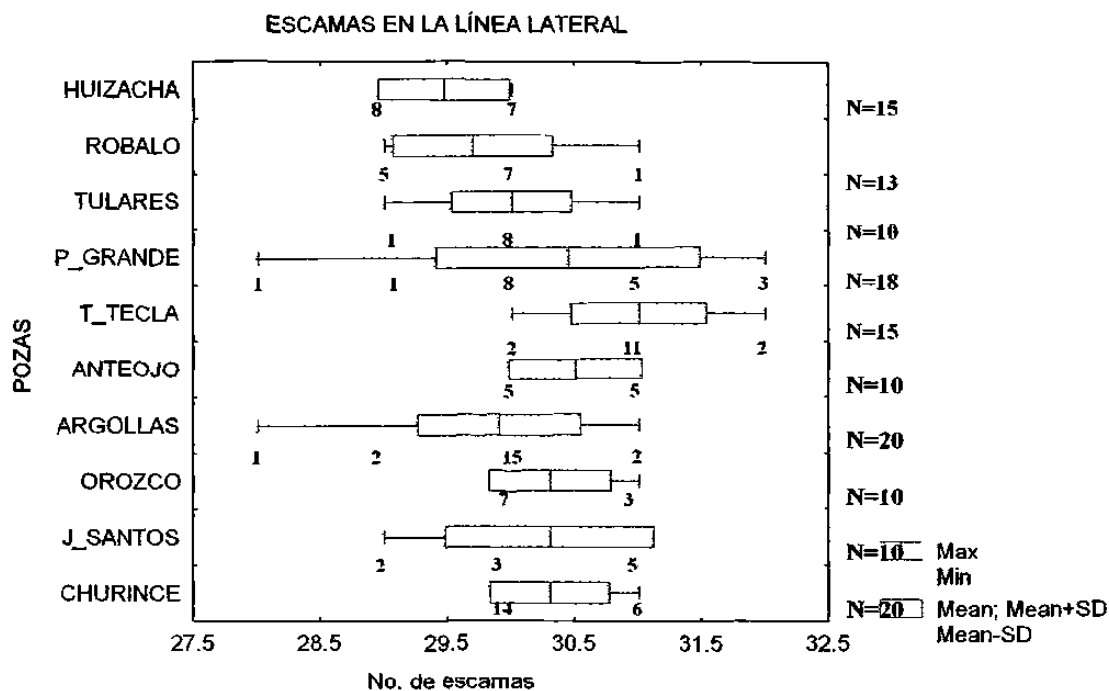


FIG. 103. Análisis gráfico del número de escamas en la línea lateral de la especie *Gambusia marshi* en ocho pozas, donde la línea base indica el rango, la línea vertical la media y el área clara la desviación estándar, el número bajo el rango es

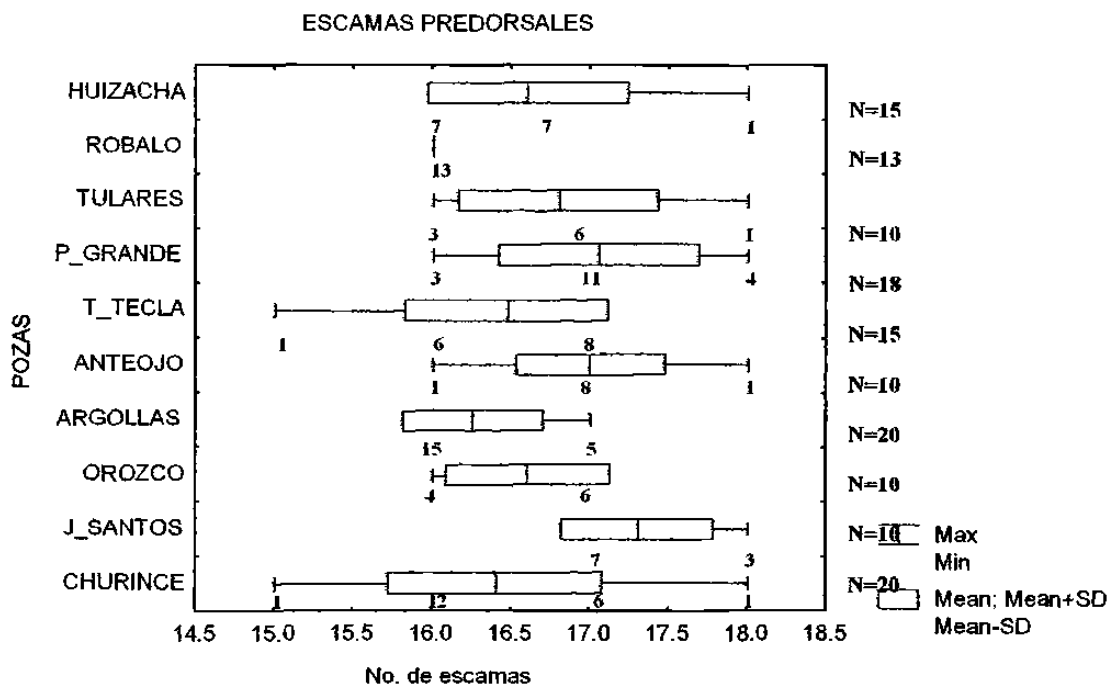


FIG. 104. Análisis gráfico del número de las escamas predorsales de la especie *Gambusia marshi* en diez pozas, la línea base indica el rango, la línea vertical la media y el área clara la desviación estándar, el número bajo el rango es la distribución de frecuencias.

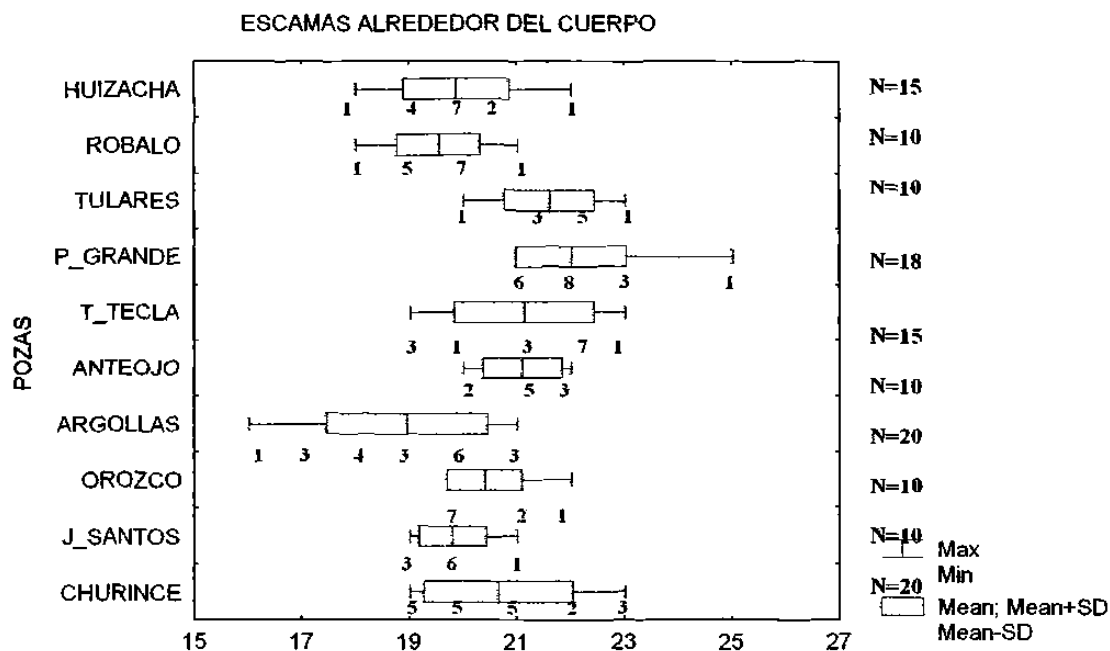


FIG. 105. Análisis gráfico del número de escamas alrededor del cuerpo de la especie *Gambusia marshi* en diez pozas, la línea base indica el rango, la línea vertical la media y el área clara la desviación estándar, el número bajo el rango es la distribución de frecuencias.

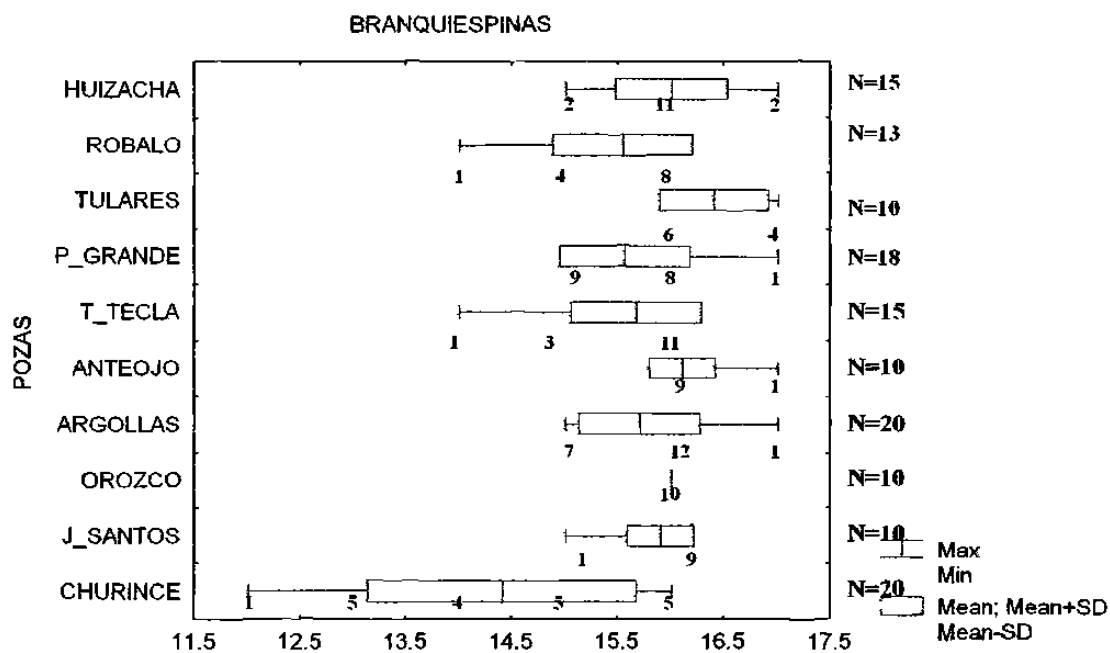


FIG. 106. Análisis gráfico de las branquiespinas del primer arco branquial de la especie *Gambusia marshi* en ocho pozas, la línea base indica el rango, la línea vertical la media y el área clara la desviación estándar, el número bajo el rango es la distribución de frecuencias.

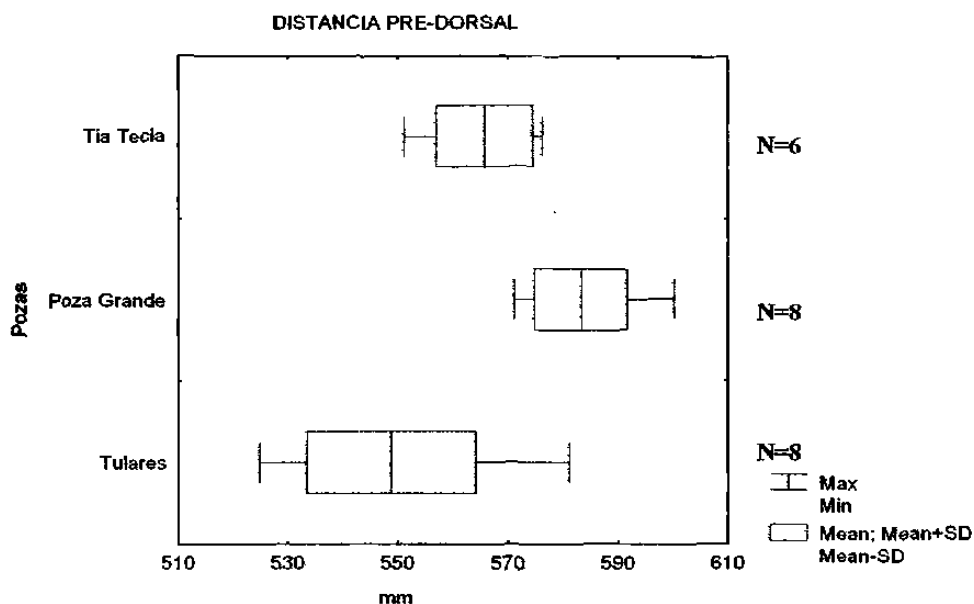


FIG. 107. Comparación de la distancia pre-dorsal (DP1) de las hembras de la especie *Xiphophorus gordonii* en milésimas de la longitud patrón en tres pozas. la línea base indica el rango, la línea vertical la media y el área clara la desviación estándar.

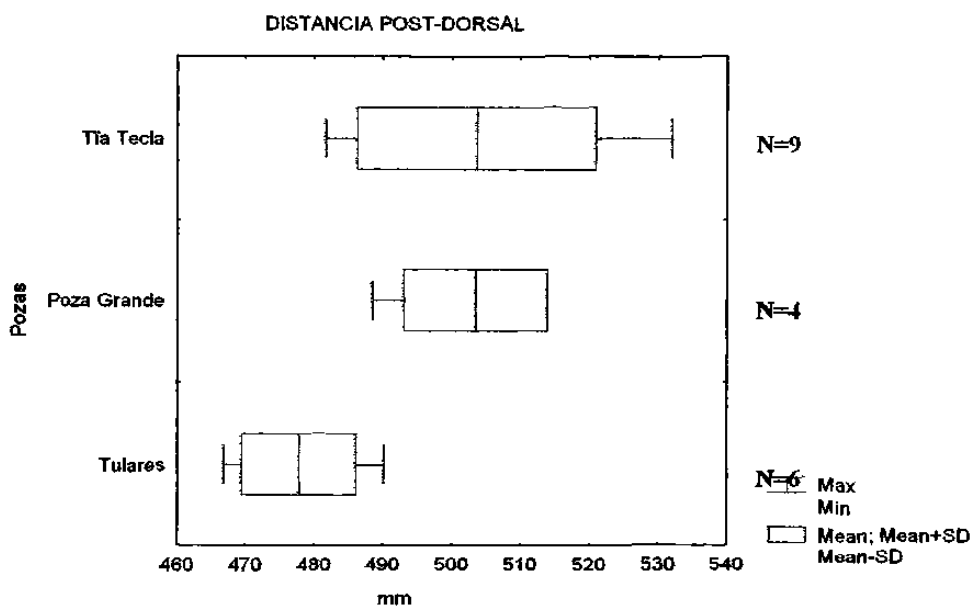


FIG. 108. Comparación de la distancia post-dorsal (DP2) de los machos de la especie *Xiphophorus gordonii* en milésimas de la longitud patrón en tres pozas. la línea base indica el rango, la línea vertical la media y el área clara la desviación estándar.

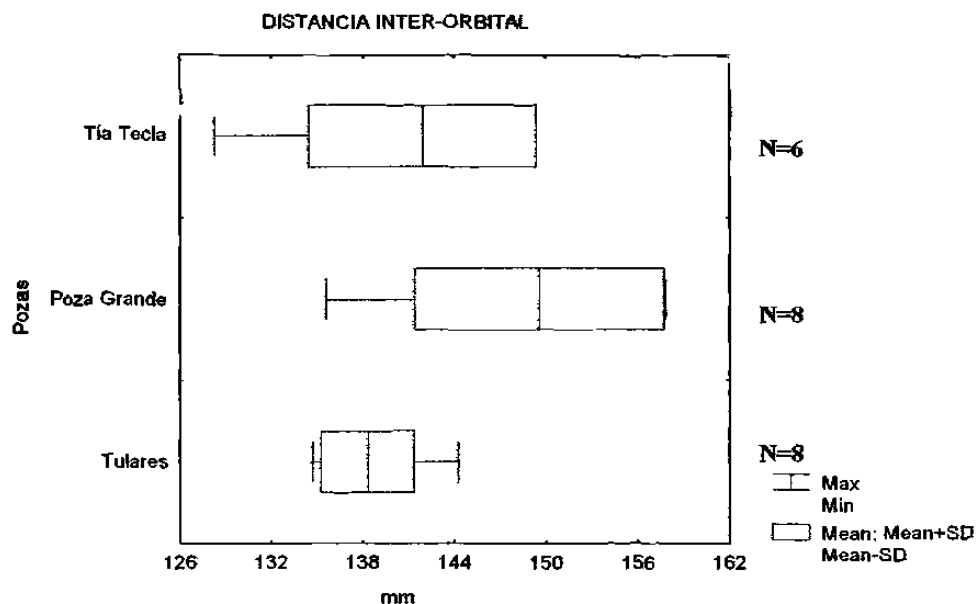


FIG. 109. Comparación de la distancia Inter-orbital (IO) de las hembras de la especie *Xiphophorus gordonii* en milésimas de la longitud patrón en tres pozas. la línea base indica el rango, la línea vertical la media y el área clara la desviación estándar.

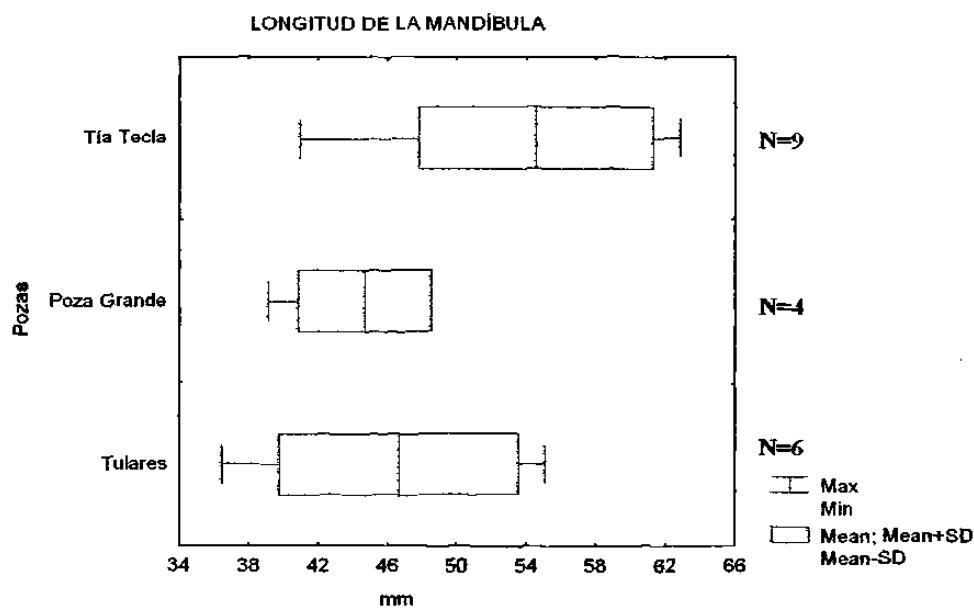


FIG. 110. Comparación de la longitud de la mandíbula (LMAN) de los machos de la especie *Xiphophorus gordonii* en milésimas de la longitud patrón en tres pozas. la línea base indica el rango, la línea vertical la media y el área clara la desviación estándar.

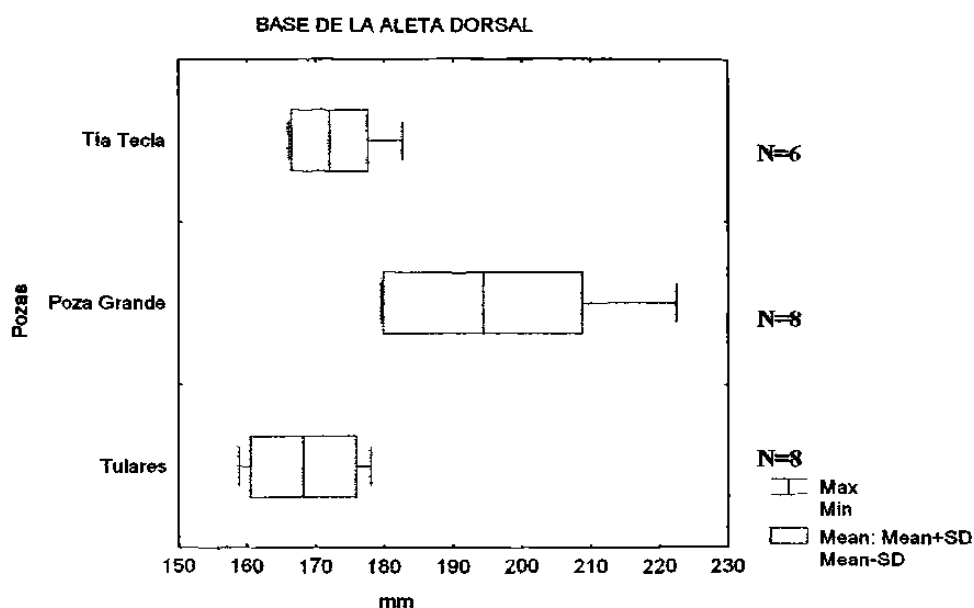


FIG. 111. Comparación de la base de la aleta dorsal (AD) de las hembras de la especie *Xiphophorus gordonii* en milésimas de la longitud patrón en tres pozas. la línea base indica el rango. la línea vertical la media y el área clara la desviación estándar.

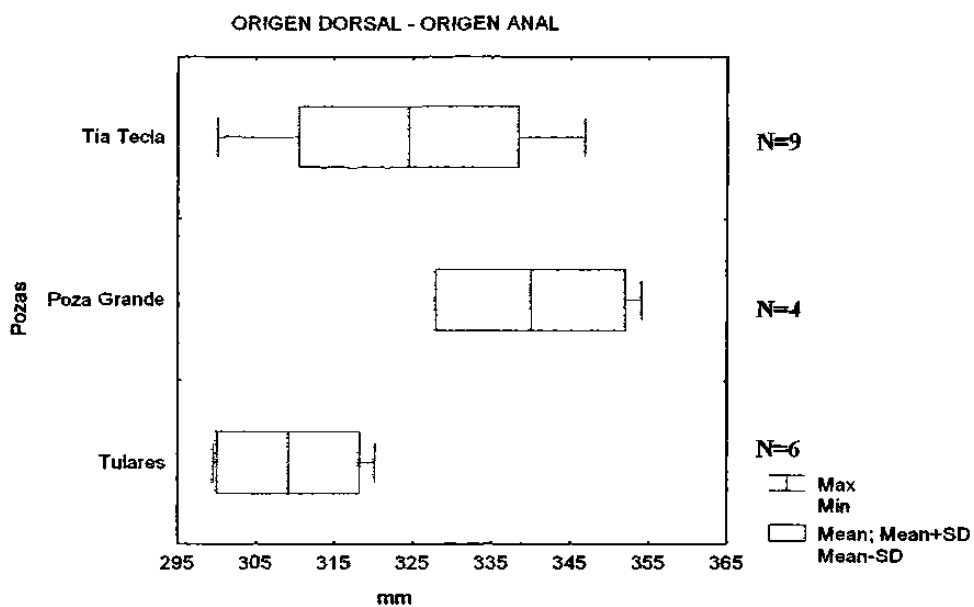


FIG. 112. Comparación del origen dorsal – origen anal (DA) de los machos de la especie *Xiphophorus gordonii* en milésimas de la longitud patrón en tres pozas. la línea base indica el rango. la línea vertical la media y el área clara la desviación estándar.

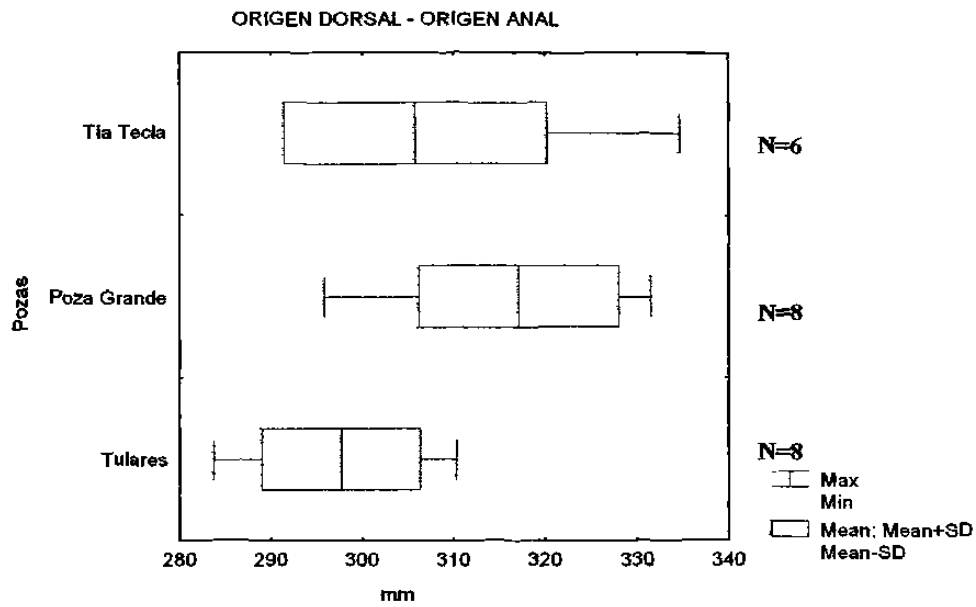


FIG. 113. Comparación del origen dorsal – origen anal (DA) de las hembras de la especie *Xiphophorus gordonii* en milésimas de la longitud patrón en tres pozas. la línea base indica el rango, la línea vertical la media y el área clara la desviación estándar.

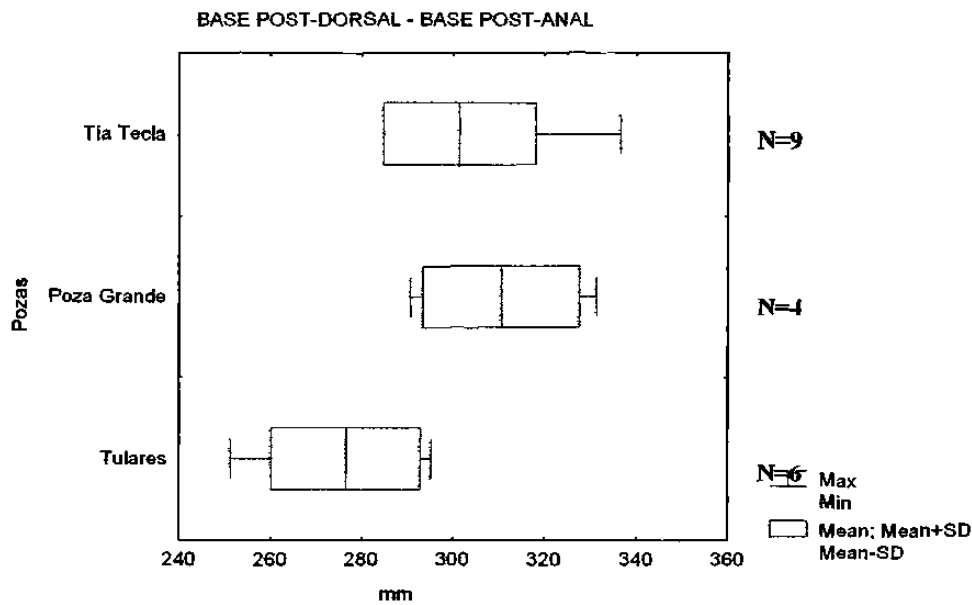


FIG. 114. Comparación de la base post-dorsal – base post-anal (PDA) de los machos de la especie *Xiphophorus gordonii* en milésimas de la longitud patrón en tres pozas. la línea base indica el rango, la línea vertical la media y el área clara la desviación estándar.

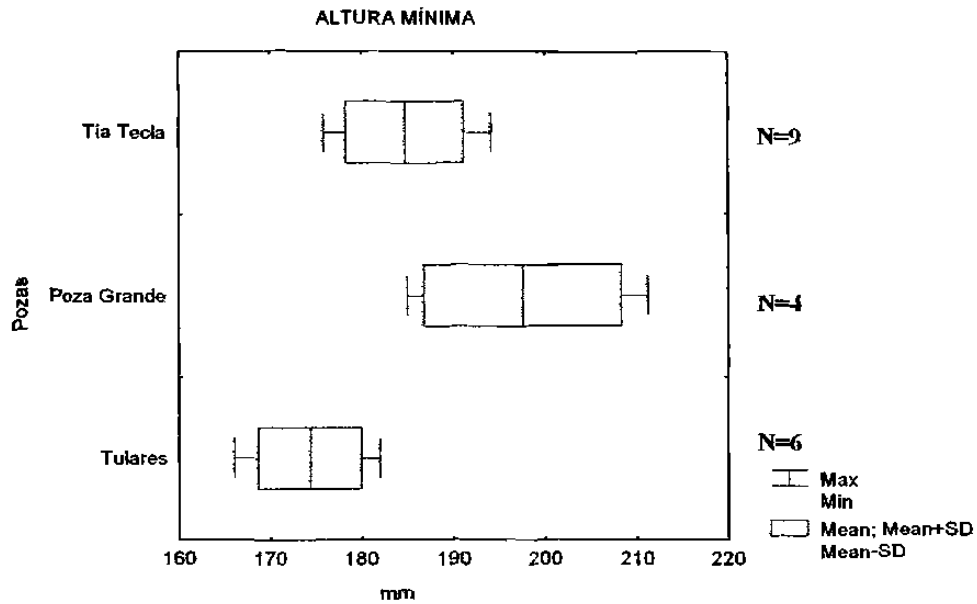


FIG. 115. Comparación de la altura mínima (AMI) de los machos de la especie *Xiphophorus gordonii* en milésimas de la longitud patrón en tres pozas, la línea base indica el rango, la línea vertical la media y el área clara la desviación estándar.

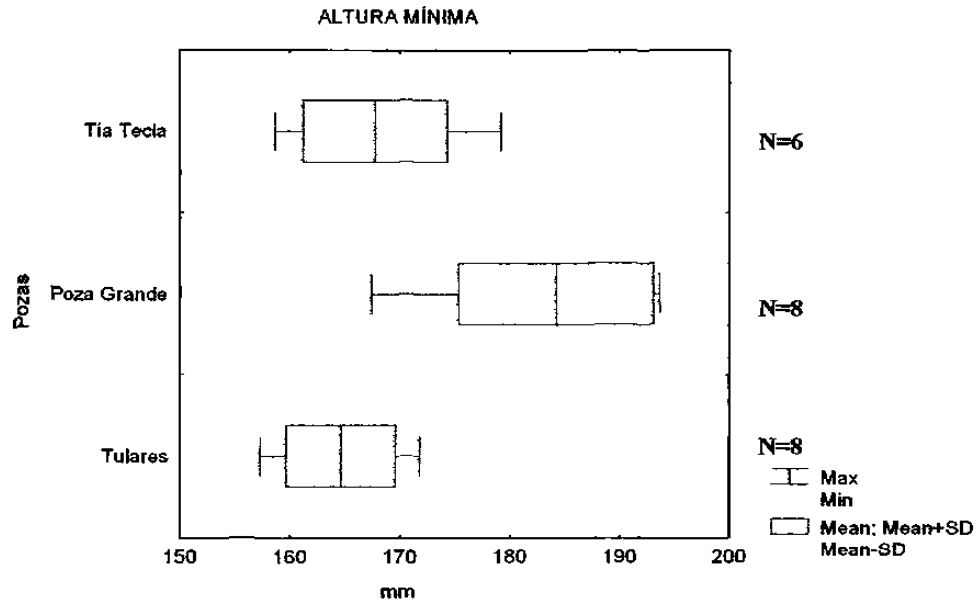


FIG. 116. Comparación de la altura mínima (AMI) de las hembras de la especie *Xiphophorus gordonii* en milésimas de la longitud patrón en tres pozas, la línea base indica el rango, la línea vertical la media y el área clara la desviación estándar.

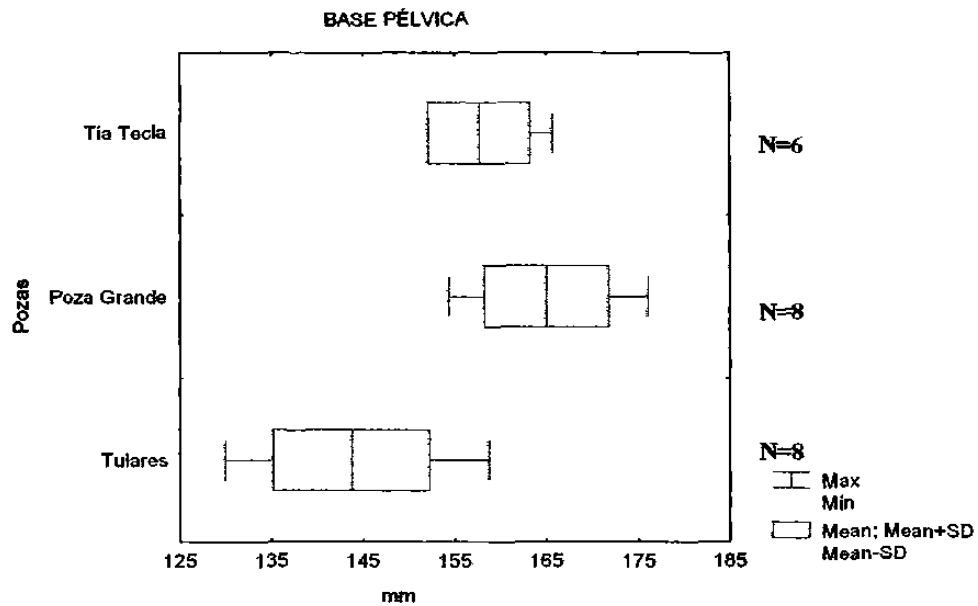


FIG. 117. Comparación de la base pélvica (BP2) de las hembras de la especie *Xiphophorus gordonii* en milésimas de la longitud patrón en tres pozas. la línea base indica el rango, la línea vertical la media y el área clara la desviación estándar.

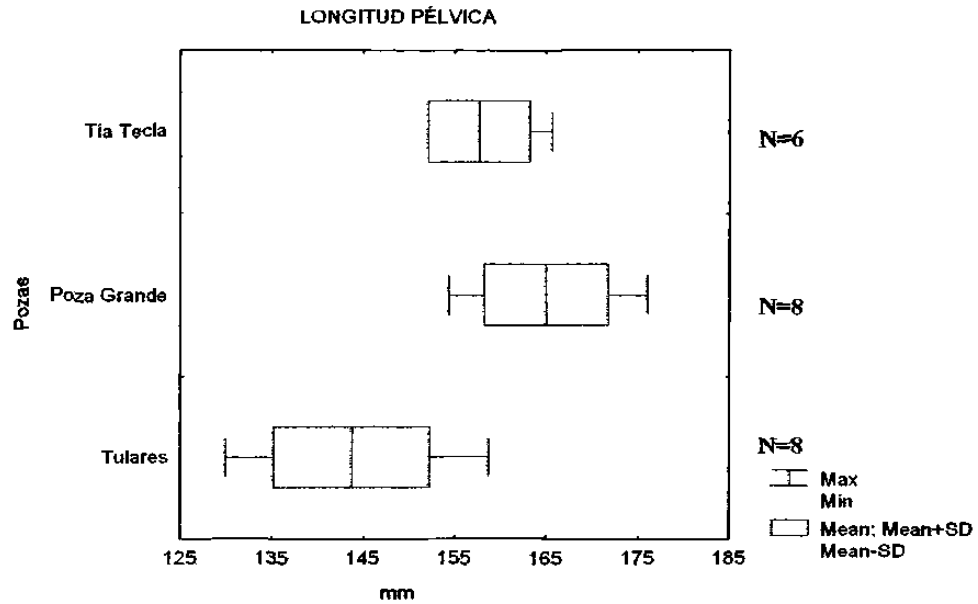


FIG. 118. Comparación de la longitud pélvica (LP2) de las hembras *Xiphophorus gordonii* en milésimas de la longitud patrón en tres pozas. la línea base indica el rango, la línea vertical la media y el área clara la desviación estándar.

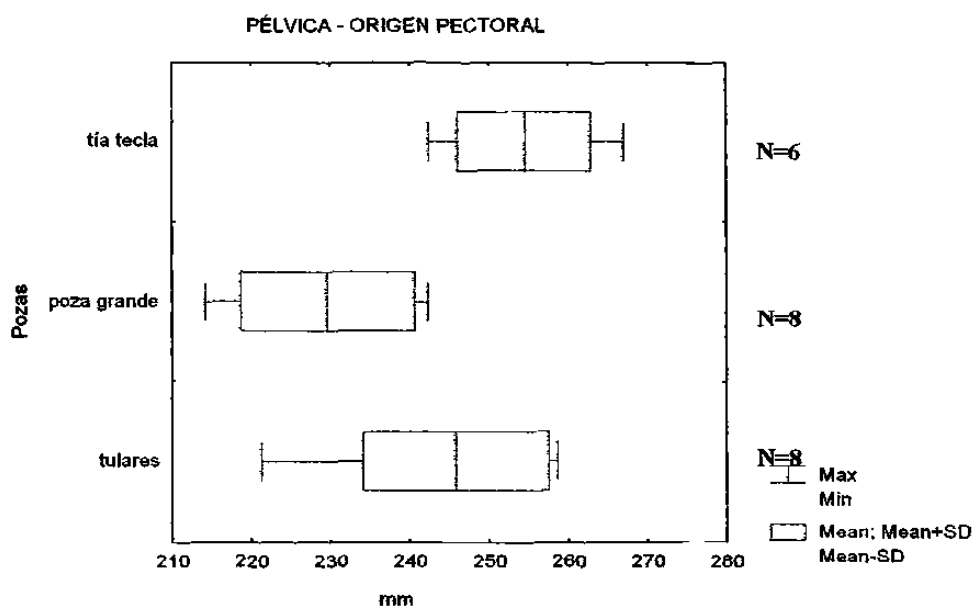


FIG. 119. Comparación de la pélvica – origen pectoral (PIP2) de las hembras de la especie *Xiphophorus gordonii* en milésimas de la longitud patrón en tres pozas, la línea base indica el rango, la línea vertical la media y el área clara la desviación estándar.

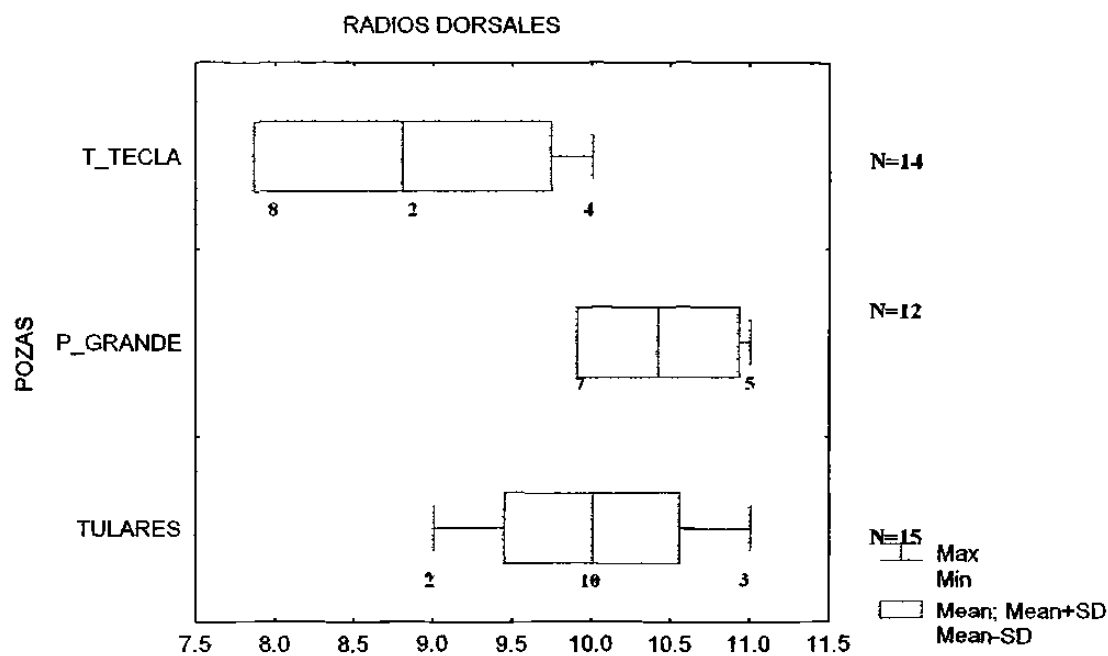


FIG. 120. Análisis gráfico del número de los radios dorsales de la especie *Xiphophorus gordonii* en tres pozas, donde la línea base indica el rango, la línea vertical la media y el área clara la desviación estándar, el número bajo el rango es la distribución de frecuencias.

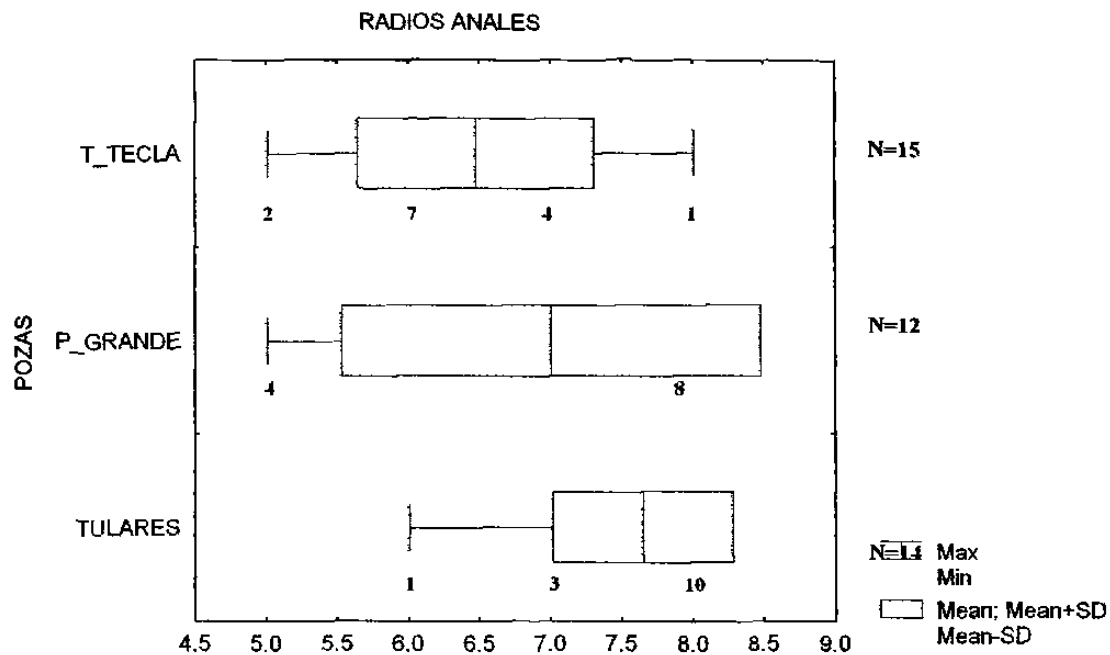


FIG. 121. Análisis gráfico del número de los radios anales de la especie *Xiphophorus gordonii* en tres pozas. la línea base indica el rango, la línea vertical la media y el área clara la desviación estándar, el número bajo el rango es la distribución de frecuencias.

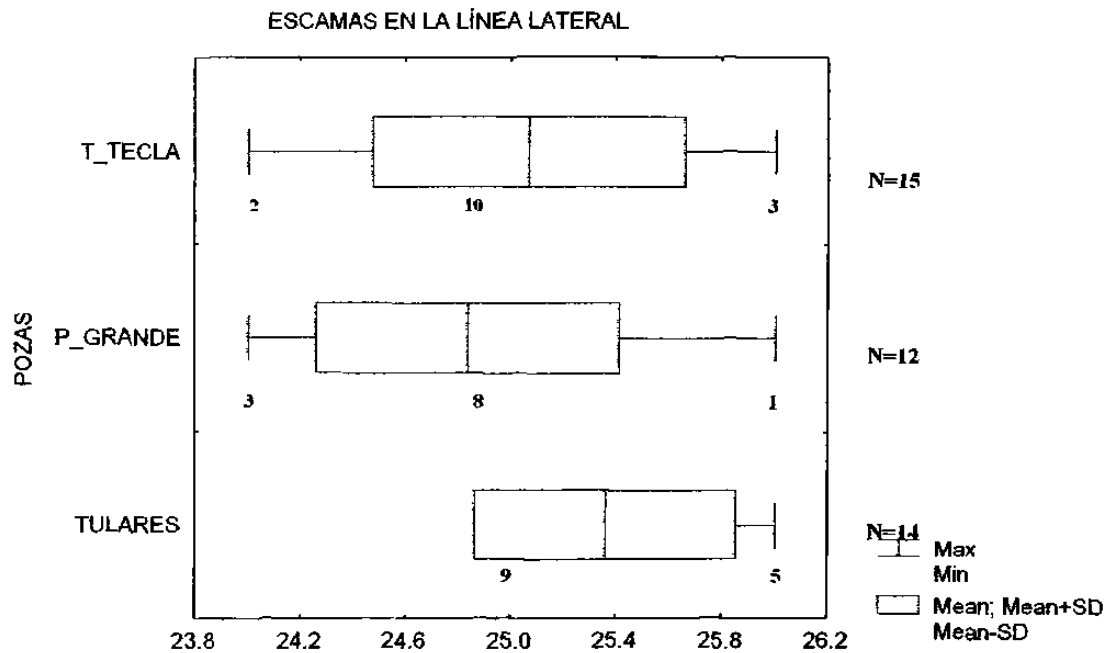


FIG. 122. Análisis gráfico del número de las escamas en la línea lateral de la especie *Xiphophorus gordonii* en tres pozas. la línea base indica el rango, la línea vertical la media y el área clara la desviación estándar, el número bajo el rango es la distribución de frecuencias.

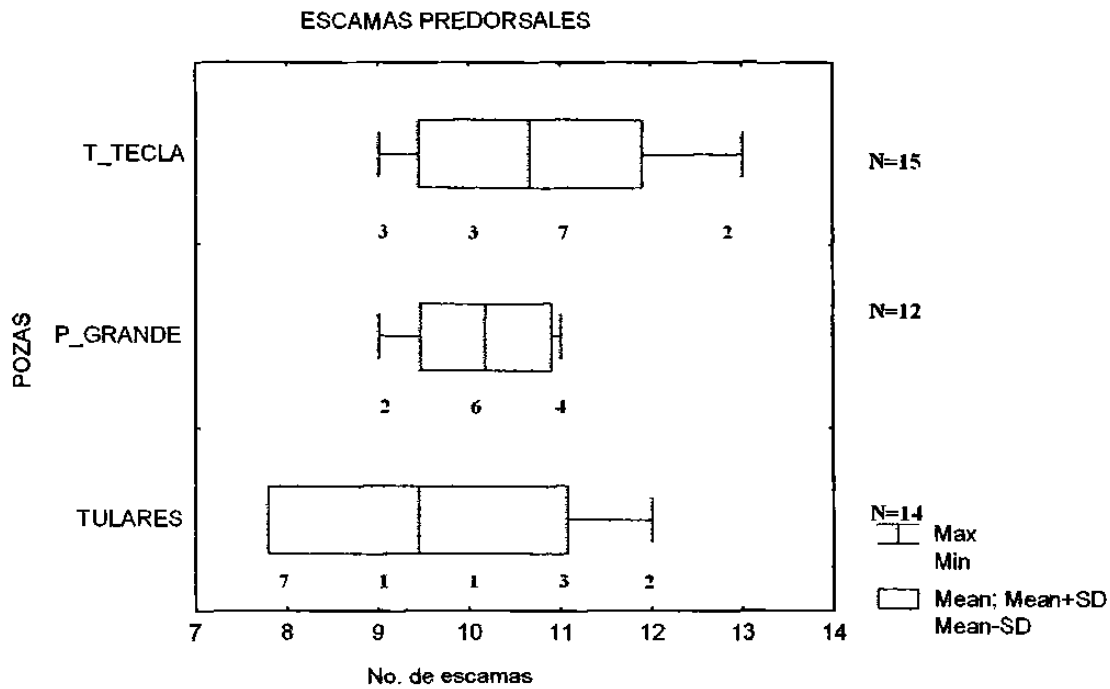


FIG. 123. Análisis gráfico del número de las escamas pre-dorsales de la especie *Xiphophorus gordonii* en tres pozas. la línea base indica el rango, la línea vertical la media y el área clara la desviación estándar. el número bajo el rango es la distribución de frecuencias.

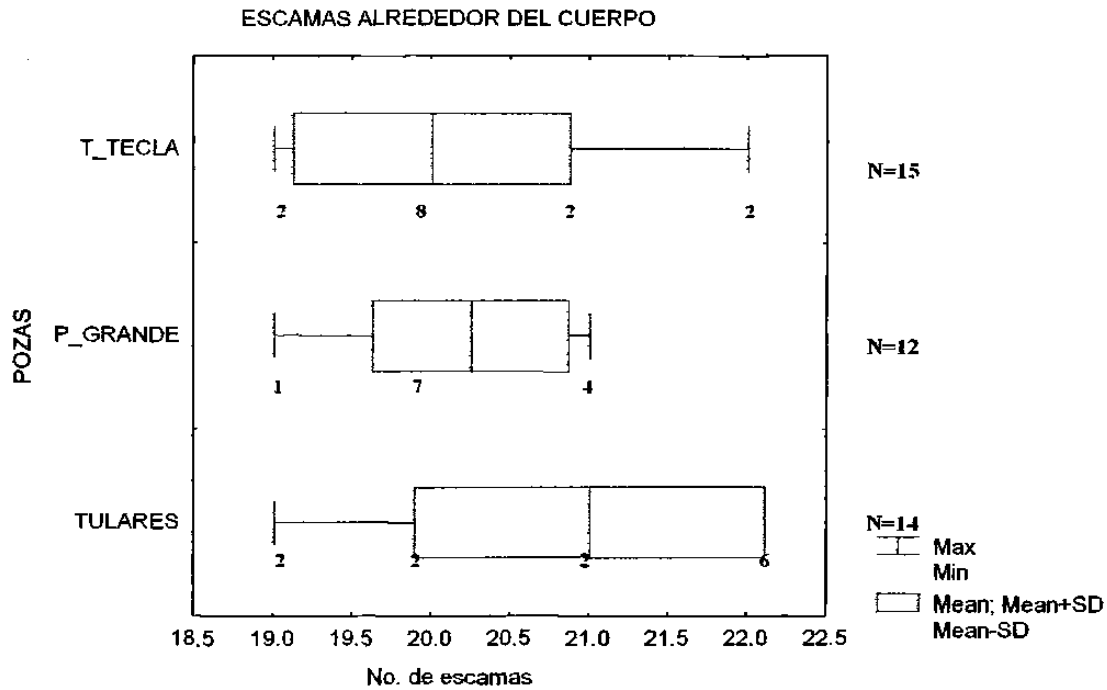


FIG. 124. Análisis gráfico de las escamas alrededor del cuerpo de *Xiphophorus gordonii* en milésimas de la longitud patrón en tres pozas. donde la línea base indica el rango, la línea vertical la media y el área clara la desviación estándar. el número bajo el rango es la distribución de frecuencias.

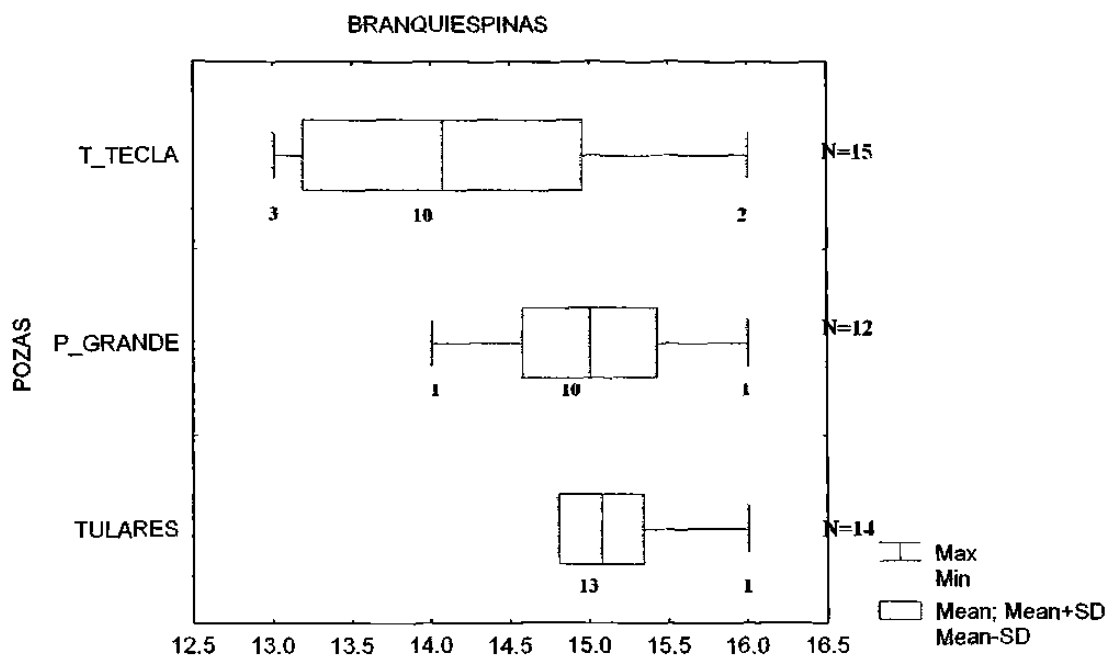


FIG. 125. Análisis gráfico de las branquiespinas del primer arco branquial de las hembras de la especie *Xiphophorus gordonii* en milésimas de la longitud patrón en tres pozas. la línea base indica el rango, la línea vertical la media y el área clara la desviación estándar, el número bajo el rango es la distribución de frecuencias.

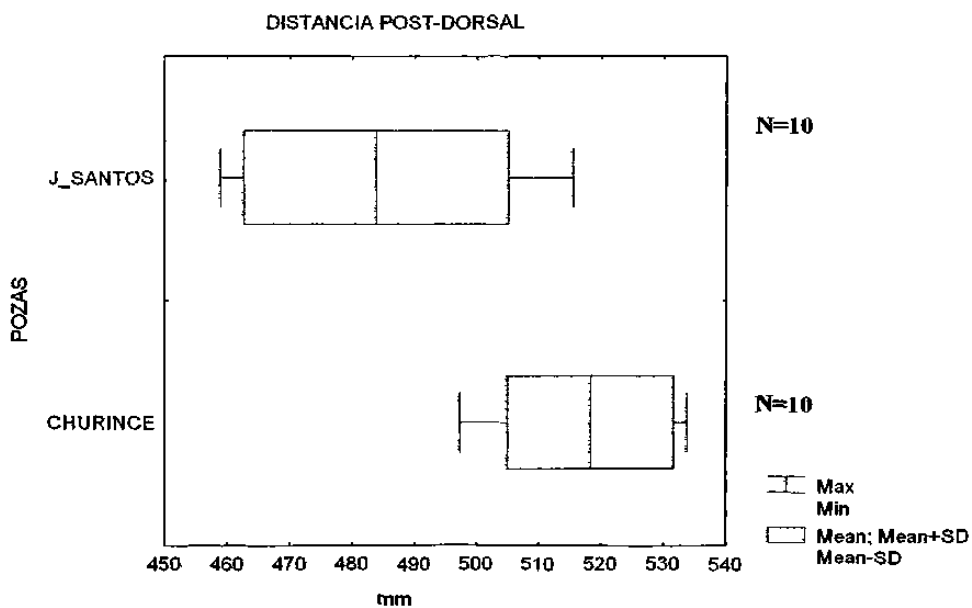


FIG. 126. Comparación de la distancia post-dorsal (DP2) de la especie *Cyprinodon bifasciatus* en milésimas de la longitud patrón en dos pozas. la línea base indica el rango, la línea vertical la media y el área clara la desviación estándar.

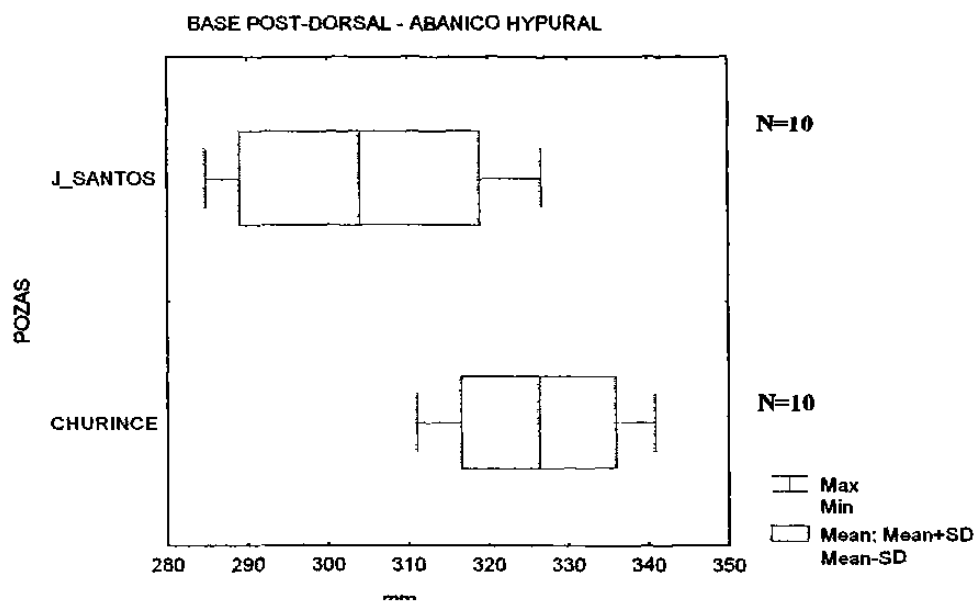


FIG. 127. Comparación de la base post-dorsal – abanico hypural (PDH) de la especie *Cyprinodon bifasciatus* en milésimas de la longitud patrón en dos pozas. la línea base indica el rango, la línea vertical la media y el área clara la desviación estándar.

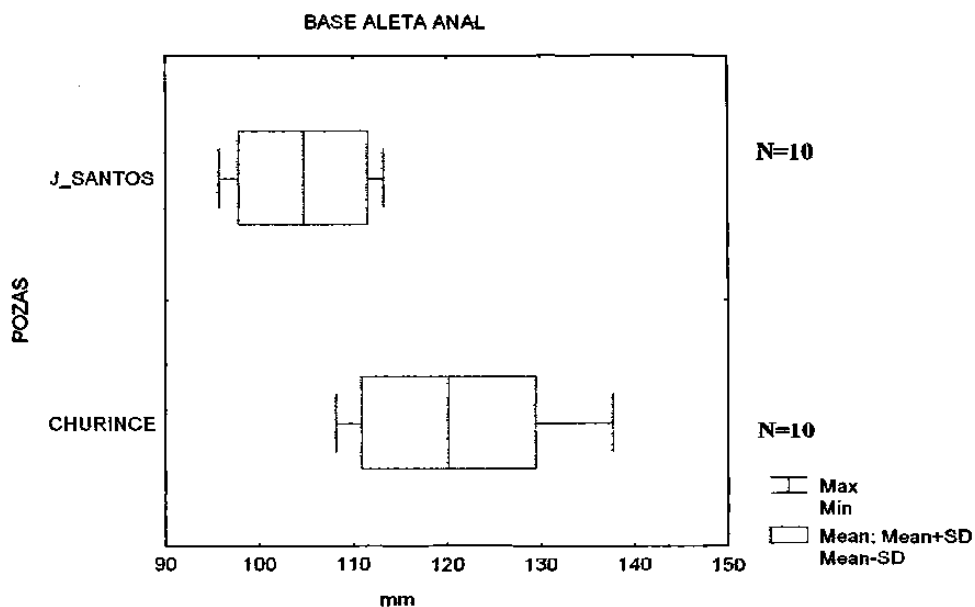


FIG. 128. Comparación de la base aleta anal (AA) de la especie *Cyprinodon bifasciatus* en milésimas de la longitud patrón en dos pozas. la línea base indica el rango, la línea vertical la media y el área clara la desviación estándar.

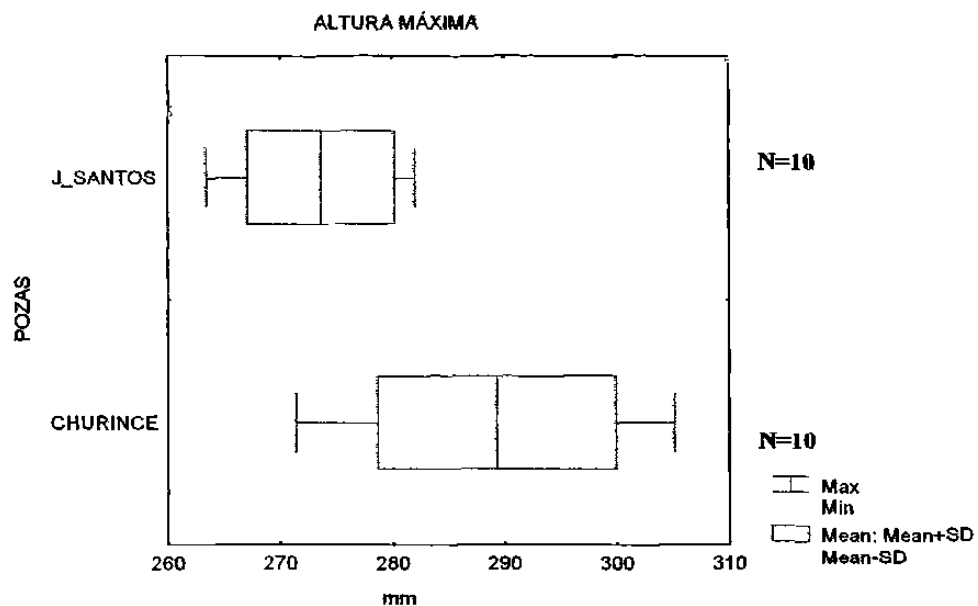


FIG. 129. Comparación de la altura máxima (AMA) de la especie *Cyprinodon bifasciatus* en milésimas de la longitud patrón en dos pozas, la línea base indica el rango, la línea vertical la media y el área clara la desviación estándar.

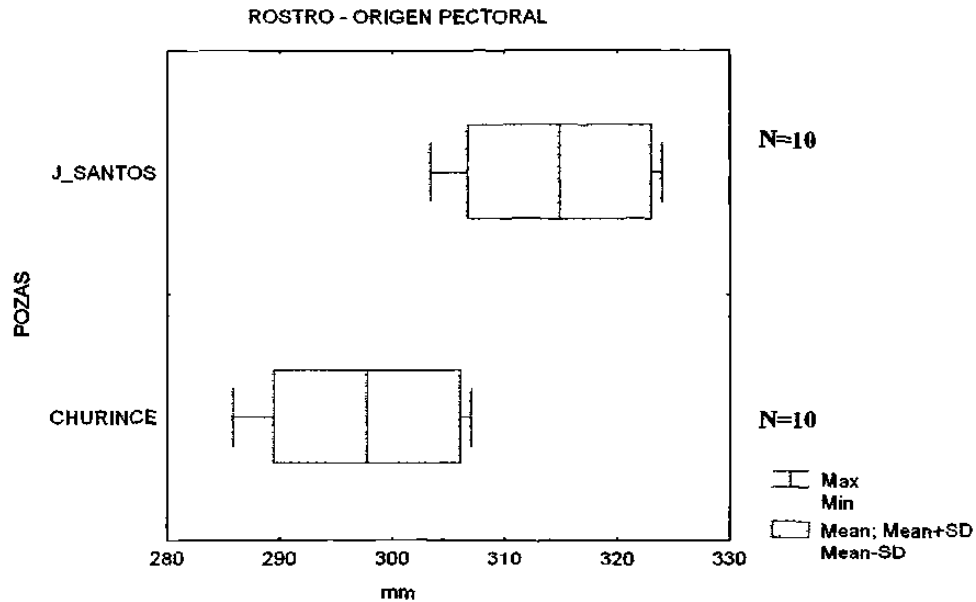


FIG. 130 Comparación del rostro - origen pectoral (RPI) de la especie *Cyprinodon bifasciatus* en milésimas de la longitud patrón en dos pozas, la línea base indica el rango, la línea vertical la media y el área clara la desviación estándar.

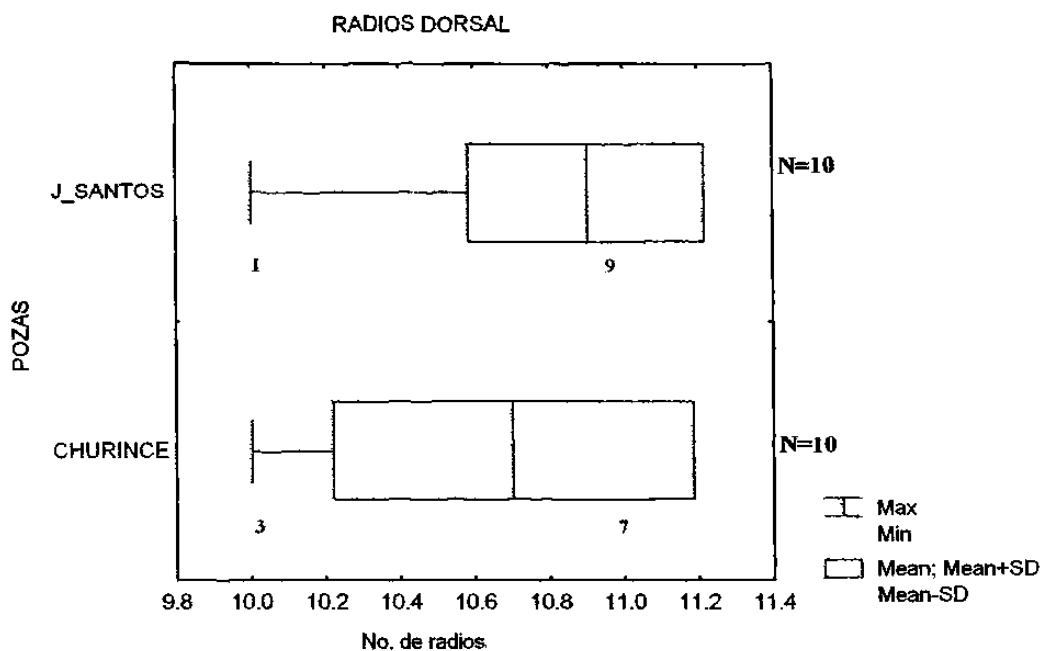


FIG. 131. Análisis gráfico del número de los radios de la aleta dorsal (RD) de la especie *Cyprinodon bifasciatus* en dos pozas, donde la línea base indica el rango, la línea vertical la media y el área clara la desviación estándar, el número bajo el rango es la distribución de frecuencias.

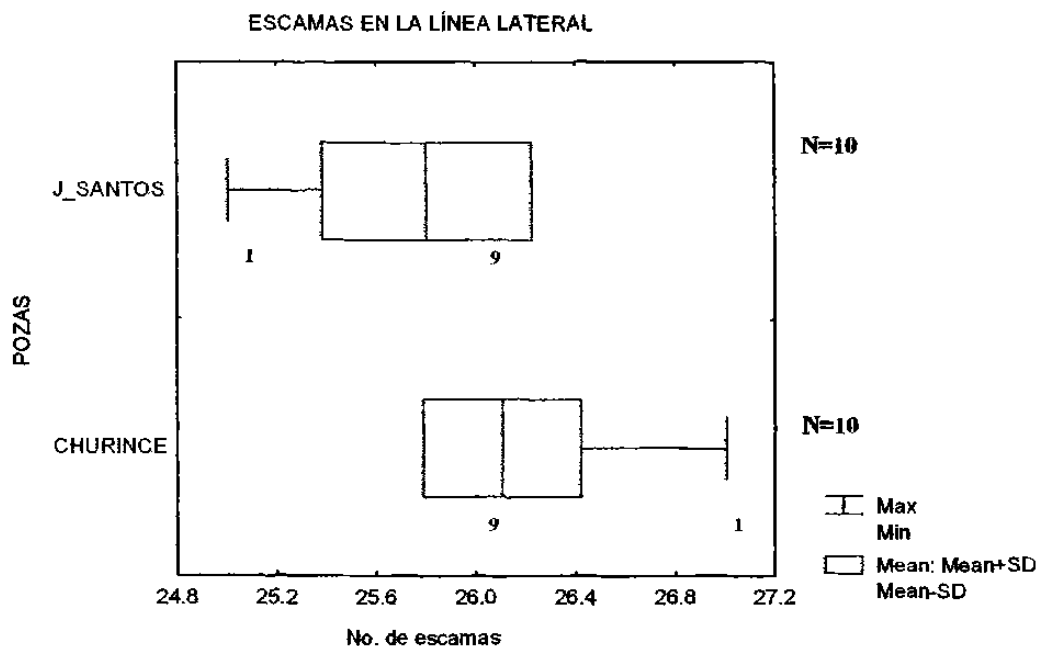


FIG. 132. Análisis gráfico del número de escamas en la línea lateral de la especie *Cyprinodon bifasciatus* en dos pozas, la línea base indica el rango, la línea vertical la media y el área clara la desviación estándar, el número bajo el rango es la distribución de frecuencias.

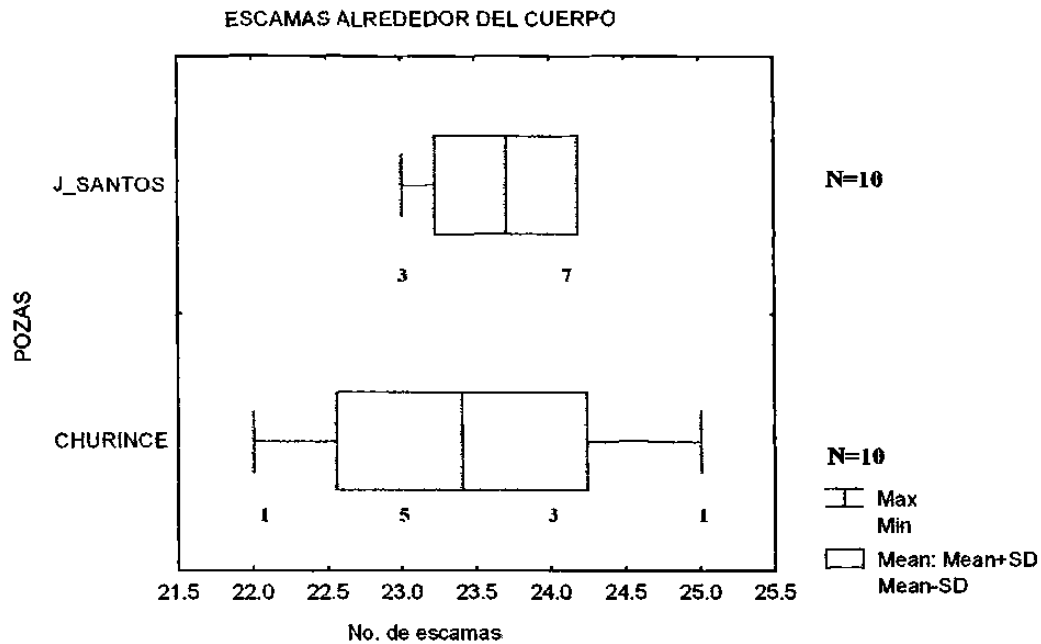


FIG. 133. Análisis gráfico del número de escamas alrededor del cuerpo de la especie *Cyprinodon bifasciatus* en dos pozas, la línea base indica el rango, la línea vertical la media y el área clara la desviación estándar, el número bajo el rango es la distribución de frecuencias.

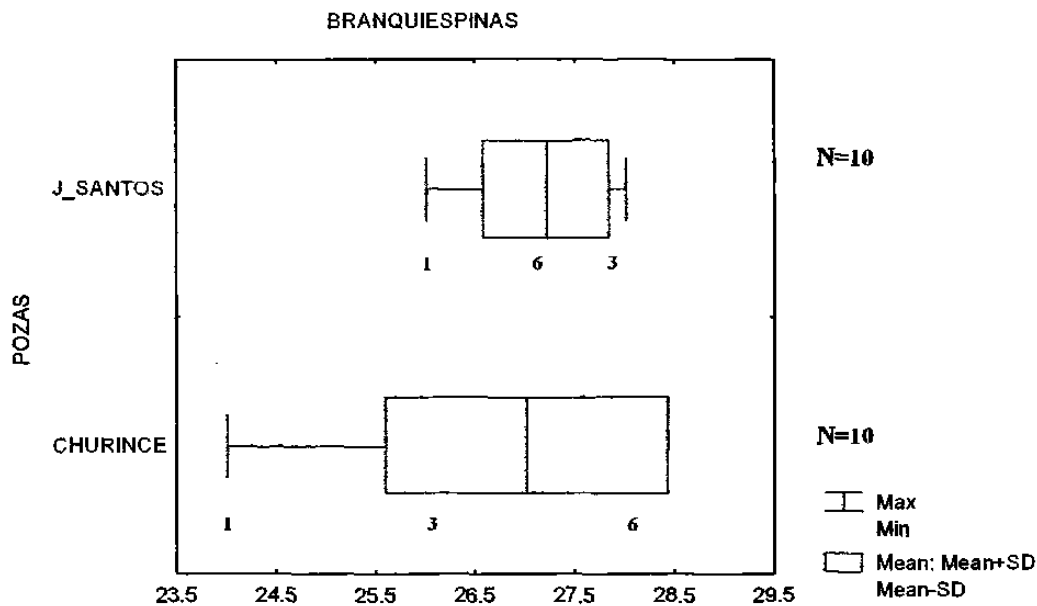


FIG. 134 Análisis gráfico de las branquiespinas en el primer arco branquial de la especie *Cyprinodon bifasciatus* en dos pozas, la línea base indica el rango, la línea vertical la media y el área clara la desviación estándar, el número bajo el rango es la distribución de frecuencias.

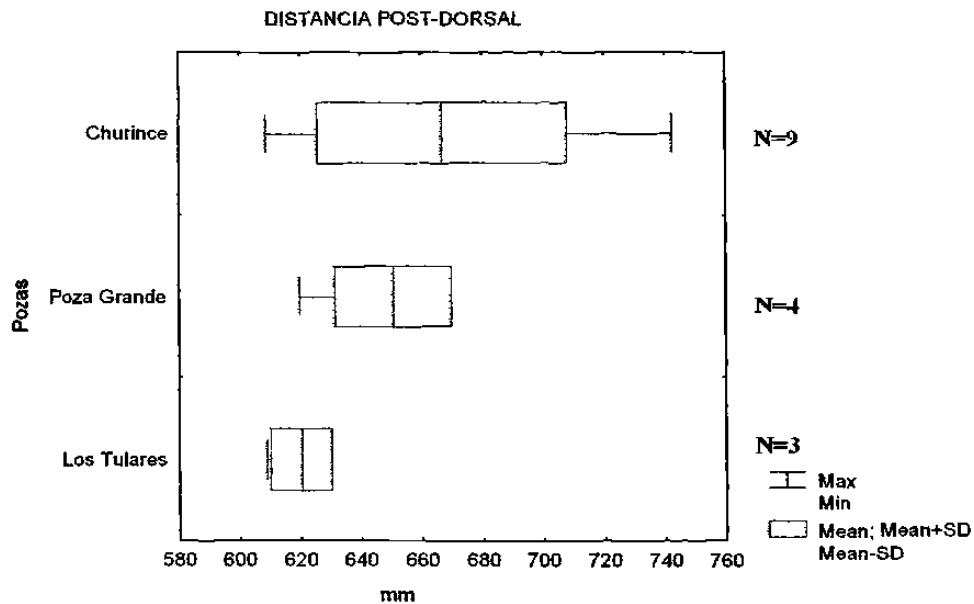


FIG. 135 Comparación de la distancia post-dorsal (DP2) de la especie *Lepomis cf. megalotis* en milésimas de la longitud patrón en tres pozas. la línea base indica el rango. la línea vertical la media y el área clara la desviación estándar.

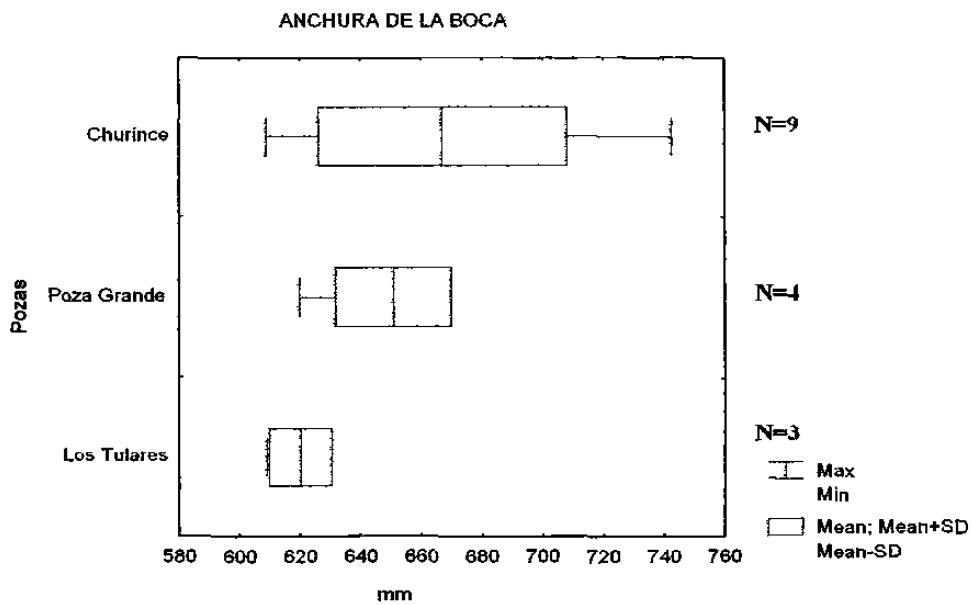


FIG. 136. Comparación de la anchura de la boca (AB) de la especie *Lepomis cf. megalotis* en milésimas de la longitud patrón en tres pozas. donde la línea base indica el rango. la línea vertical la media y el área clara la desviación estándar.

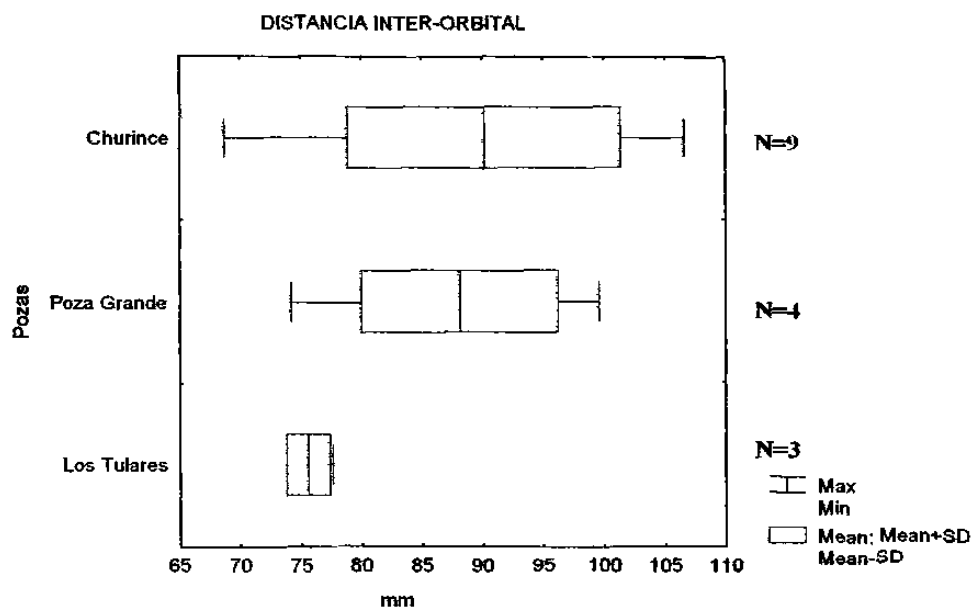


FIG. 137. Comparación de la distancia inter-orbital (IO) de la especie *Lepomis cf. megalotis* en milésimas de la longitud patrón en tres pozas. la línea base indica el rango. la línea vertical la media y el área clara la desviación estándar.

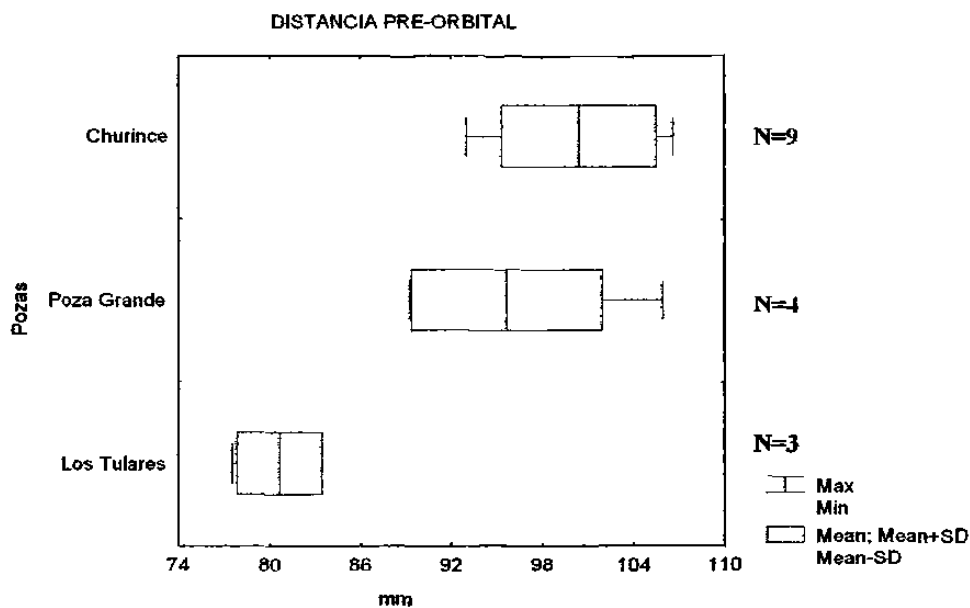


FIG. 138. Comparación de la distancia pre-orbital (PO1) de la especie *Lepomis* en milésimas de la longitud patrón en tres pozas. la línea base indica el rango. la línea vertical la media y el área clara la desviación estándar.

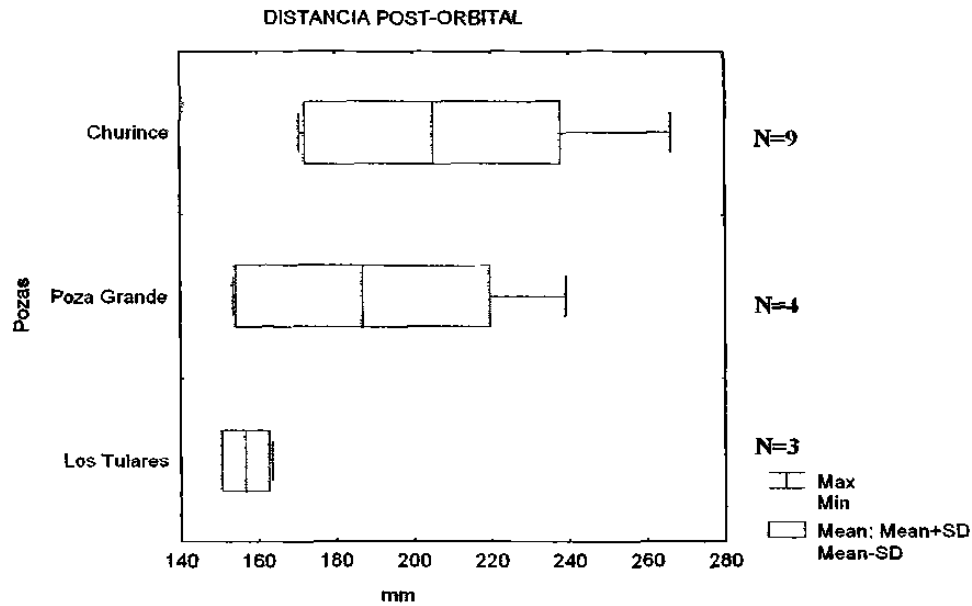


FIG. 139. Comparación de la distancia post-orbital (PO2) de la especie *Lepomis cf. megalotis* en milésimas de la longitud patrón en tres pozas. la línea base indica el rango, la línea vertical la media y el área clara la desviación estándar.

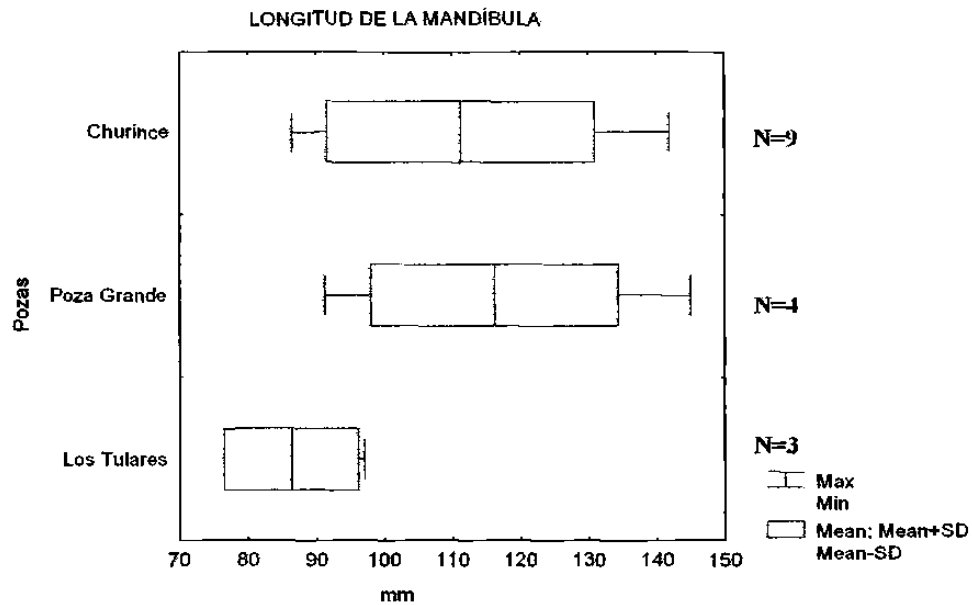


FIG. 140. Comparación de la longitud de la mandíbula (LMAN) de de la especie *Lepomis cf. megalotis* en milésimas de la longitud patrón en tres pozas. la línea base indica el rango, la línea vertical la media y el área clara la desviación estándar.

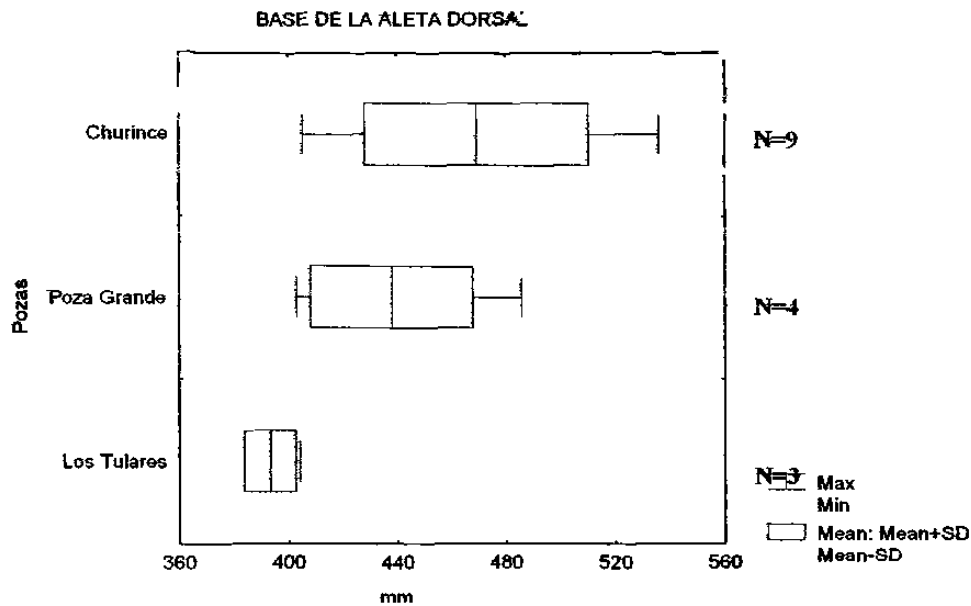


FIG. 141. Comparación de la base de la aleta dorsal (AD) de la especie *Lepomis cf. megalotis* en milésimas de la longitud patrón en tres pozas. la línea base indica el rango, la línea vertical la media y el área clara la desviación estándar.

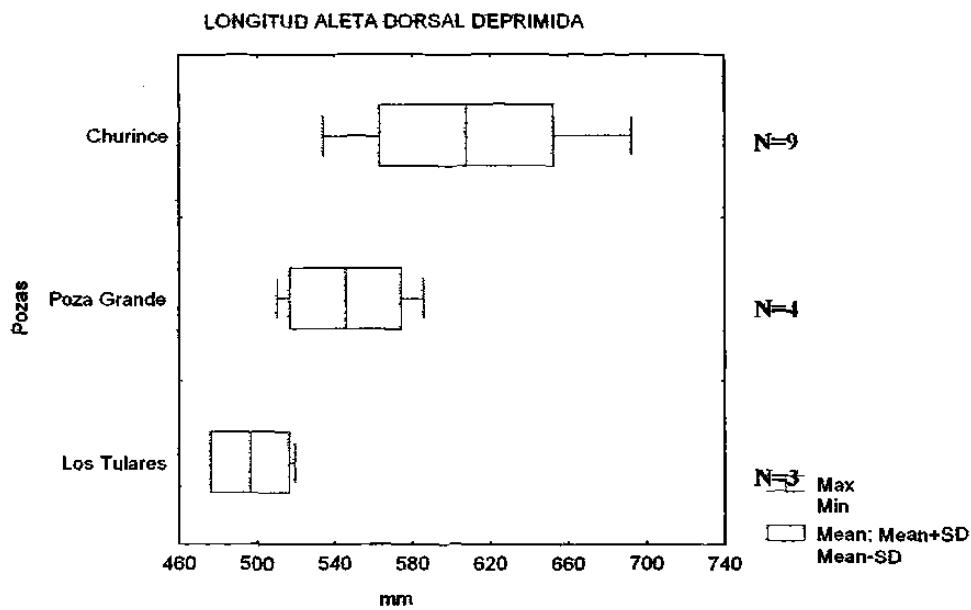


FIG. 142. Comparación de la longitud aleta dorsal deprimida (ADD) de la especie *Lepomis cf. megalotis* en milésimas de la longitud patrón en tres pozas. la línea base indica el rango, la línea vertical la media y el área clara la desviación estándar.

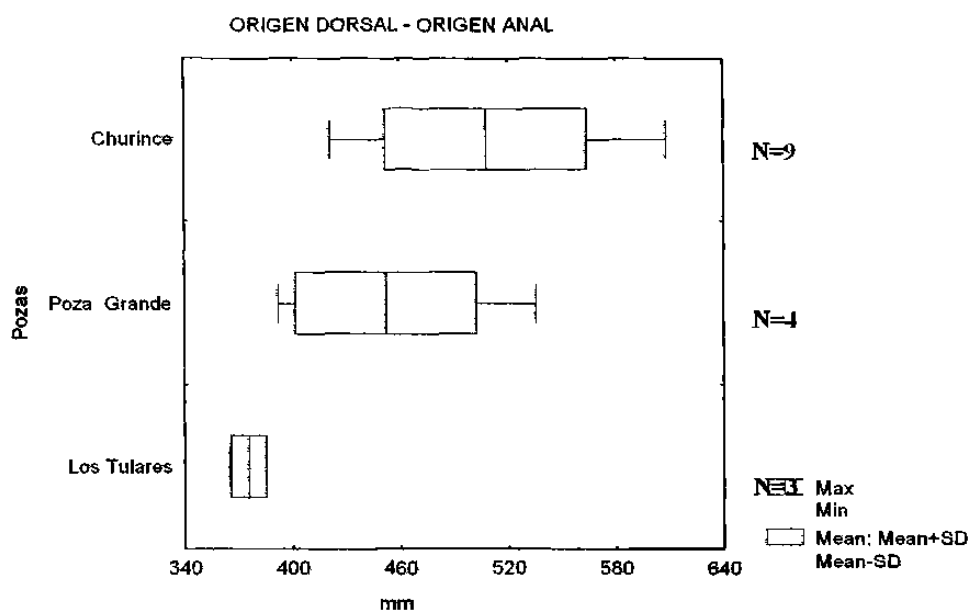


FIG. 143 Comparación del origen dorsal – origen anal (DA) de la especie *Lepomis cf. megalotis* en milésimas de la longitud patrón en tres pozas. la línea base indica el rango, la línea vertical la media y el área clara la desviación estándar.

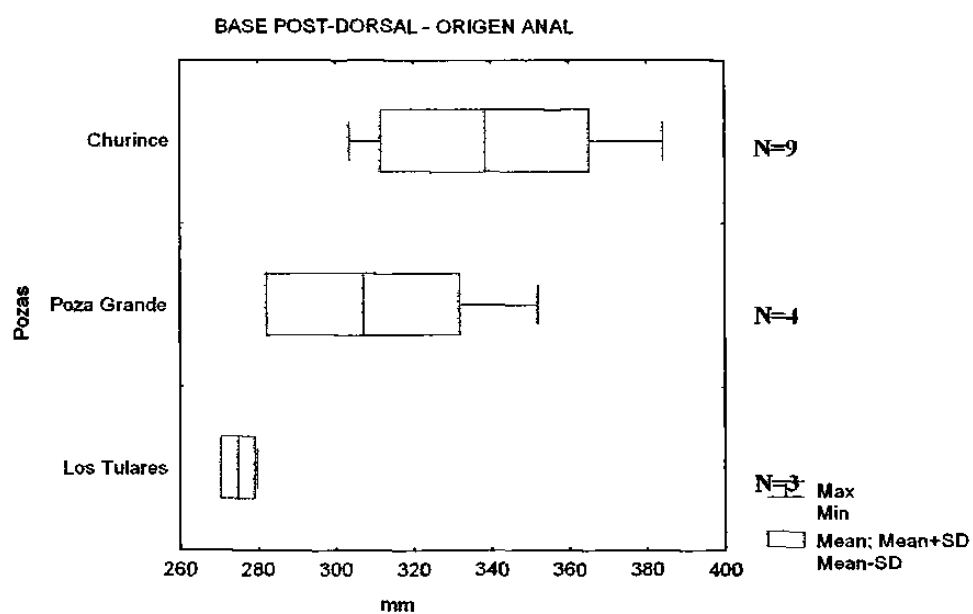


FIG. 144. Comparación de la base post-dorsal – origen anal (PDA) de la especie *Lepomis cf. megalotis* en milésimas de la longitud patrón en tres pozas. la línea base indica el rango, la línea vertical la media y el área clara la desviación estándar.

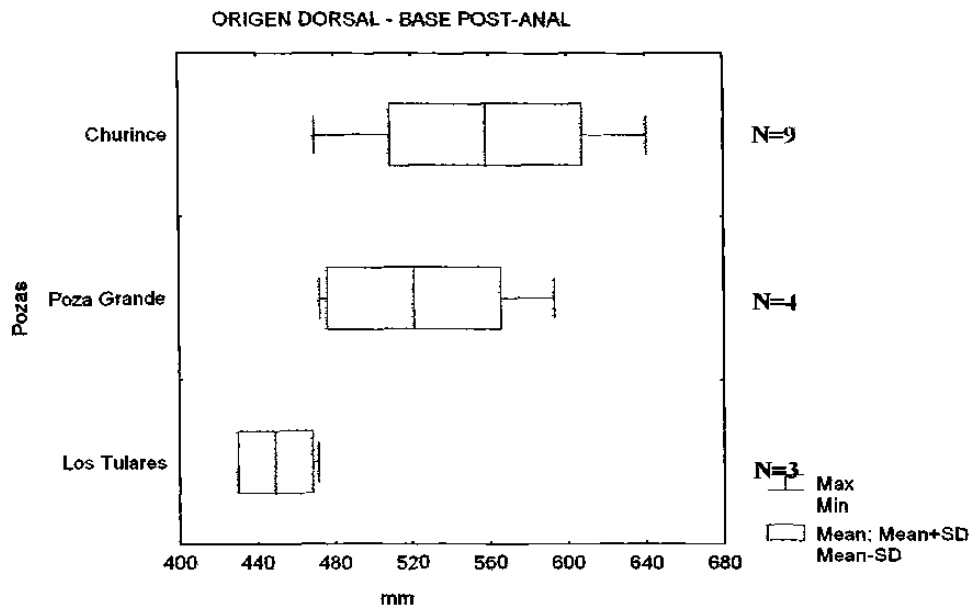


FIG. 145. Comparación del origen dorsal – base post-anal (DPA) de la especie *Lepomis cf. megalotis* en milésimas de la longitud patrón en tres pozas, la línea base indica el rango, la línea vertical la media y el área clara la desviación estándar.

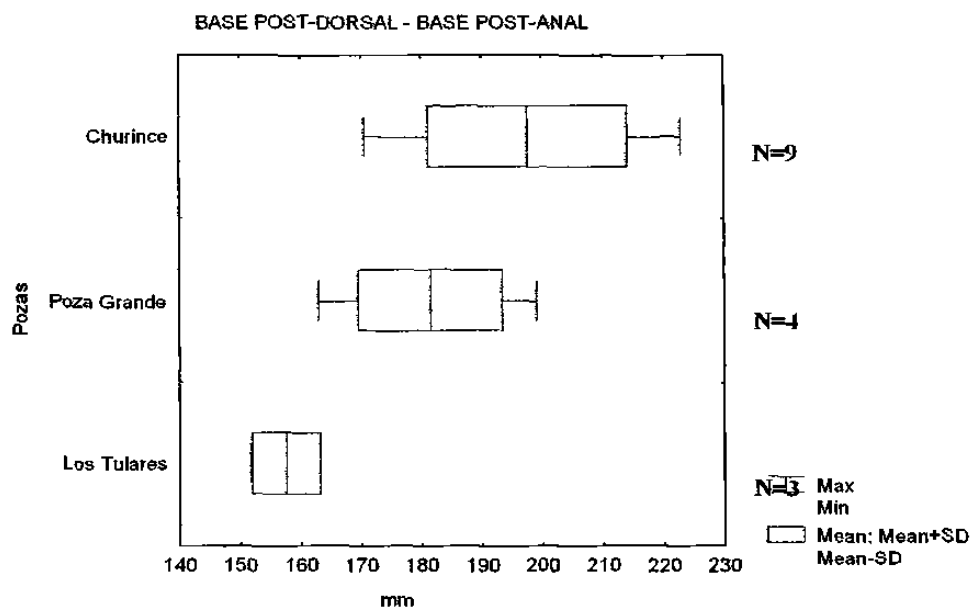


FIG. 146. Comparación de la base post-dorsal – base post-anal (PDPA) de la especie *Lepomis cf. megalotis* en milésimas de la longitud patrón en tres pozas, donde la línea base indica el rango, la línea vertical la media y el área clara la desviación estándar.

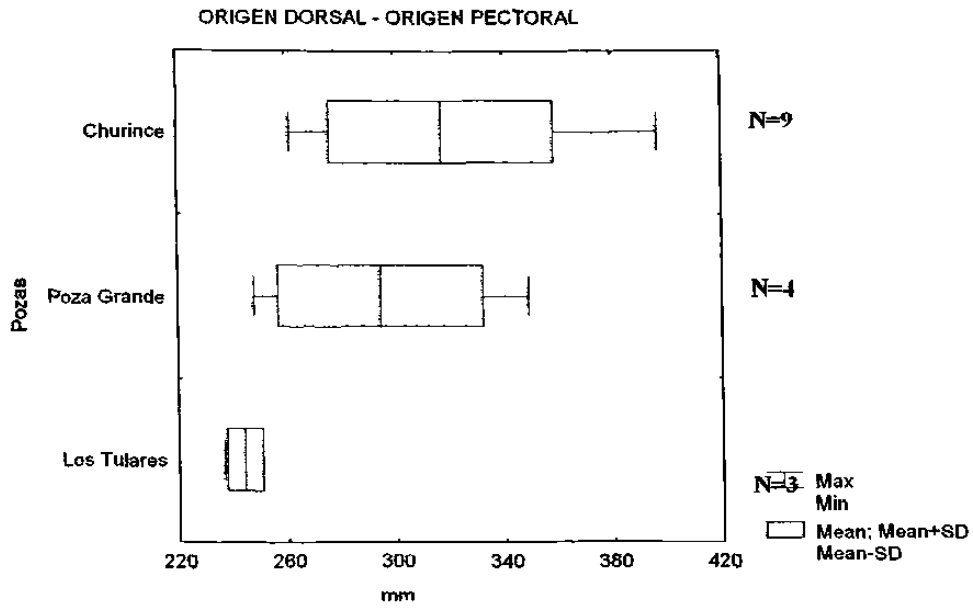


FIG. 147. Comparación del origen dorsal – origen pectoral (DOP) de la especie *Lepomis* en milésimas de la longitud patrón en tres pozas. la línea base indica el rango, la línea vertical la media y el área clara la desviación estándar.

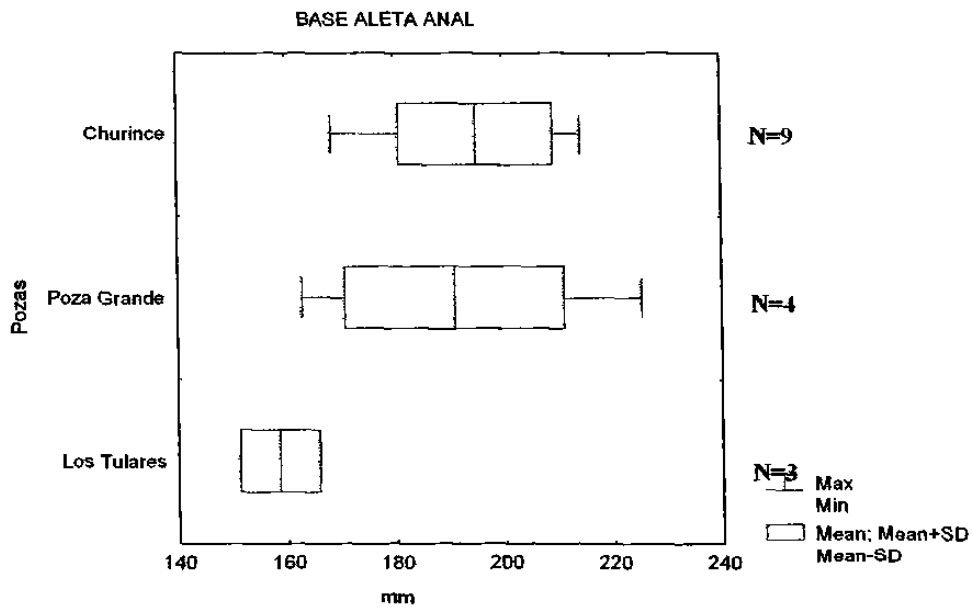


FIG. 148. Comparación de la base aleta anal (AA) de la especie *Lepomis cf. megalotis* en milésimas de la longitud patrón en tres pozas. la línea base indica el rango, la línea vertical la media y el área clara la desviación estándar.

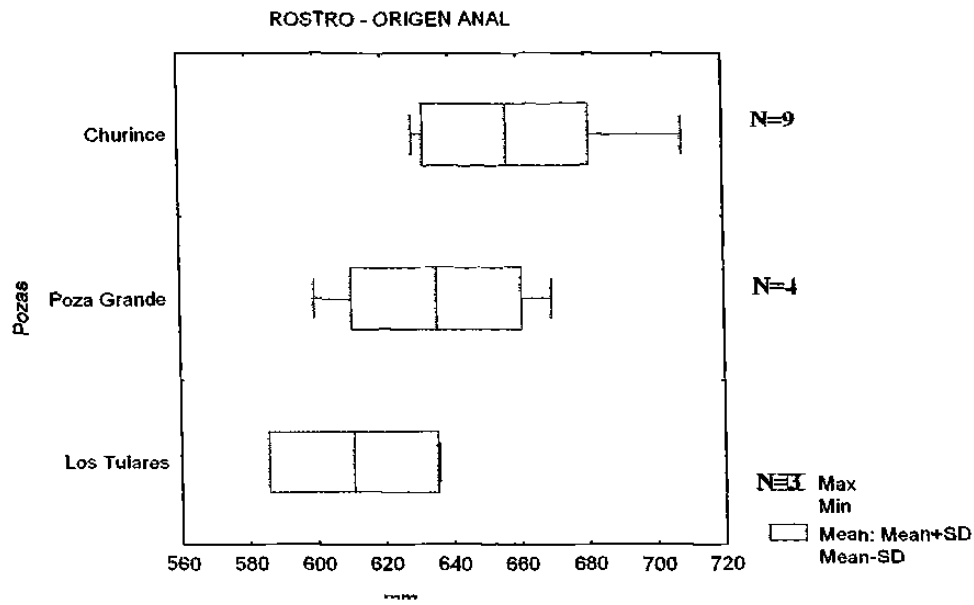


FIG. 149. Comparación del rostro – origen anal (RA) de la especie *Lepomis cf. megalotis* en milésimas de la longitud patrón en tres pozas. la línea base indica el rango, la línea vertical la media y el área clara la desviación estándar.

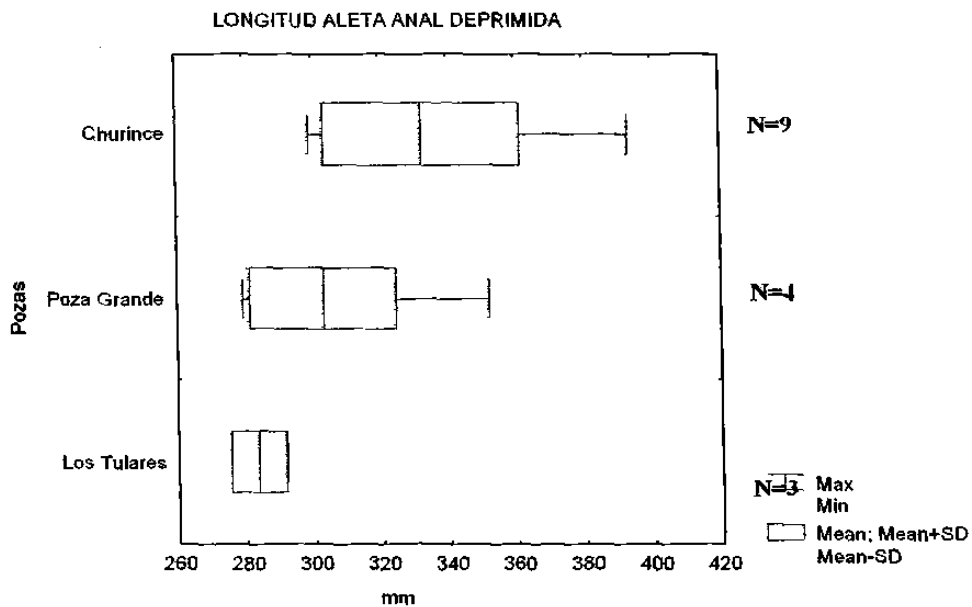


FIG. 150. Comparación de la longitud aleta anal deprimida (LAAD) de la especie *Lepomis cf. megalotis* en milésimas de la longitud patrón en tres pozas. la línea base indica el rango, la línea vertical la media y el área clara la desviación estándar.

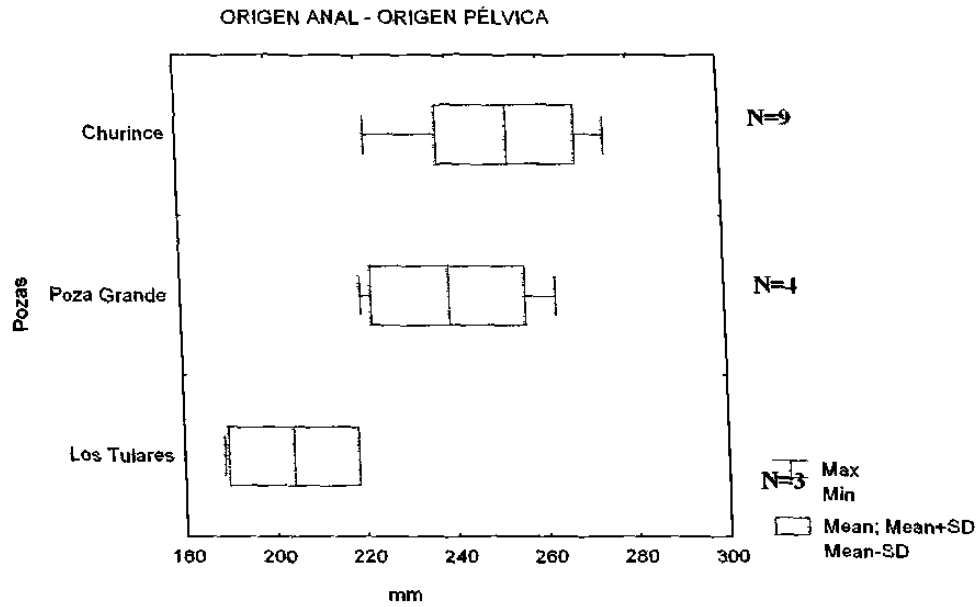


FIG. 151. Comparación del origen anal – origen pélvica (AP2) de la especie *Lepomis cf. megalotis* en milésimas de la longitud patrón en tres pozas. la línea base indica el rango, la línea vertical la media y el área clara la desviación estándar.

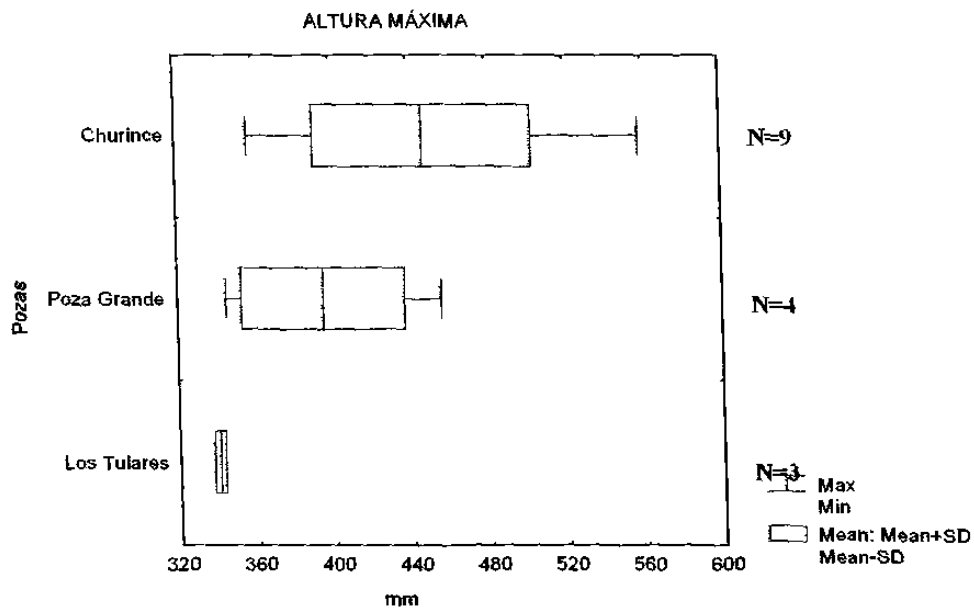


FIG. 152. Comparación de la altura máxima (AMA) de la especie *Lepomis cf. megalotis* en milésimas de la longitud patrón en tres pozas. la línea base indica el rango, la línea vertical la media y el área clara la desviación estándar.

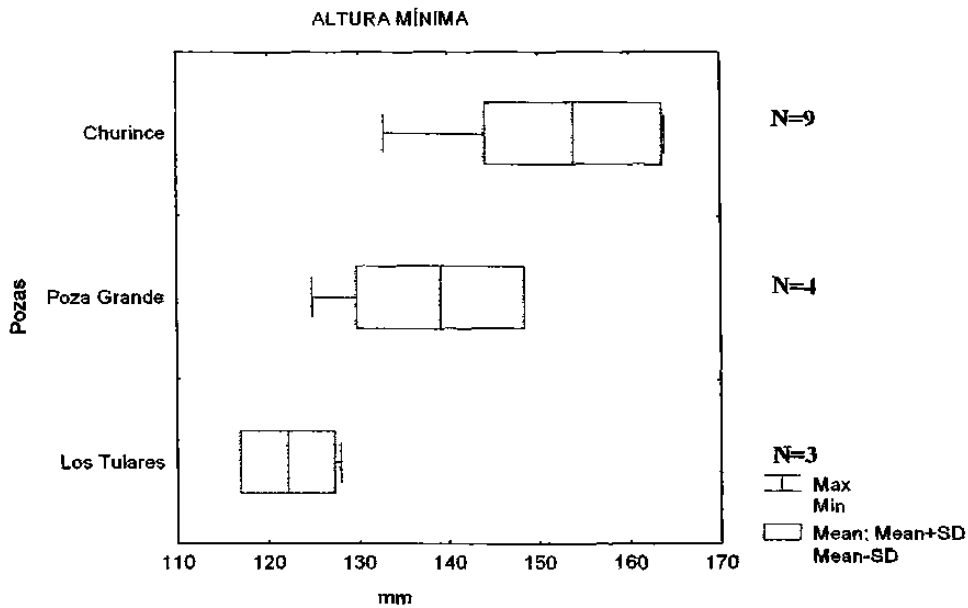


FIG. 153. Comparación de la altura mínima (AMI) de *Lepomis cf. megalotis* en milésimas de la longitud patrón en tres pozas. la línea base indica el rango. la línea vertical la media y el área clara la desviación estándar.

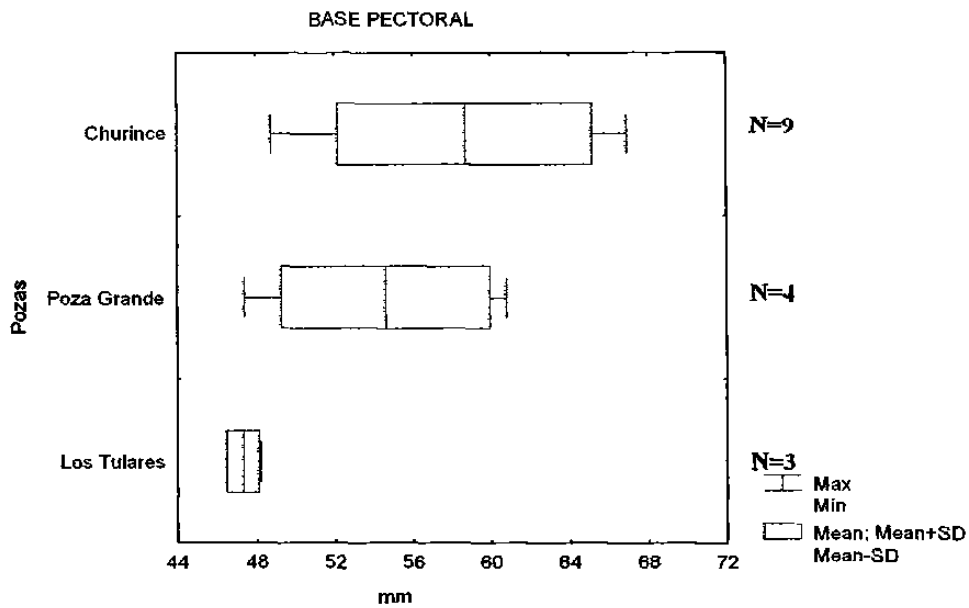


FIG. 154. Comparación de la base pectoral (BP1) de *Lepomis cf. megalotis* en milésimas de la longitud patrón en tres pozas. la línea base indica el rango. la línea vertical la media y el área clara la desviación estándar.

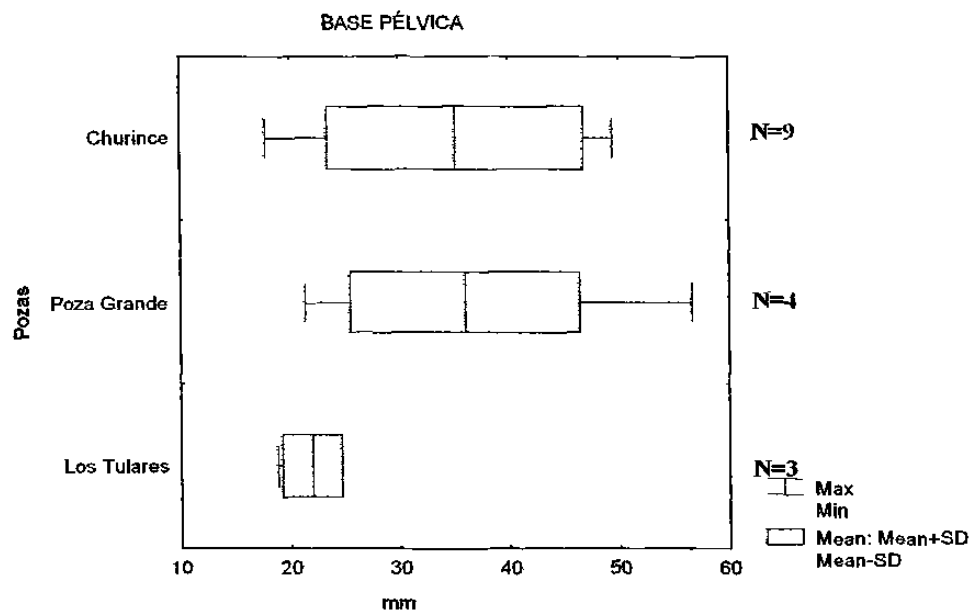


FIG. 155 Comparación base pélvica (BP2) de la especie *Lepomis cf. megalotis* en milésimas de la longitud patrón en tres pozas, donde la línea base indica el rango, la línea vertical la media y el área clara la desviación estándar.

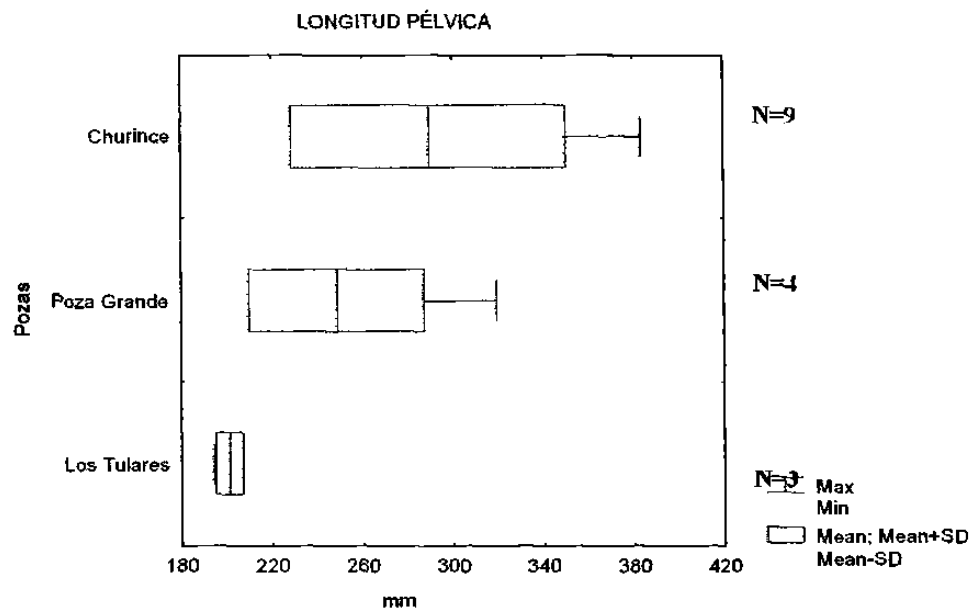


FIG. 156. Comparación longitud pélvica (LP2) de *Lepomis cf. megalotis* en milésimas de la longitud patrón en tres pozas, la línea base indica el rango, la línea vertical la media y el área clara la desviación estándar.

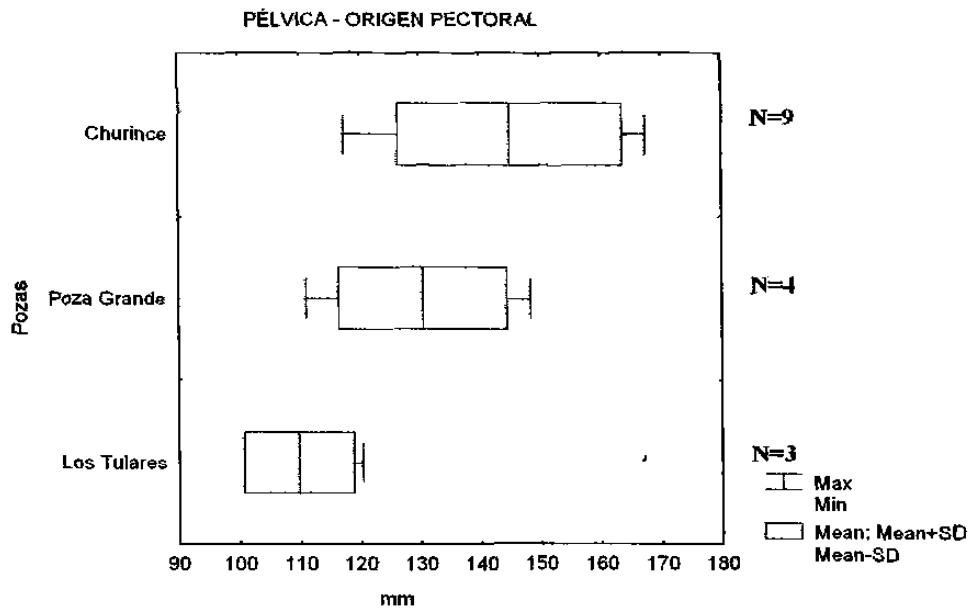


FIG. 157. Comparación de la pélvica – origen pectoral (PIP2) de la especie *Lepomis cf. megalotis* en milésimas de la longitud patrón en tres pozas. la línea base indica el rango. la línea vertical la media y el área clara la desviación estándar.

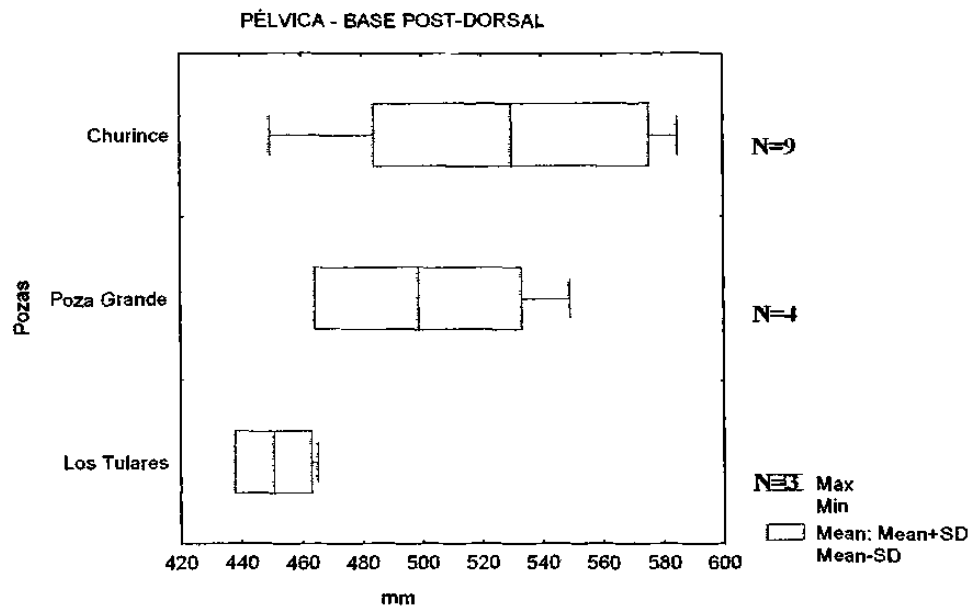


FIG. 158. Comparación de la pélvica – base post-dorsal (PPD) de la especie *Lepomis cf. megalotis* en milésimas de la longitud patrón en tres pozas. la línea base indica el rango. la línea vertical la media y el área clara la desviación estándar.

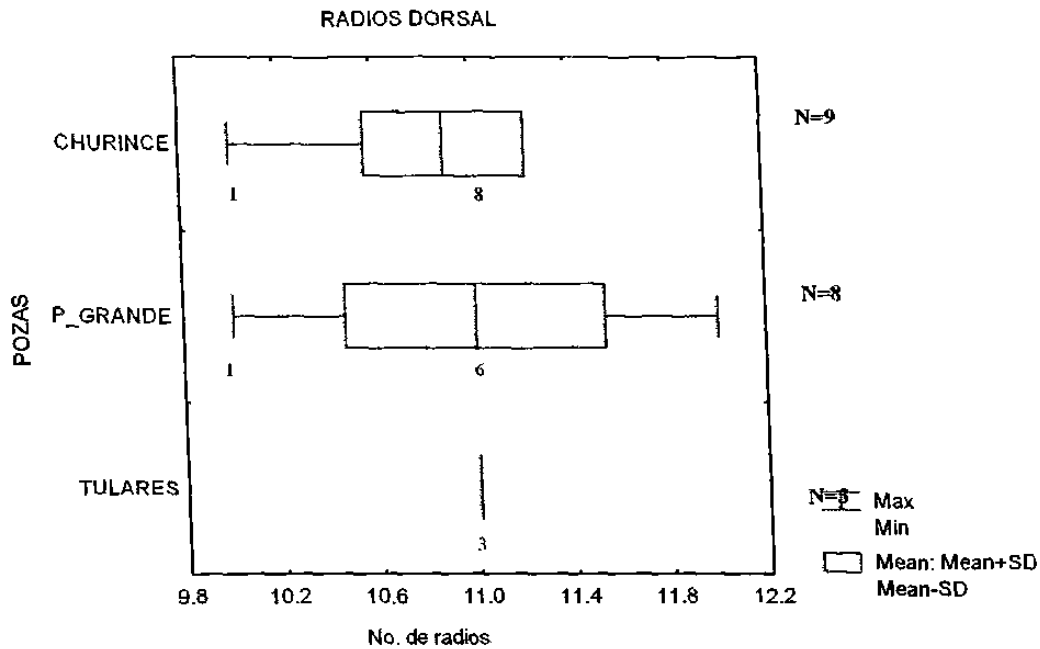


FIG. 159. Análisis gráfico del número de los radios de la aleta dorsales de la especie *Lepomis cf. megalotis* en tres pozas. la línea base indica el rango. la línea vertical la media y el área clara la desviación estándar. el número bajo el rango es la distribución de frecuencias.

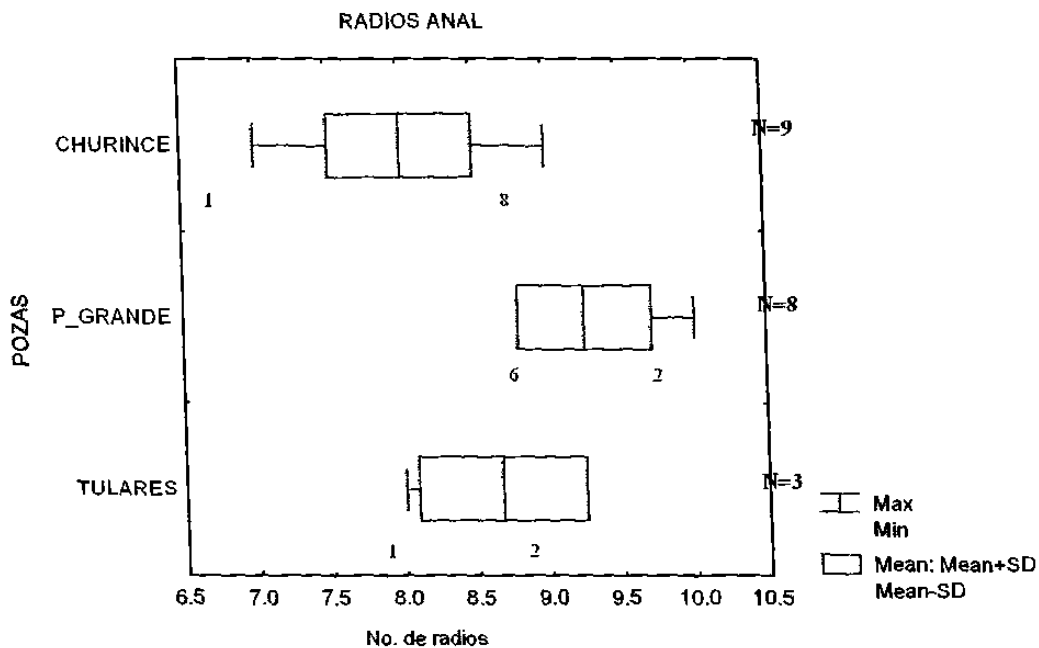


FIG. 160. Análisis gráfico del número de los radios anal de la especie *Lepomis cf. megalotis* en tres pozas. la línea base indica el rango. la línea vertical la media y el área clara la desviación estándar. el número bajo el rango es la distribución de frecuencias.

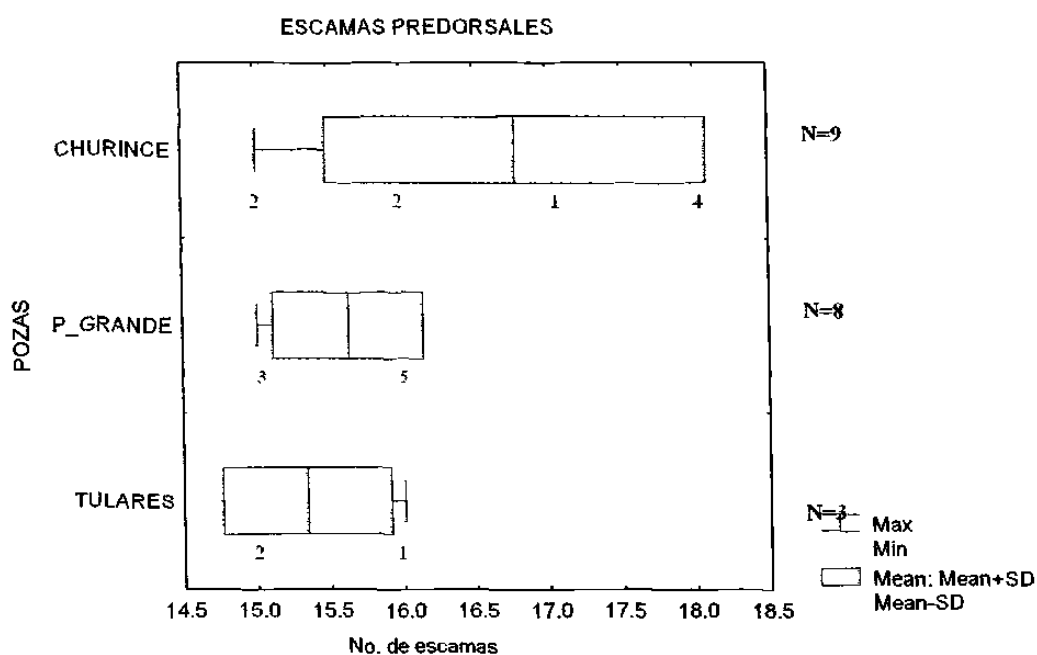


FIG. 161. Análisis gráfico del número de las escamas predorsales *Lepomis cf. megalotis* en tres pozas, donde la línea base indica el rango, la línea vertical la media y el área clara la desviación estándar, el número bajo el rango es la distribución de frecuencias.

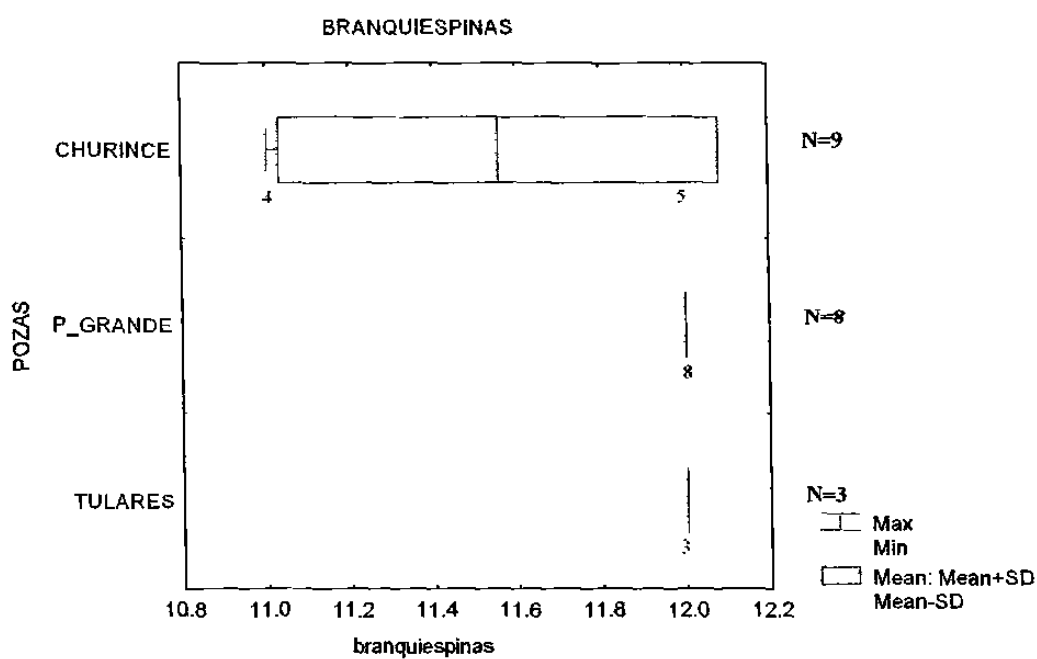


FIG. 162. Análisis gráfico del número de las branquiespinas del primer arco branquial de la especie *Lepomis cf. megalotis* en tres pozas, la línea base indica el rango, la línea vertical la media y el área clara la desviación estándar, el número bajo el rango es la distribución de frecuencias.

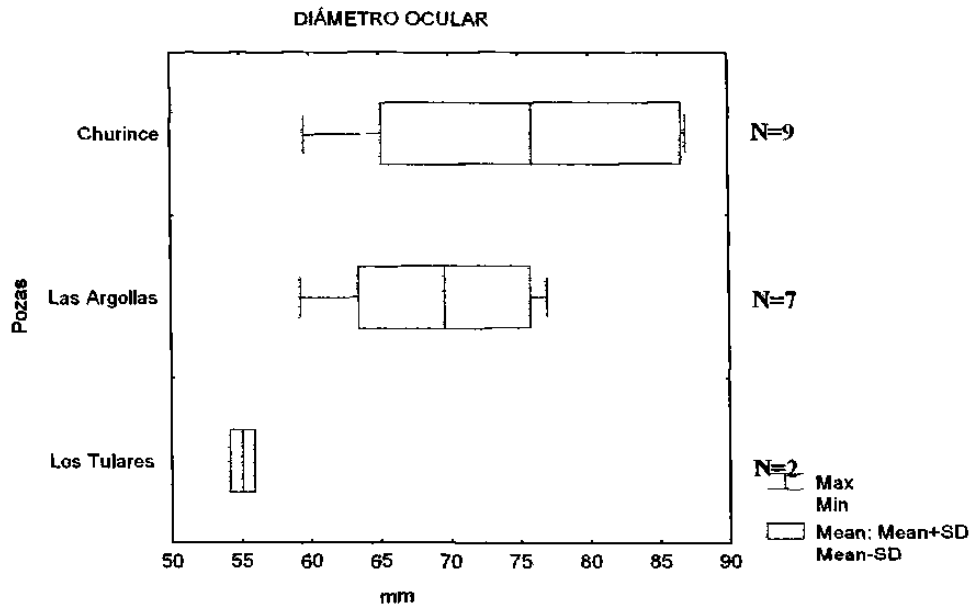


FIG. 163. Comparación del diámetro ocular (DO) de la especie *Micropterus cf. salmoides* en milésimas de la longitud patrón en tres pozas. la línea base indica el rango. la línea vertical la media y el área clara la desviación estándar.

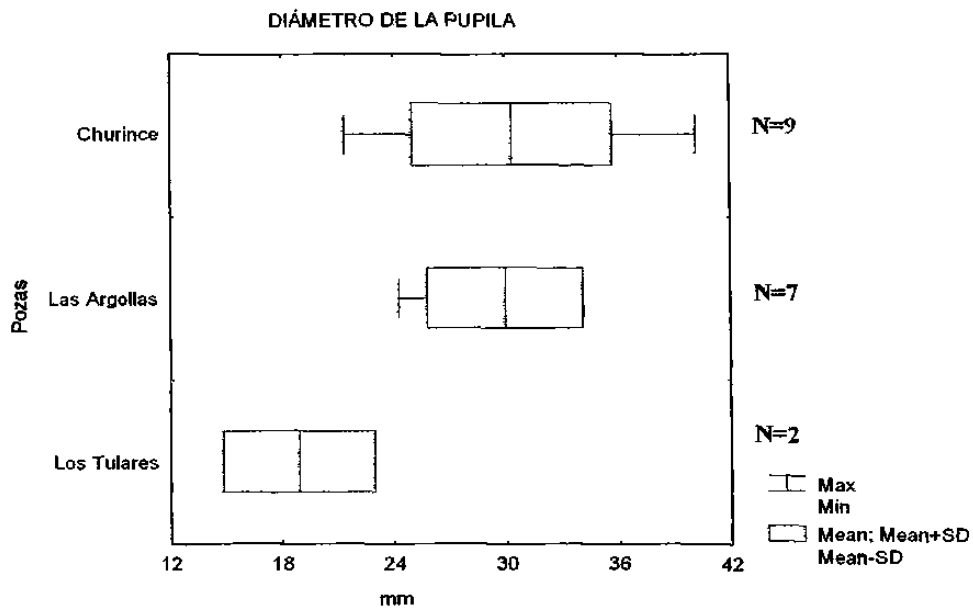


FIG. 164. Comparación del diámetro de la pupila (DP) de la especie *Micropterus* en milésimas de la longitud patrón en tres pozas. la línea base indica el rango. la línea vertical la media y el área clara la desviación estándar.

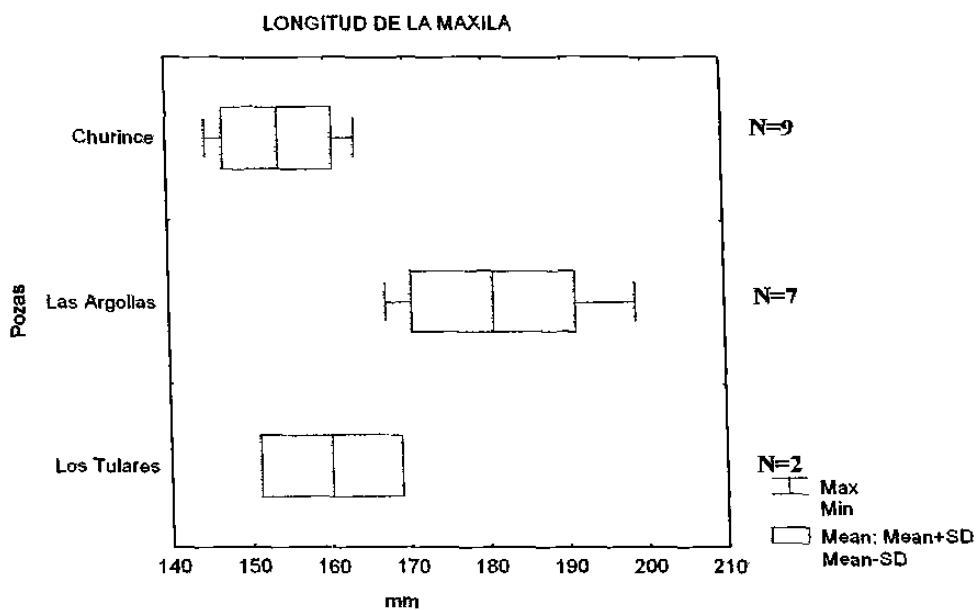


FIG. 165. Comparación de longitud de la maxila (LM) de la especie *Micropterus cf. megalotis* en milésimas de la longitud patrón en tres pozas. la línea base indica el rango. la línea vertical la media y el área clara la desviación estándar.

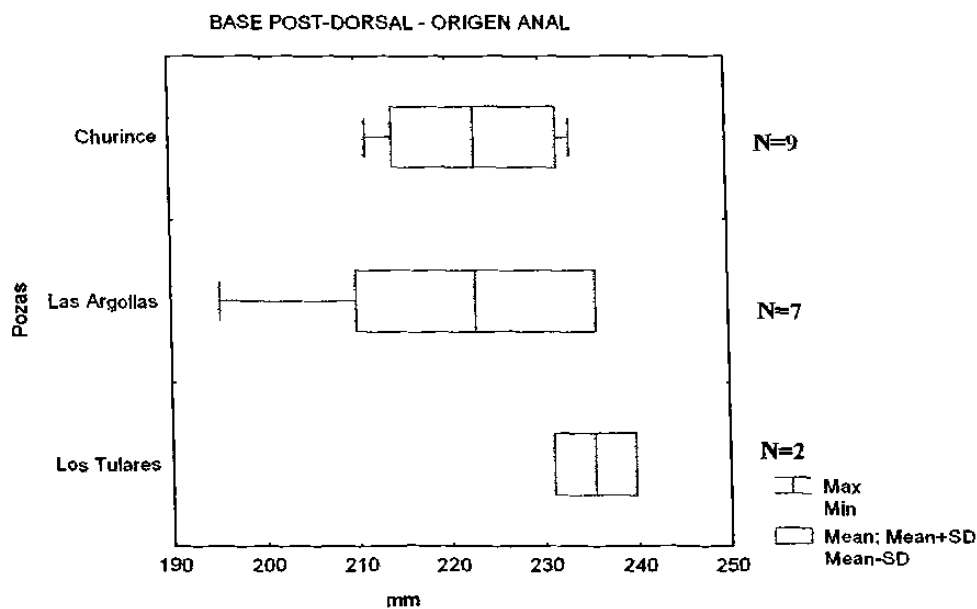


FIG. 166. Comparación de la base post-dorsal - origen anal (PDA) de la especie *Micropterus cf. megalotis* en milésimas de la longitud patrón en tres pozas. donde la línea base indica el rango. la línea vertical la media y el área clara la desviación estándar.

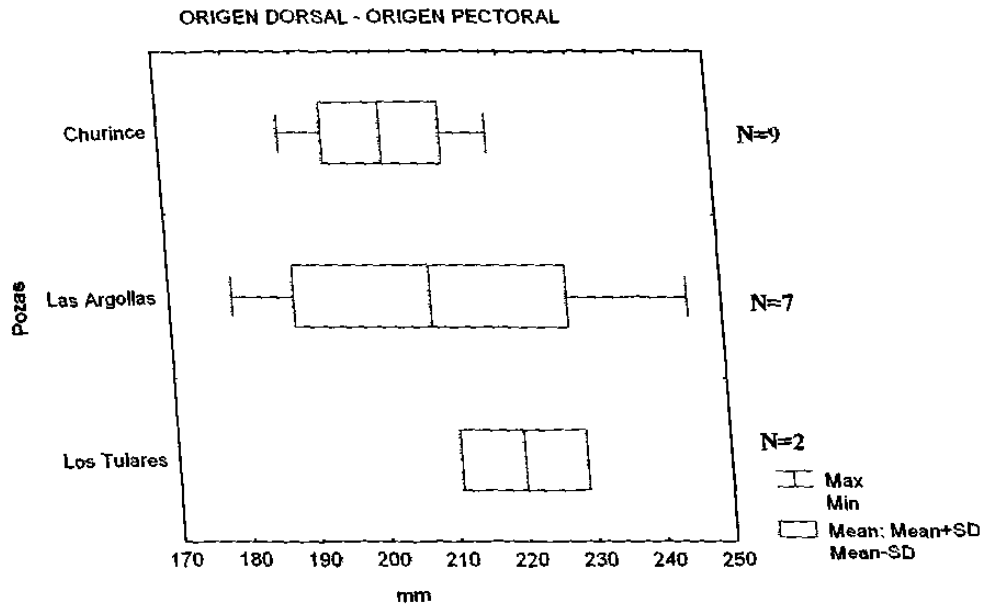


FIG. 167. Comparación del origen dorsal ~ origen pectoral (DOP) de *Micropterus cf. salmoides* en milésimas de la longitud patrón en tres pozas. la línea base indica el rango, la línea vertical la media y el área clara la desviación estándar.

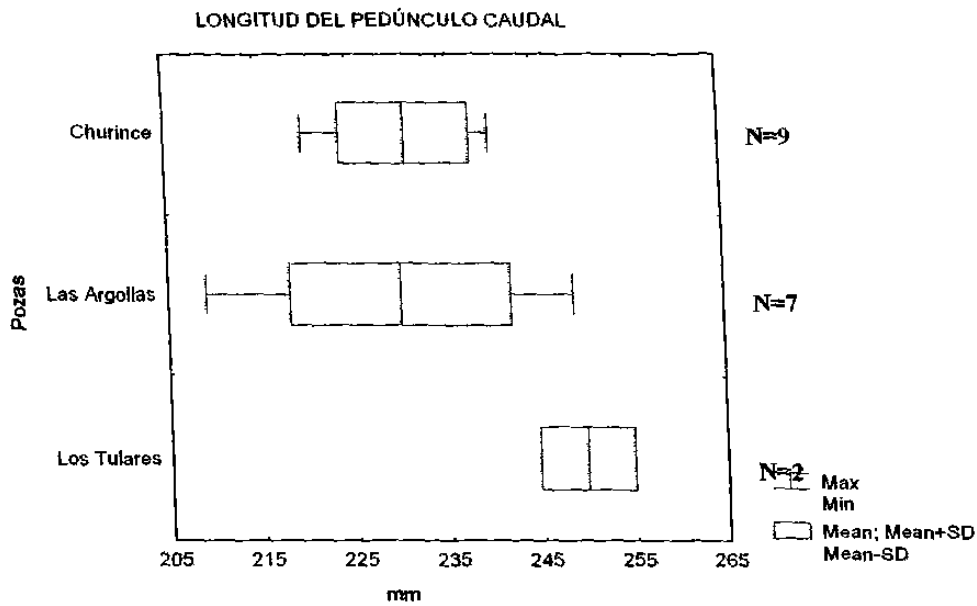


FIG. 168. Comparación de la longitud del pedúnculo caudal (LPC) de de la especie *Micropterus cf. megalotis* en milésimas de la longitud patrón en tres pozas. la línea base indica el rango, la línea vertical la media y el área clara la desviación estándar.

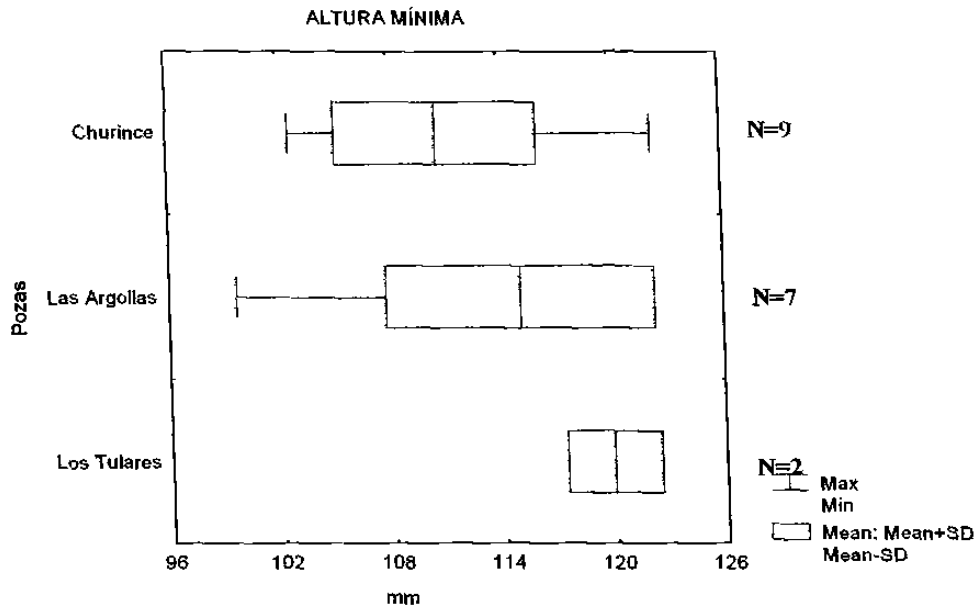


FIG. 169. Comparación de la altura mínima (AMI) de la especie *Micropterus cf. megalotis* en milésimas de la longitud patrón en tres pozas, la línea base indica el rango, la línea vertical la media y el área clara la desviación estándar.

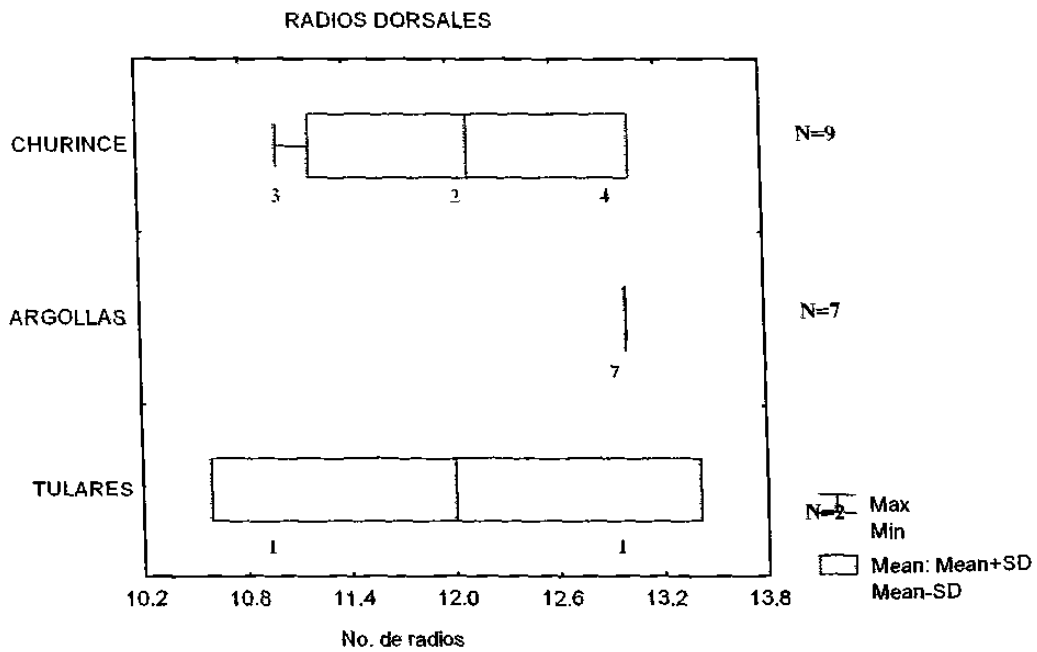


FIG. 170. Análisis gráfico del número de los radios de la aleta dorsal de la especie *Micropterus cf. megalotis* en tres pozas, la línea base indica el rango, la línea vertical la media y el área clara la desviación estándar, el número bajo el rango es la distribución de frecuencias.

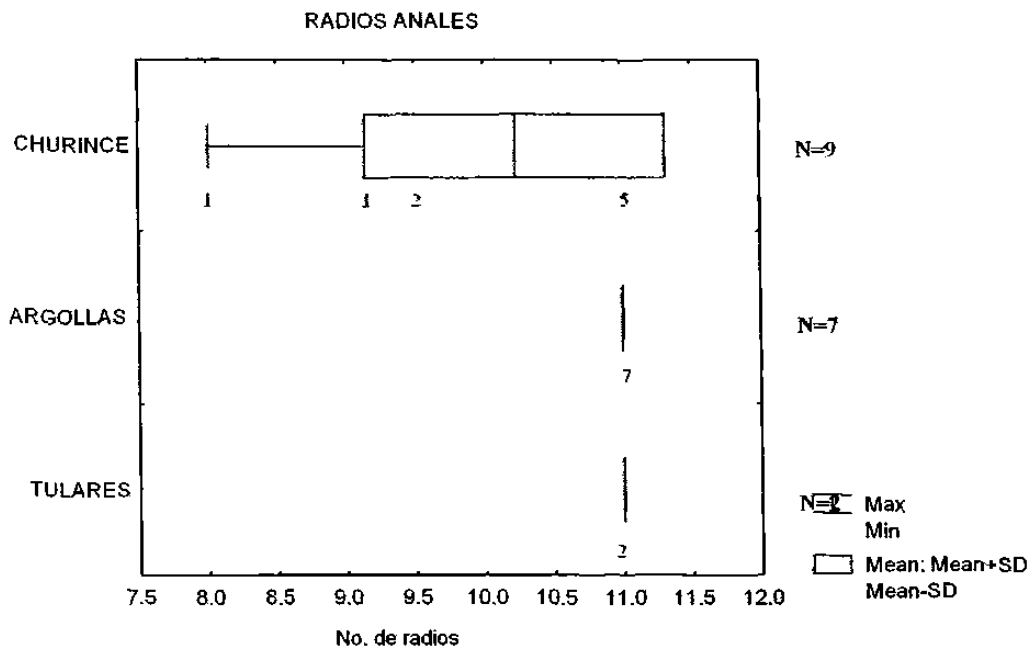


FIG. 171. Análisis gráfico del número de los radios anal de los de radios anales de la especie *Micropterus cf. salmoides* en tres pozas, donde la línea base indica el rango, la línea vertical la media y el área clara la desviación estándar, número bajo el rango es la distribución de frecuencias.

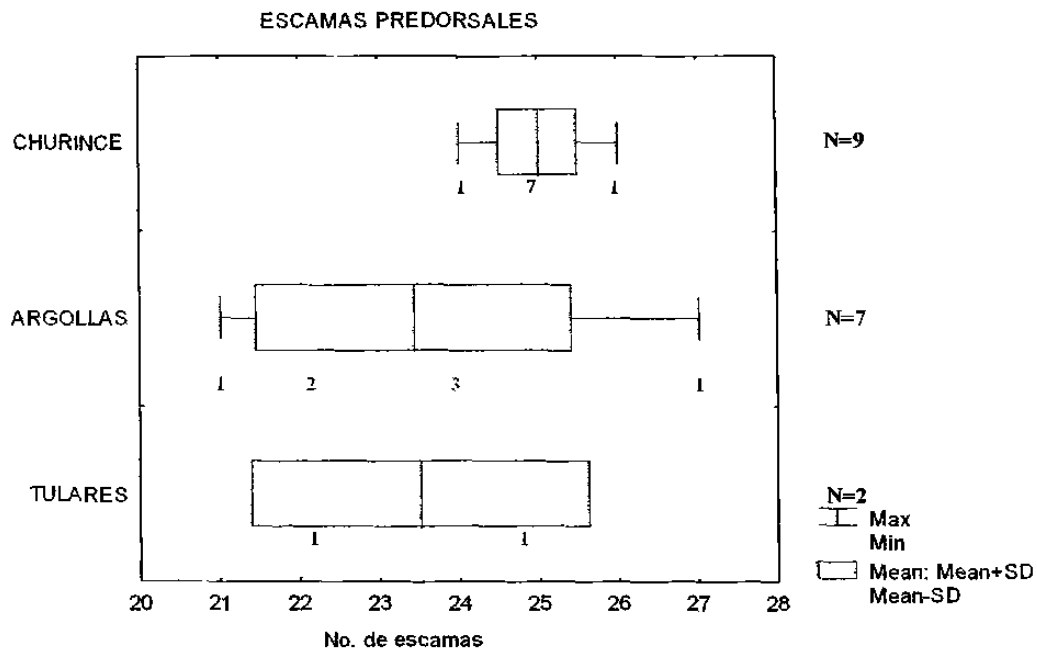


FIG. 172 Análisis gráfico del número de las escamas predorsales de la especie *Micropterus cf. salmoides* en tres pozas, la línea base indica el rango, la línea vertical la media y el área clara la desviación estándar, el número bajo el rango es la distribución de frecuencias.

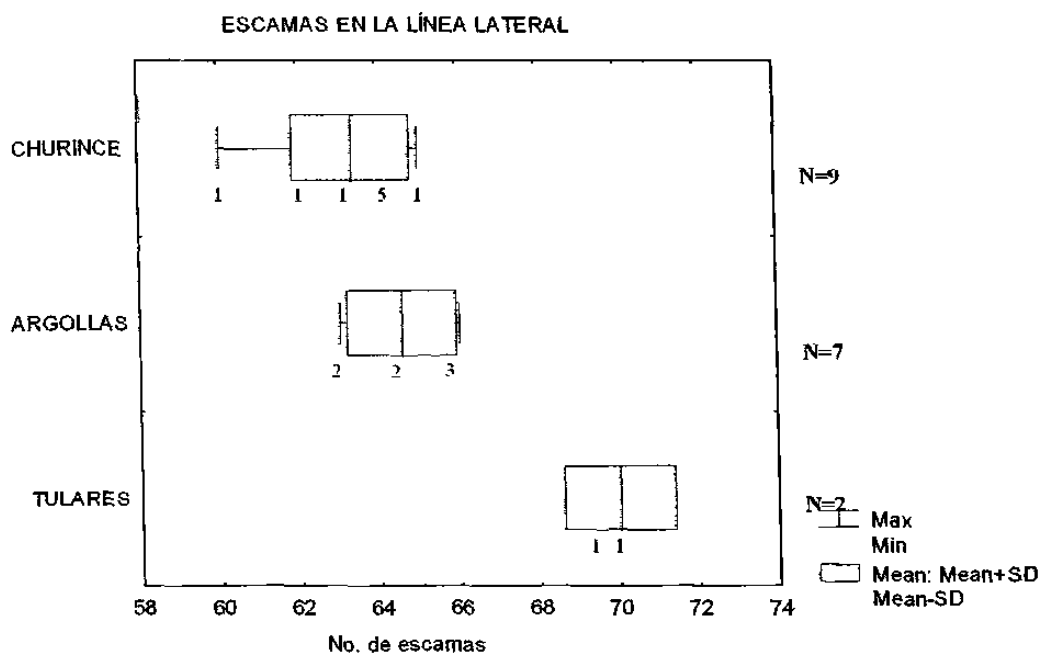


FIG. 173 Análisis gráfico del número de las escamas en la línea lateral de la especie *Micropterus cf. salmoides* en milésimas de la longitud patrón en tres pozas. la línea base indica el rango. la línea vertical la media y el área clara la desviación estándar. el número bajo el rango es la distribución de frecuencias.

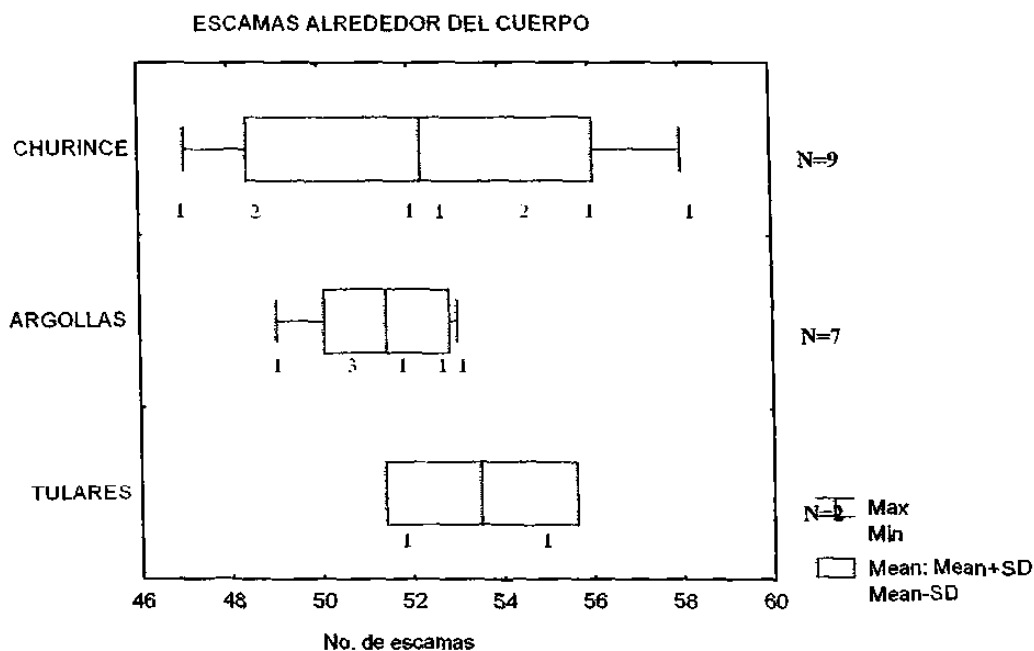


FIG. 174 Análisis gráfico del número de las escamas alrededor del cuerpo de la especie *Micropterus cf. salmoides* en tres pozas. la línea base indica el rango. la línea vertical la media y el área clara la desviación estándar. el número bajo el rango es la distribución de frecuencias.

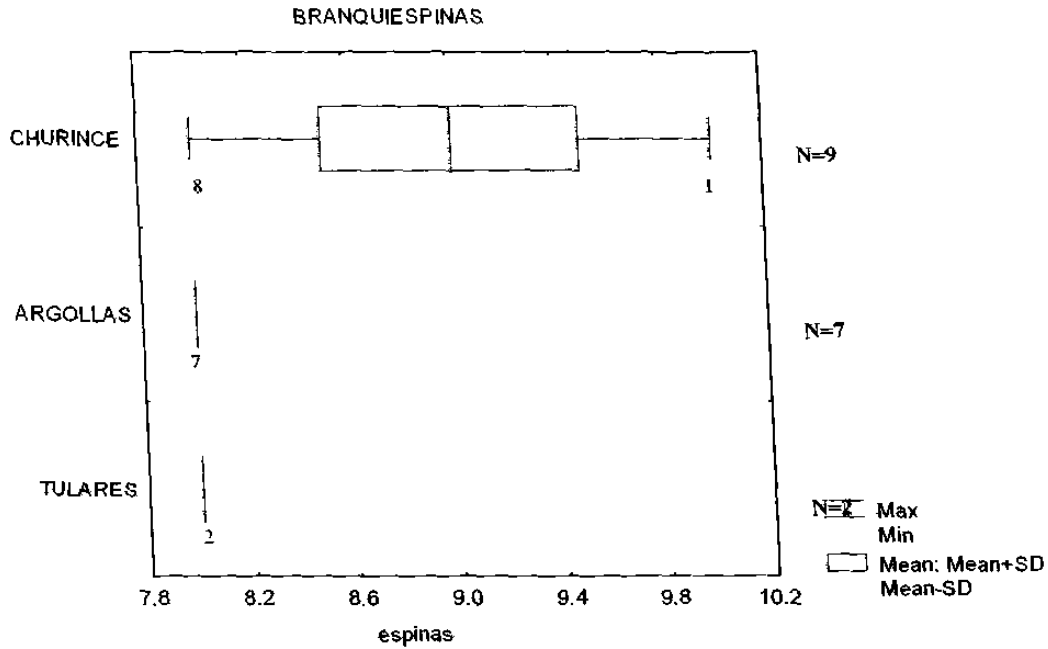


FIG. 175. Análisis gráfico del número de las branquiespinas del primer arco branquial de *Micropterus cf. megalotis* en tres pozas, la línea base indica el rango, la línea vertical la media y el área clara la desviación estándar, el número bajo el rango es la distribución de frecuencias.

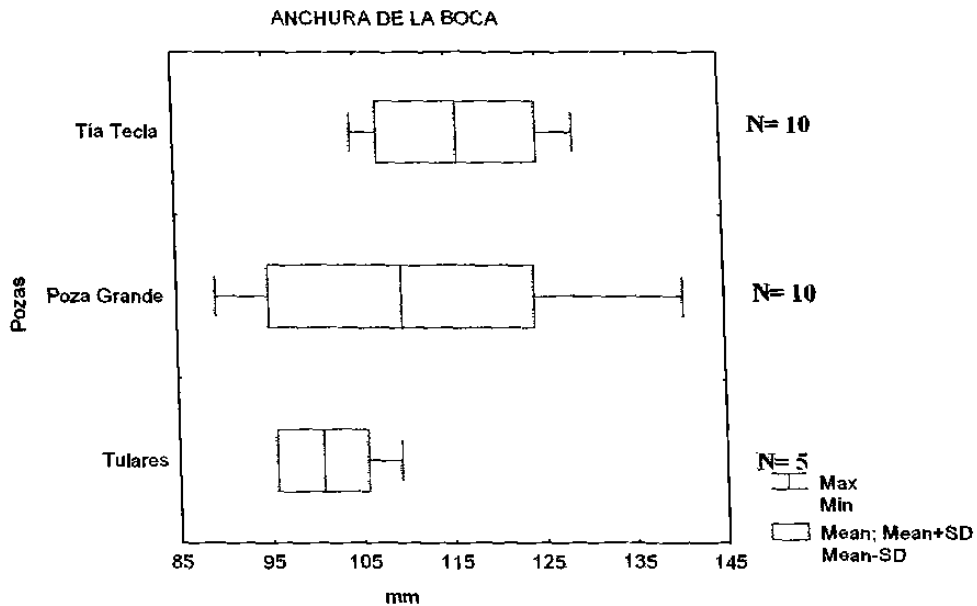


FIG. 176. Comparación de la anchura de la boca (AB) de la especie *Cichlasoma cyanoguttatum* en milésimas de la longitud patrón en tres pozas, la línea base indica el rango, la línea vertical la media y el área clara la desviación estándar.

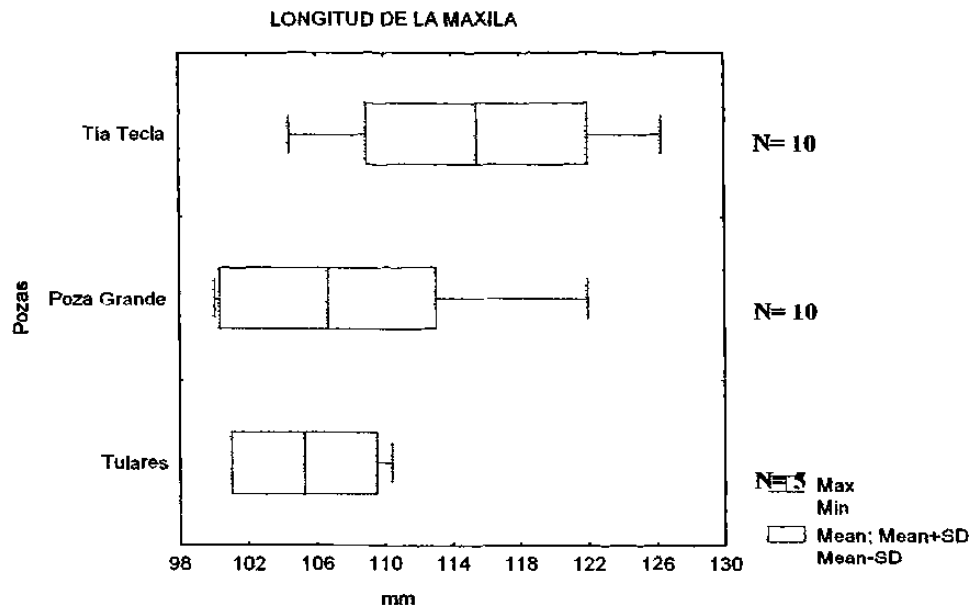


FIG. 177. Comparación de la longitud de la maxila (LM) de de la especie *Cichlasoma cyanoguttatum* en milésimas de la longitud patrón en tres pozas. la línea base indica el rango, la línea vertical la media y el área clara la desviación estándar.

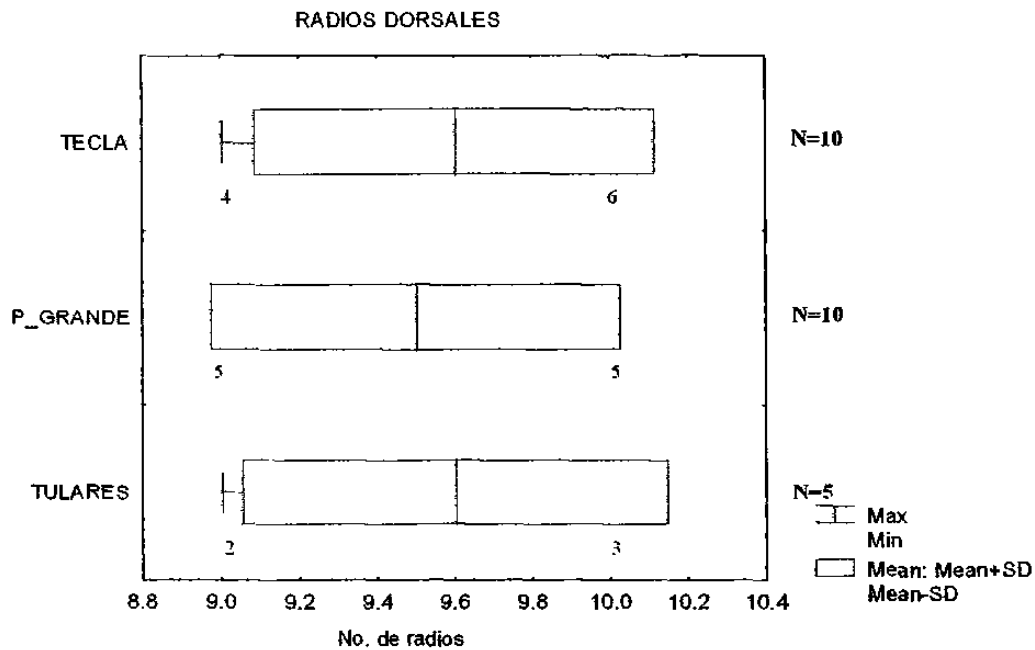


FIG. 178. Análisis gráfico del número de los radios de la aleta dorsal de la especie *Cichlasoma cyanoguttatum* en tres pozas, la línea base indica el rango, la línea vertical la media y el área clara la desviación estándar, el número bajo el rango es la distribución de frecuencias.

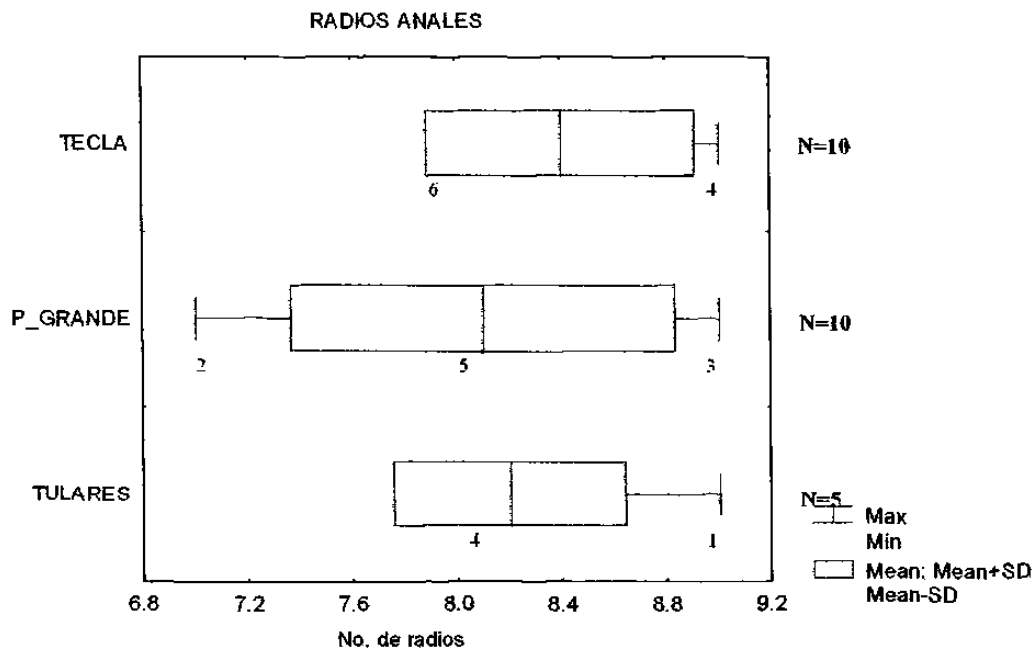


FIG. 179. Análisis gráfico del número de los radios anales de la especie *Cichlasoma cyanoguttatum* en tres pozas, la línea base indica el rango, la línea vertical la media y el área clara la desviación estándar, el número bajo el rango es la distribución de frecuencias.

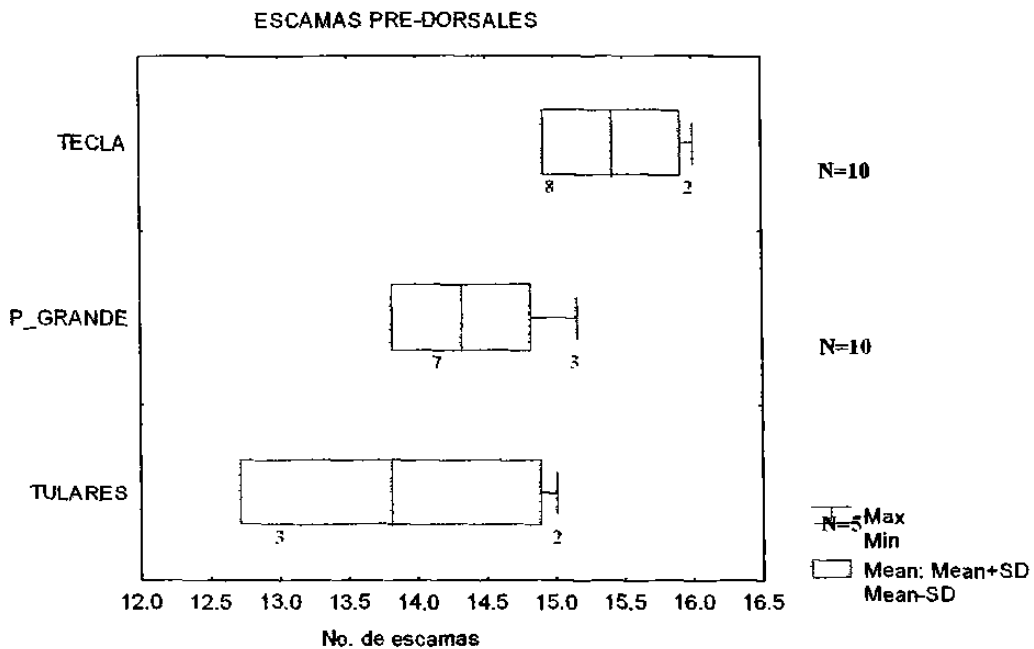


FIG. 180. Análisis gráfico del número de las escamas predorsales de la especie *Cichlasoma cyanoguttatum* en tres pozas, la línea base indica el rango, la línea vertical la media y el área clara la desviación estándar, el número bajo el rango es la distribución de frecuencias.

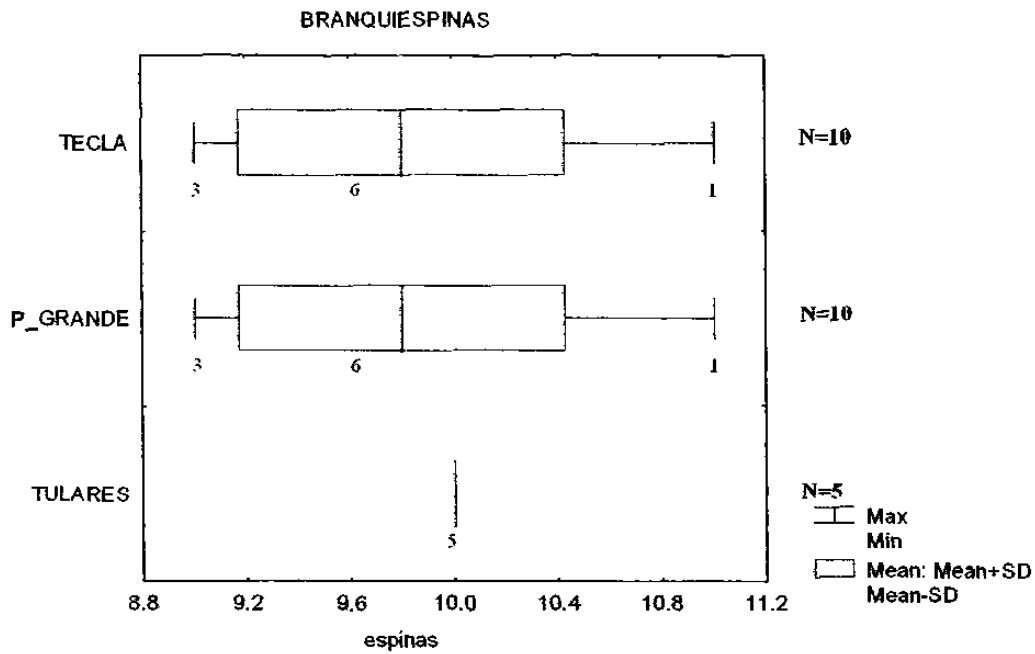


FIG. 181. Análisis gráfico del número de las branquiespinas del primer arco branquial de la especie *Cichlasoma cyanoguttatum* en tres pozas. la línea base indica el rango, la línea vertical la media y el área clara la desviación estándar, el número bajo el rango es la distribución de frecuencias.

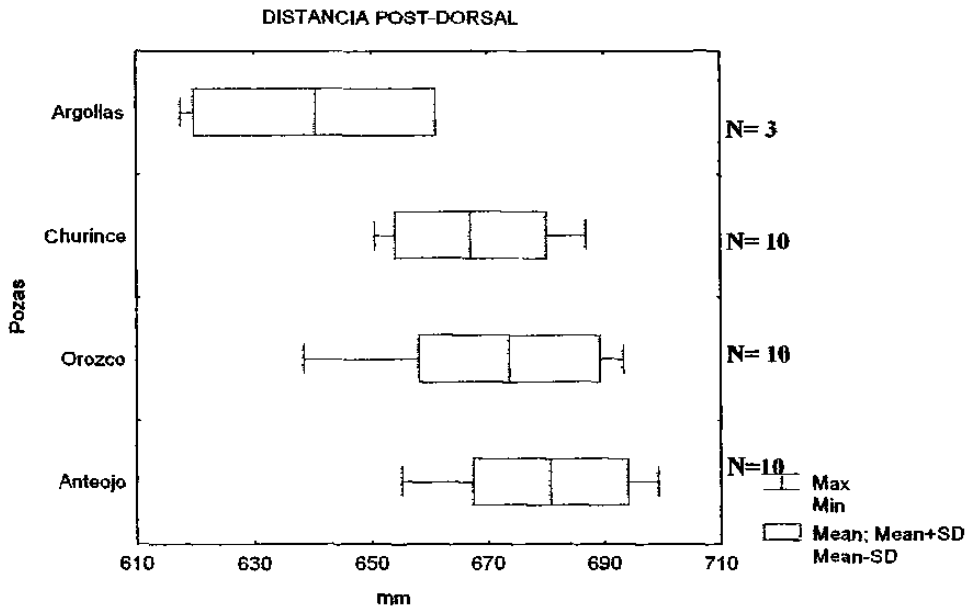


FIG. 182. Comparación de la distancia post-dorsal (DP2) *Cichlasoma minckleyi* en milésimas de la longitud patrón en cuatro pozas, donde la línea base indica el rango, la línea vertical la media y el área clara la desviación estándar.

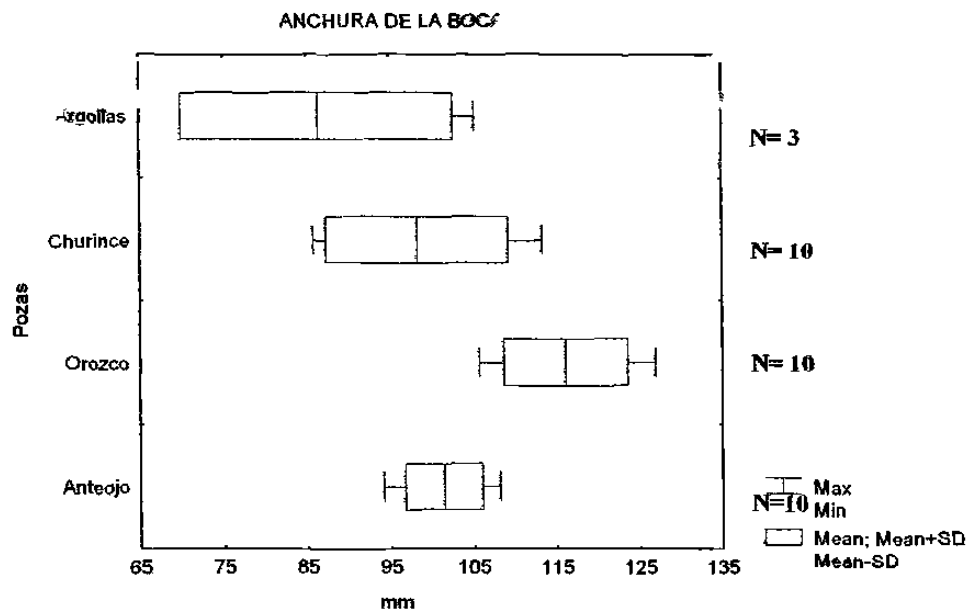


FIG. 183. Comparación de la anchura de la boca (AB) de la especie *Cichlasoma minckleyi* en milésimas de la longitud patrón en cuatro pozas. la línea base indica el rango, la línea vertical la media y el área clara la desviación estándar.

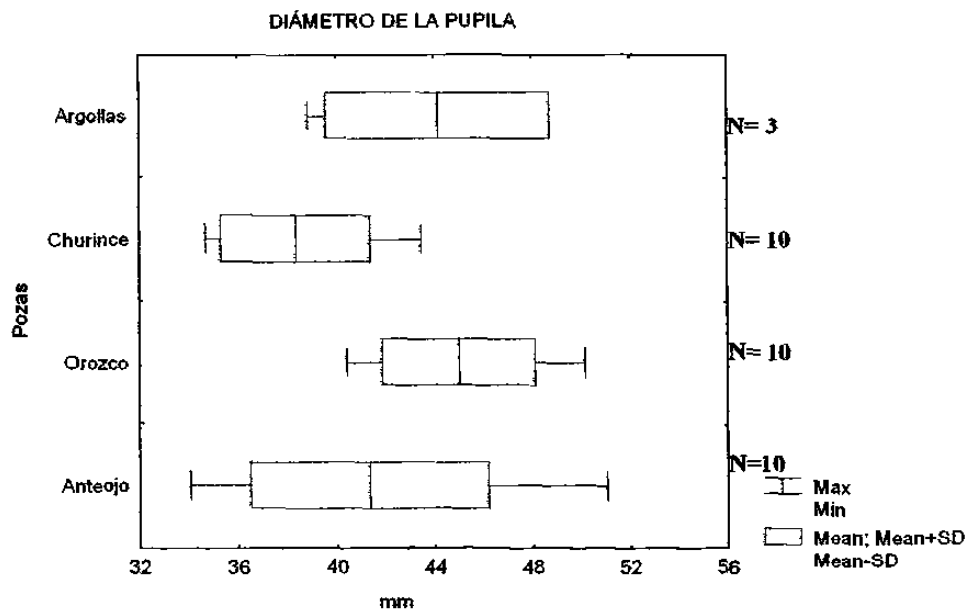


FIG. 184. Comparación del diámetro de la pupila (DP) de la especie *Cichlasoma minckleyi* en milésimas de la longitud patrón en cuatro pozas. la línea base indica el rango, la línea vertical la media y el área clara la desviación estándar.

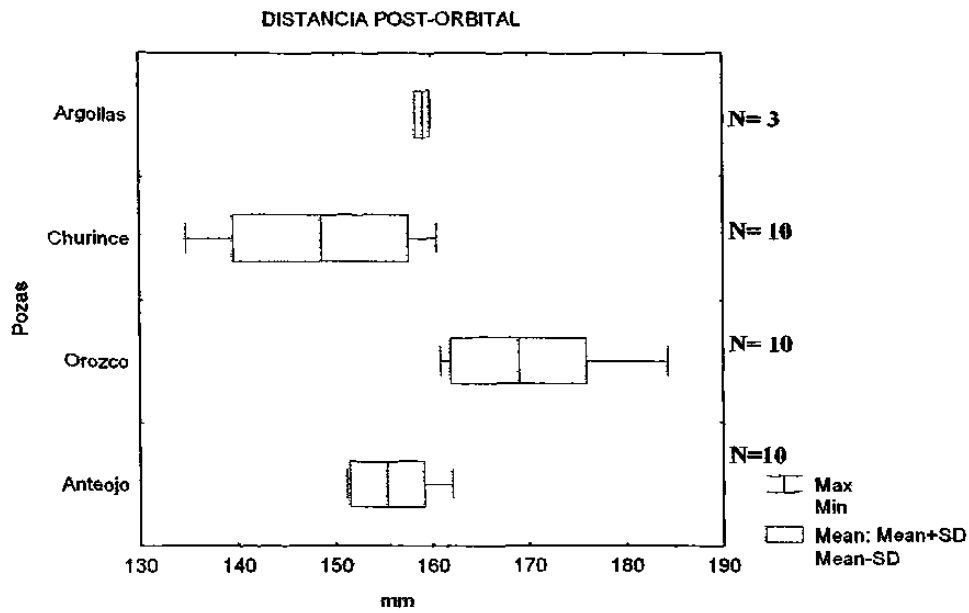


FIG. 185. Comparación de la distancia post-orbital (PO2) de la especie *Cichlasoma minckleyi* en milésimas de la longitud patrón en cuatro pozas. la línea base indica el rango, la línea vertical la media y el área clara la desviación estándar.

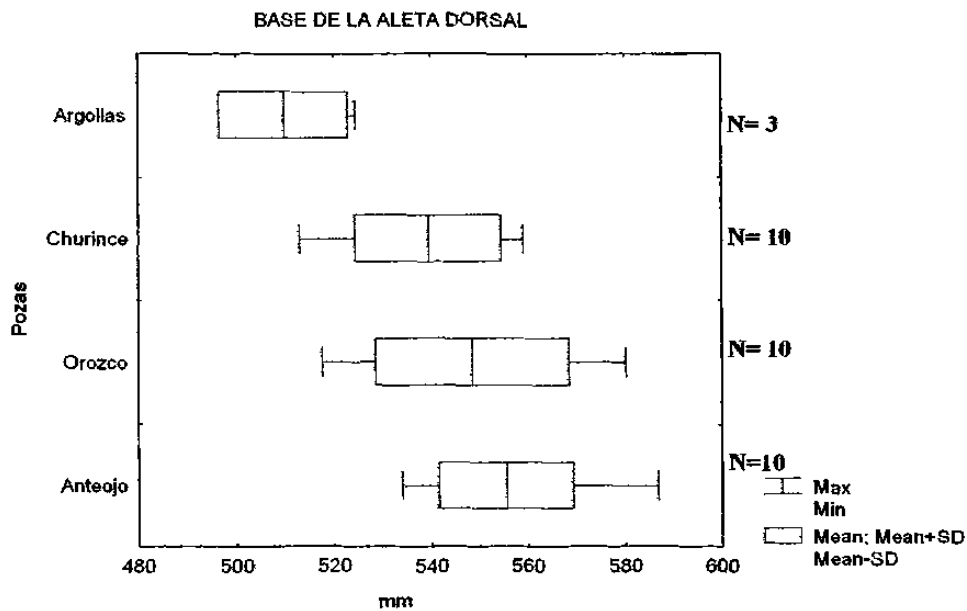


FIG. 186. Comparación de la base de la aleta dorsal (AD) de la especie *Cichlasoma minckleyi* en milésimas de la longitud patrón en cuatro pozas. la línea base indica el rango, la línea vertical la media y el área clara la desviación estándar.

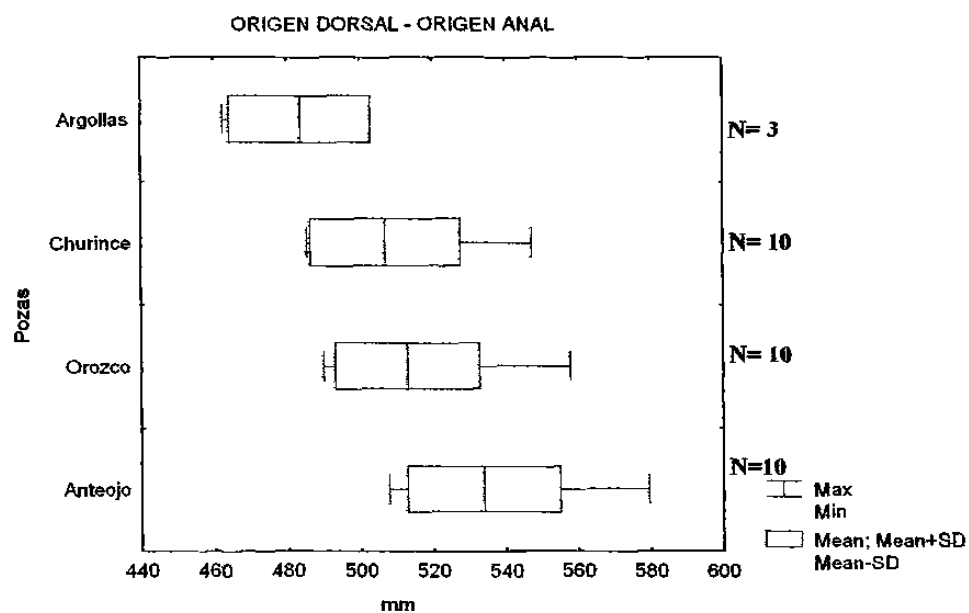


FIG. 187. Comparación del origen dorsal – origen anal (DA) de la especie *Cichlasoma minckleyi* en milésimas de la longitud patrón en cuatro pozas. la línea base indica el rango. la línea vertical la media y el área clara la desviación estándar.

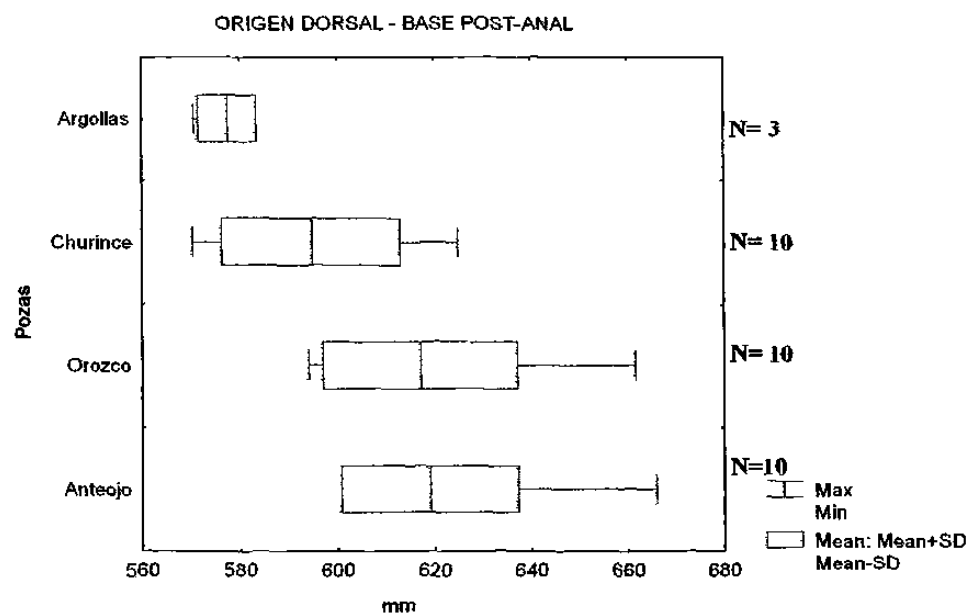


FIG. 188. Comparación del origen dorsal –base post-anal (DPA) de la especie *Cichlasoma minckleyi* en milésimas de la longitud patrón en cuatro pozas. la línea base indica el rango. la línea vertical la media y el área clara la desviación estándar.

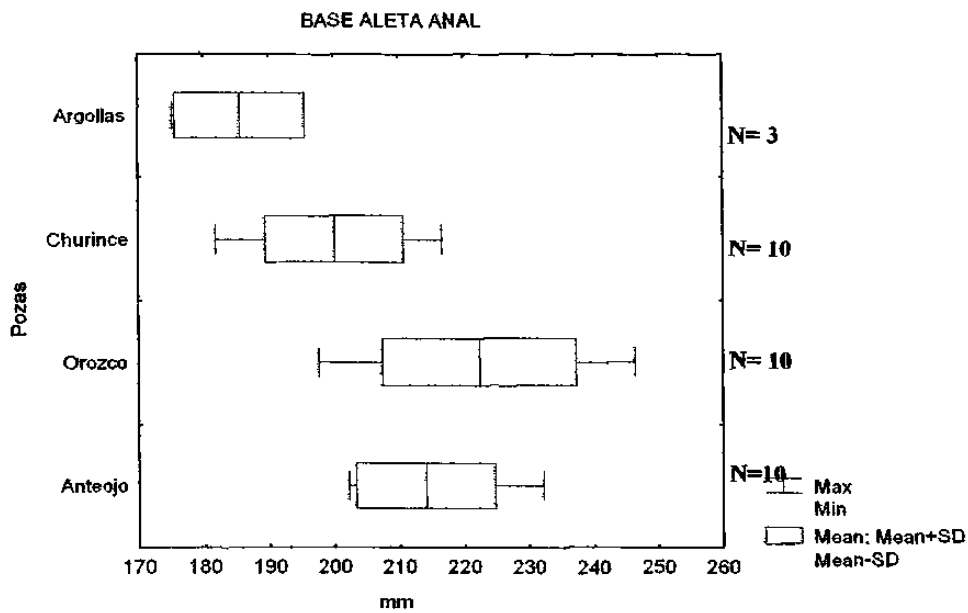


FIG. 189. Comparación de la base aleta anal (AA) de la especie *Cichlasoma minckleyi* en milésimas de la longitud patrón en cuatro pozas. la línea base indica el rango, la línea vertical la media y el área clara la desviación estándar.

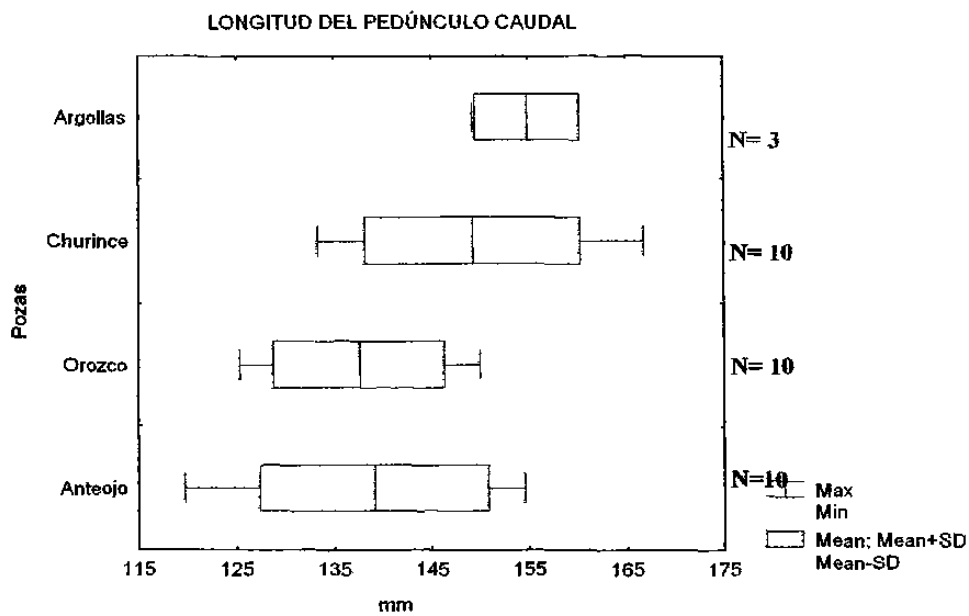


FIG. 190. Comparación de longitud del pedúnculo caudal (LPC) de la especie *Cichlasoma minckleyi* en milésimas de la longitud patrón en cuatro pozas, la línea base indica el rango, la línea vertical la media y el área clara la desviación estándar.

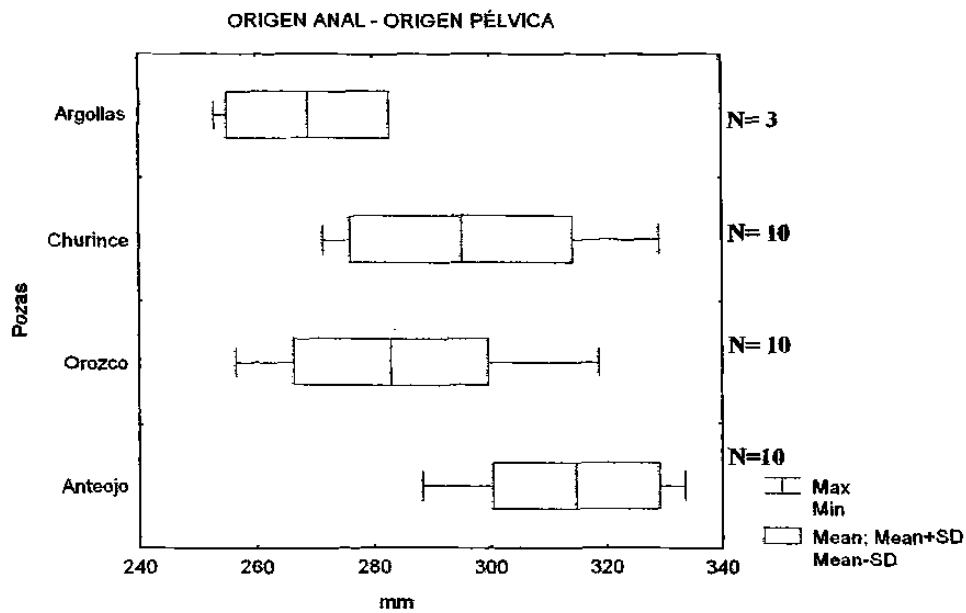


FIG. 191 Comparación del origen anal – origen pélvica (AP2) de la especie *Cichlasoma minckleyi* en milésimas de la longitud patrón en cuatro pozas. la línea base indica el rango, la línea vertical la media y el área clara la desviación estándar.

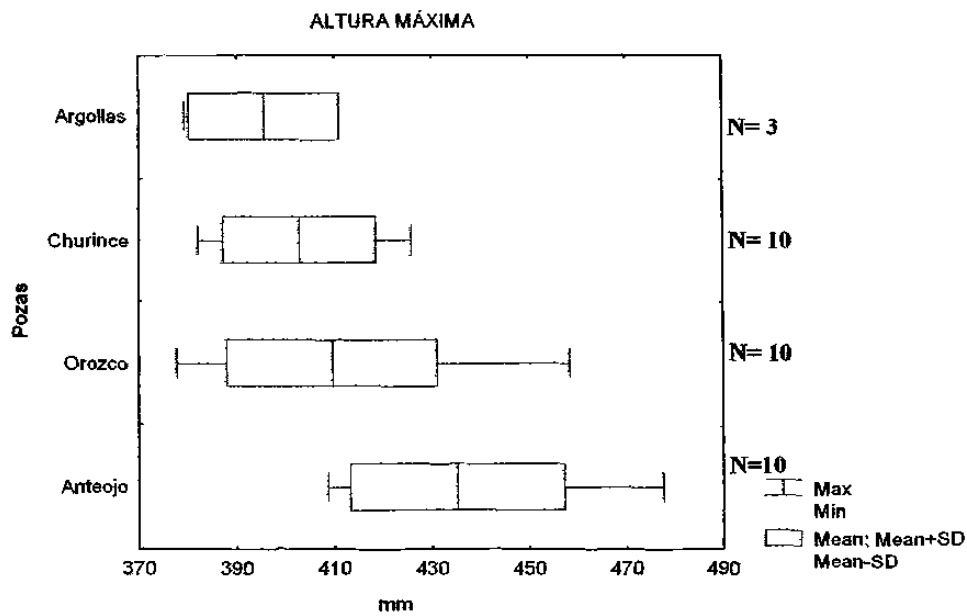


FIG. 192. Comparación de altura máxima (AMA) de la especie *Cichlasoma minckleyi* en milésimas de la longitud patrón en cuatro pozas. la línea base indica el rango, la línea vertical la media y el área clara la desviación estándar.

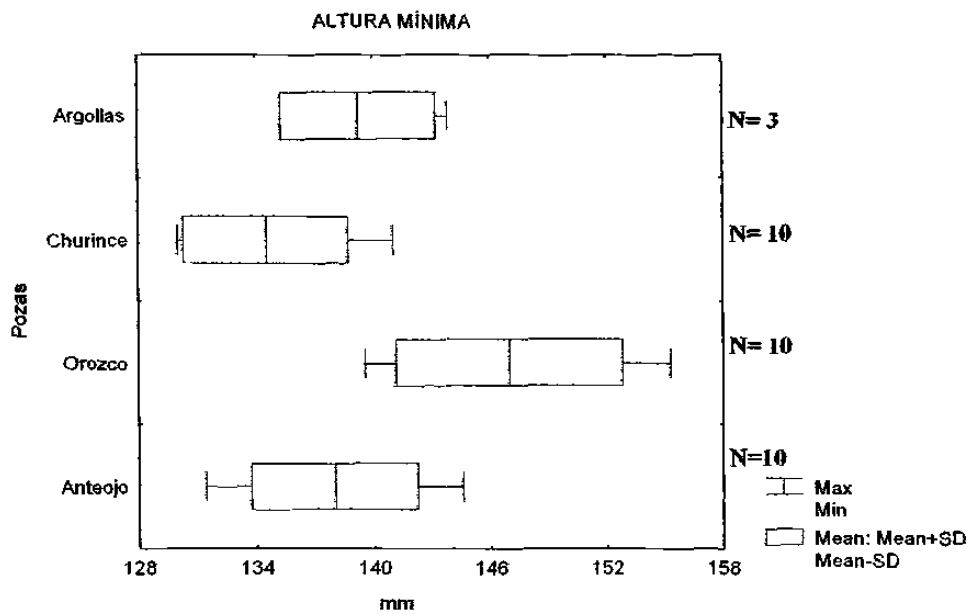


FIG. 193. Comparación de altura mínima (AMI) de la especie *Cichlasoma minckleyi* en milésimas de la longitud patrón en cuatro pozas. la línea base indica el rango. la línea vertical la media y el área clara la desviación estándar.

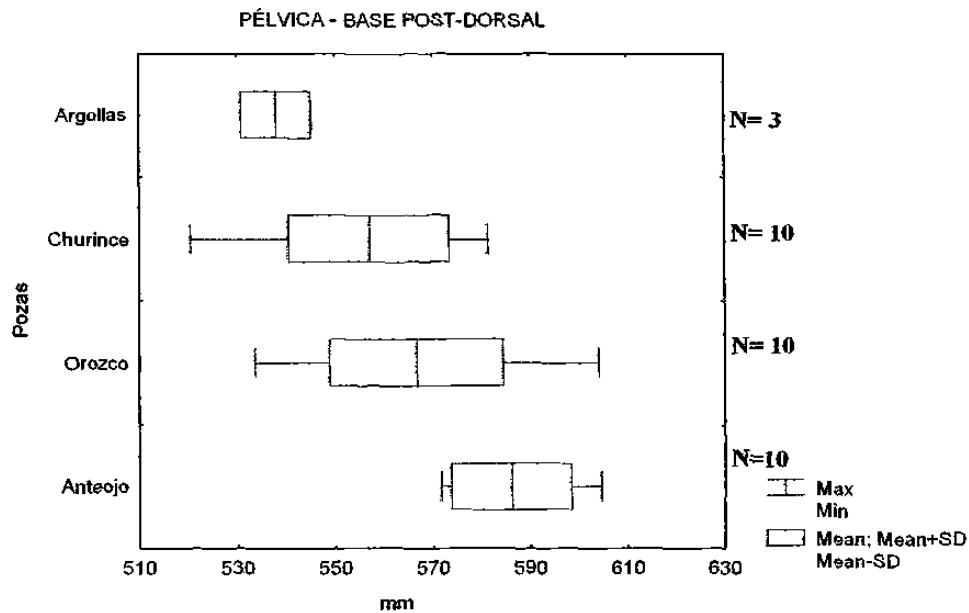


FIG. 194. Comparación de la pélvica -- base post-dorsal (PPD) de la especie *Cichlasoma minckleyi* en milésimas de la longitud patrón en cuatro pozas. la línea base indica el rango. la línea vertical la media y el área clara la desviación estándar.

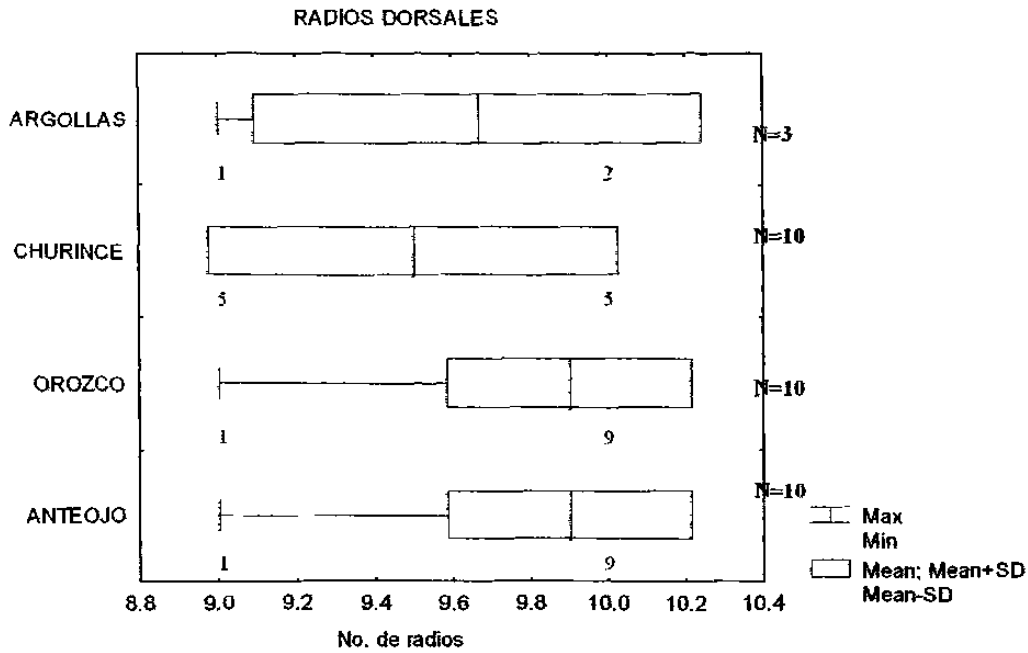


FIG. 195 Análisis gráfico del número de los radios de la aleta dorsal de la especie *Cichlasoma minckleyi* en cuatro pozas. la línea base indica el rango. la línea vertical la media y el área clara la desviación estándar. el número bajo el rango es la distribución de frecuencias.

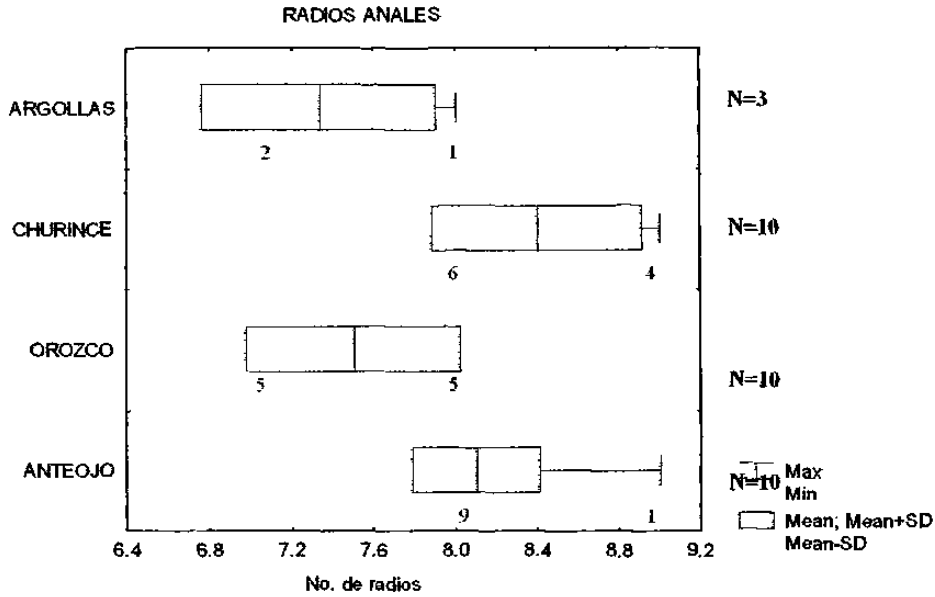


FIG. 196. Análisis gráfico del número de los radios anales de la especie *Cichlasoma minckleyi* en milésimas de la longitud patrón en cuatro pozas. la línea base indica el rango. la línea vertical la media y el área clara la desviación estándar. el número bajo el rango es la distribución de frecuencias.

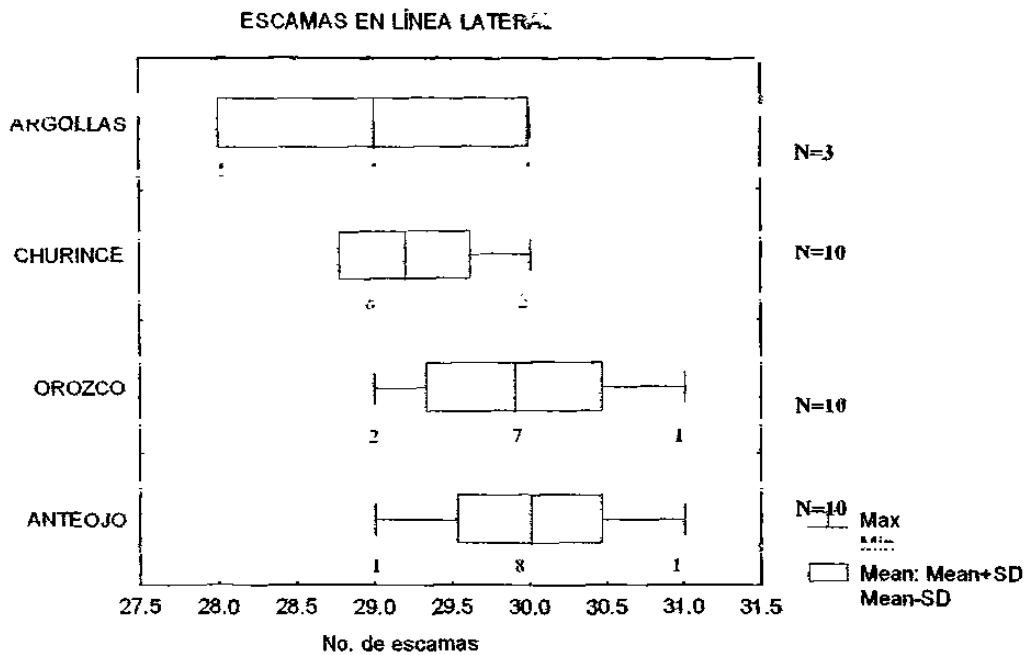


FIG. 197. Análisis gráfico del número de las escamas en la línea lateral de la especie *Cichlasoma minckleyi* en cuatro pozas. la línea base indica el rango, la línea vertical la media y el área clara la desviación estándar. el número bajo el rango es la distribución de frecuencias.

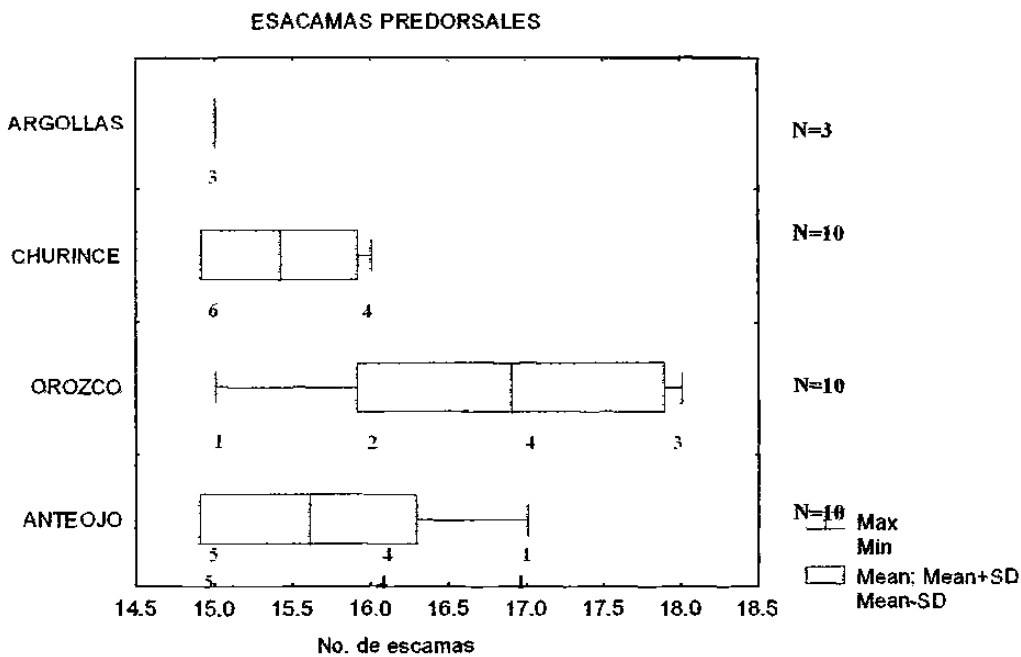


FIG. 198. Análisis gráfico del número de los radios predorsales de de la especie *Cichlasoma minckleyi* en cuatro pozas. la línea base indica el rango, la línea vertical la media y el área clara la desviación estándar. el número bajo el rango es la distribución de frecuencias.

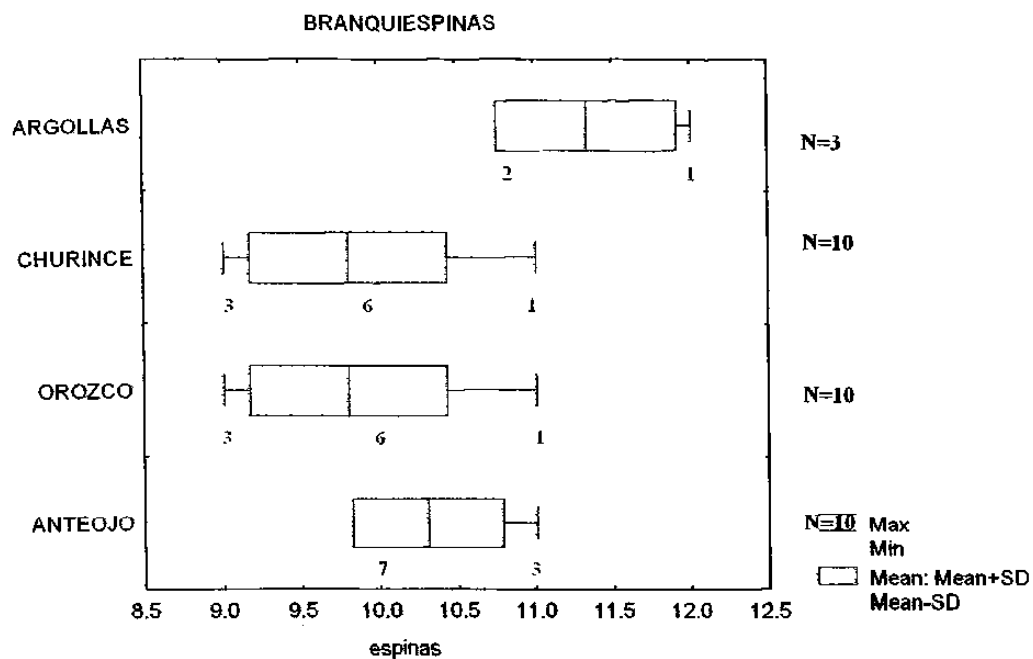


FIG. 199 Análisis gráfico del número de las branquiespinas del primer arco branquial de la especie *Cichlasoma minckleyi* en cuatro pozas. la línea base indica el rango, la línea vertical la media y el área clara la desviación estándar, el número bajo el rango es la distribución de frecuencias.

